本資料のうち、枠囲みの内容は営業秘密又は防護上の観点から公開できません。

TK-1-1456 改3

平成30年7月26日 日本原子力発電㈱

屋外重要土木構造物の耐震照査結果について

(波及的影響を及ぼすおそれのある下位クラスの土木構造物を含む)

目 次

1.	評	価方針3
2.	評	価結果6
2	. 1	取水構造物6
2	. 2	屋外二重管23
2	. 3	常設代替高圧電源装置置場及び西側淡水貯水設備32
2	. 4	常設代替高圧電源装置用カルバート(トンネル部)43
2	. 5	常設代替高圧電源装置用カルバート(立坑部)(追而)48
2	. 6	常設代替高圧電源装置用カルバート(カルバート部)49
2	. 7	代替淡水貯槽(追而)67
2	. 8	常設低圧代替注水系ポンプ室(追而)67
2	. 9	<mark>常設低圧代替注水系配管カルバート</mark> 68
2	. 10	<mark>格納容器圧力逃がし装置用配管カルバート</mark> 73
2	. 11	緊急用海水ポンプピット(追而)80
2	. 12	緊急用海水取水管(追而)80
2	. 13	SA用海水ピット(追而)80
2	. 14	海水引込み管(追而)81
2	. 15	SA用海水ピット取水塔(追而)81
2	. 16	緊急時対策所用発電機燃料油貯蔵タンク基礎(追而)81
2	. 17	<u> 可搬型設備用軽油タンク基礎</u> 82
2	. 18	<mark>- 十留鋼管矢板</mark>

1. 評価方針

耐震評価においては、全ての基準地震動 S_s に対して実施する①の検討ケース(基本ケース)において、せん断力照査及び曲げ軸力照査をはじめとした全ての評価項目について、各照査値が最も厳しい(許容限界に対する余裕が最も小さい)地震動を用い、②~⑥より追加検討ケースを実施する。最も厳しい地震動の選定は、照査値1.0に対して2倍の余裕となる照査値0.5以上を相対的に厳しい地震動の選定の目安として実施する。

②~⑥より追加検討ケースを実施する地震動の選定フローを図 1-1 に、屋外重要土木構造物の耐震評価及び波及的影響を及ぼすおそれのある下位クラスの土木構造物の耐震評価における検討ケースを図 1-2 及び表 1-1 に示す。

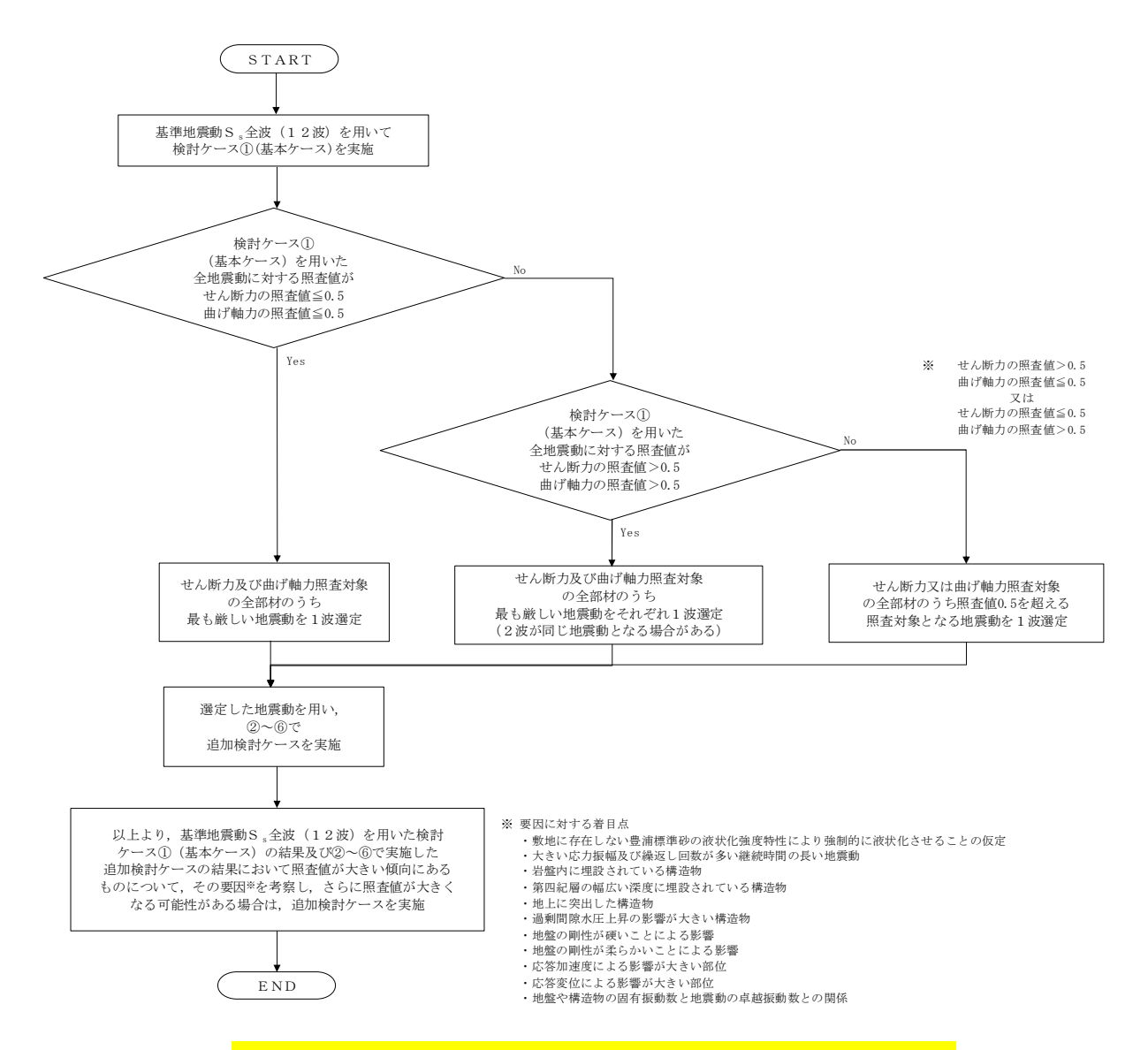


図 1-1 ②~⑥で追加検討ケースを実施する地震動の選定フロー

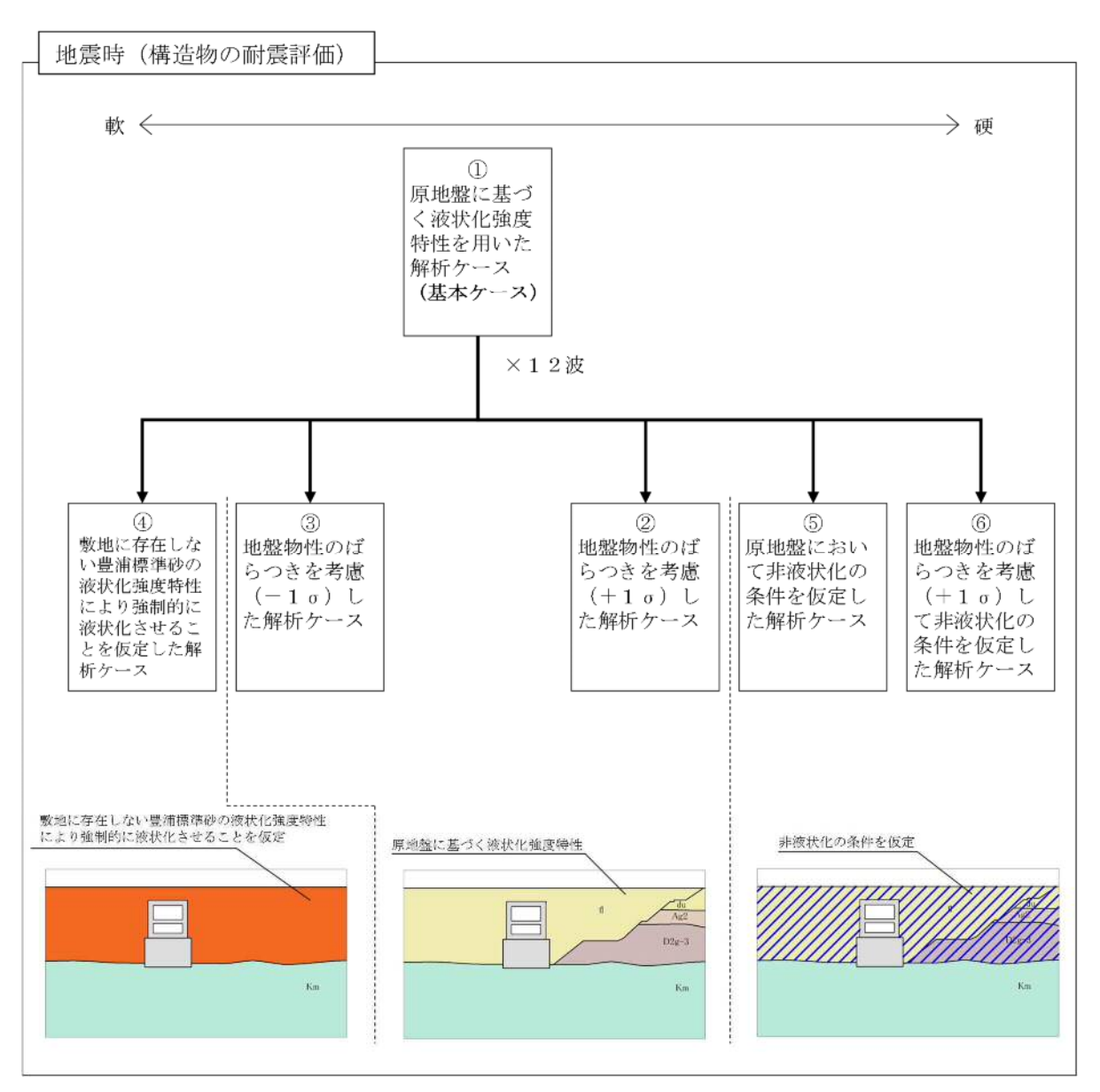


図 1-2 屋外重要土木構造物の耐震評価における検討ケース

表 1-1 耐震評価における検討ケース

検討ケース	① 原地盤に基づく液状化強度特性を用いた解析ケース (基本ケース)	② 地盤物性のば らつきを考慮 (+1 σ)し た解析ケース	③ 地盤物性のば らつきを考慮 (-1 o) し た解析ケース	④ 地盤を強制的 に液状化させ ることを仮定 した解析ケー ス	⑤ 原地盤におい て非液状化の 条件を仮定し た解析ケース	⑥ 地盤物性のば らつきを考慮 (+1σ)し て非液状化の 条件を仮定し た解析ケース
液状化強度 特性の設定	原 地盤に基づく液状化強度特性(標準偏差を考慮)	原地盤に基づく液状化強度特性(標準偏差を考慮)	原地盤に基づく液状化強度特性(標準偏差を考慮)	敷地に存在 しない豊浦 標準砂に基 づく液状化 強度特性	液状化パラ メータを非 適用	液状化パラメータを非 適用

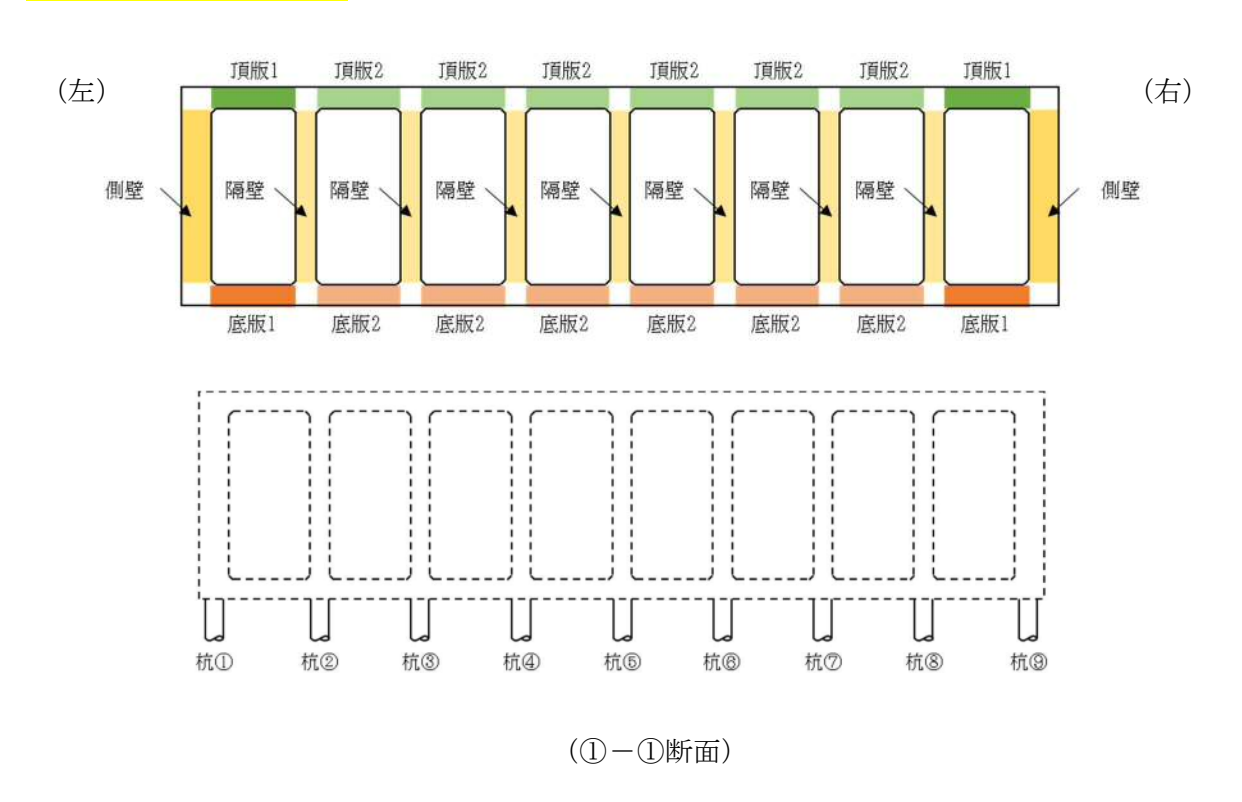
表 1-2 基準地震動 S。の最大加速度

	+ % U 41	最大	加速度(cm	$\rm n/s^2)$
	基準地震動	N S 成分	EW 成分	UD 成分
S _s -D1	応答スペクトル手法による基準地震動	8'	70	560
S _S -11	F 1 断層,北方陸域の断層,塩ノ平地震断層による地震 (短周期レベルの不確かさ,破壊開始点 1)	717	619	579
$S_{s}-12$	F 1 断層,北方陸域の断層,塩ノ平地震断層による地震 (短周期レベルの不確かさ,破壊開始点2)	871	626	602
$S_{s}-13$	F 1 断層,北方陸域の断層,塩ノ平地震断層による地震 (短周期レベルの不確かさ,破壊開始点3)	903	617	599
S _S -14	F 1 断層,北方陸域の断層,塩ノ平地震断層による地震 (断層傾斜角の不確かさ,破壊開始点2)	586	482	451
$S_{s}-21$	2011 年東北地方太平洋沖型地震 (短周期レベルの不確かさ)	901	887	620
$S_{s}-22$	2011 年東北地方太平洋沖型地震 (SMGA位置と短周期レベルの不確かさの重 畳)	1009	874	736
S _S -31	2004 年北海道留萌支庁南部地震の検討結果に保 守性を考慮した地震動	6	10	280

2. 評価結果

2.1 取水構造物

2.1.1 照査位置及び仕様



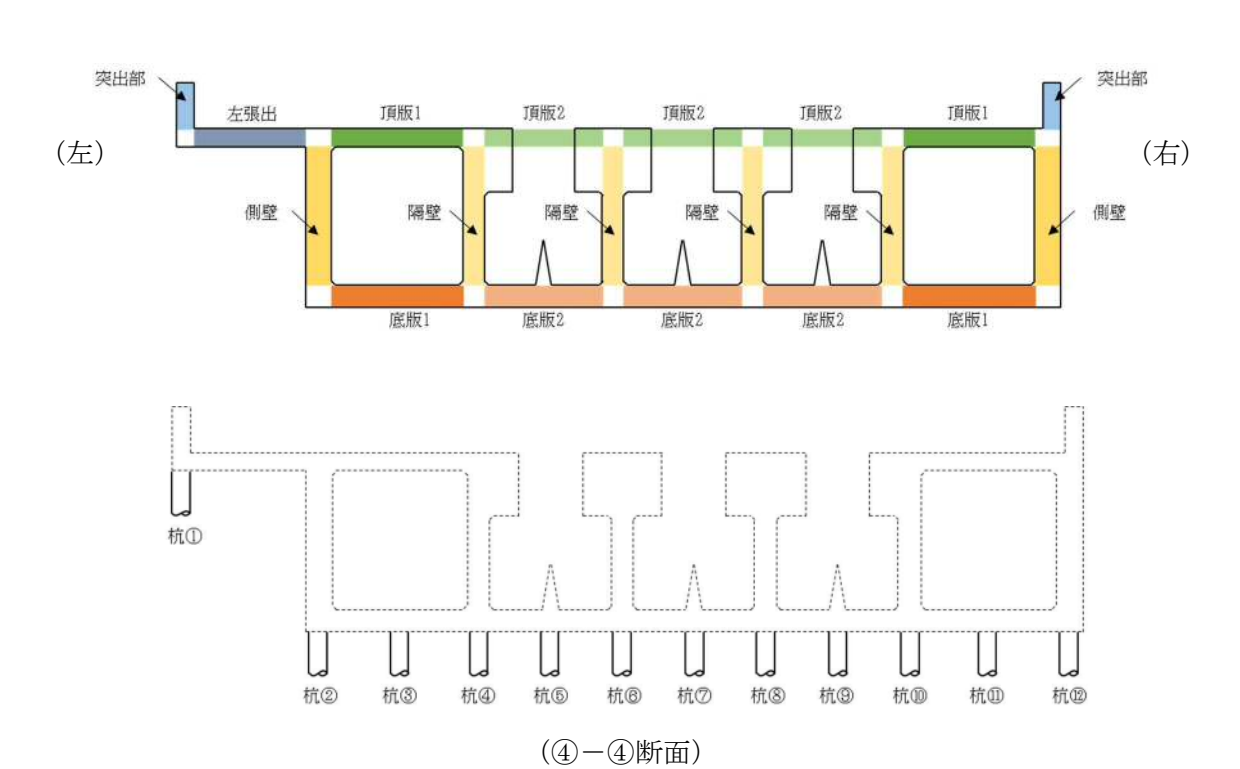


図 2.1-1 取水構造物の照査位置図

表 2.1-1 構造仕様 (①-①断面(鉄筋コンクリート))

	仕	様	材料		
部位	部材幅 (m)	部材高 (m)	コンクリート f 'ck (N/mm²)	鉄筋	
左側壁	1. 000	1. 500	20.6	SD30	
隔壁	1.000	1.000	20.6	SD30	
右側壁	1. 000	1. 500	20.6	SD30	
左頂板	1. 000	1. 000	20.6	SD30	
中頂板	1.000	1.000	20.6	SD30	
右頂版	1.000	1.000	20.6	SD30	
左底板	1. 000	1. 000	20.6	SD30	
中底板	1.000	1. 000	20.6	SD30	
右底板	1. 000	1.000	20.6	SD30	

表 2.1-2 構造仕様 (①-①断面(鋼管杭))

部位 ・	仕	材料	
	杭径 (m)	板厚 (m)	1/3 1/4
杭①~⑨	1. 016	0.016	STK41

表 2.1-3 構造仕様 (④-④断面(鉄筋コンクリート))

	仕	様	材料		
部位	部材幅 (m)	部材高 (m)	コンクリート f'ck (N/mm²)	鉄筋	
左突出部	1.000	1.000	20.6	SD30	
左側壁	1.000	1. 500	20.6	SD30	
隔壁	1.000	1. 200	20.6	SD30	
右側壁	1.000	1. 500	20.6	SD30	
右突出部	1.000	1. 000	20.6	SD30	
左張出版	1.000	1.000	20.6	SD30	
左頂版	1.000	1. 000	20.6	SD30	
中頂版	1.000	3. 190	20.6	SD30	
右頂版	1.000	1. 000	20.6	SD30	
左底板	1.000	1. 200	20.6	SD30	
中底板	1.000	1. 200	20.6	SD30	
右底板	1.000	1. 200	20.6	SD30	

表 2.1-4 構造仕様 (④-④断面(鋼管杭))

部位	仕	様	材料
티기가	杭径 (m)	板厚 (m)	12) 127
杭①~⑫	1.016	0.016	STK41

2.1.2 評価結果

(1) ①-①断面(鉄筋コンクリート)

①-①断面(鉄筋コンクリート)の地震動選定フローを図 2.1-2 に示す。

検討ケース①(基本ケース)において、曲げ軸力照査値が 0.50以下、せん断力照査値が 0.50 より大きいことから、せん断力照査対象の全部材のうち最も厳しい照査値となった地震動を選 定する。

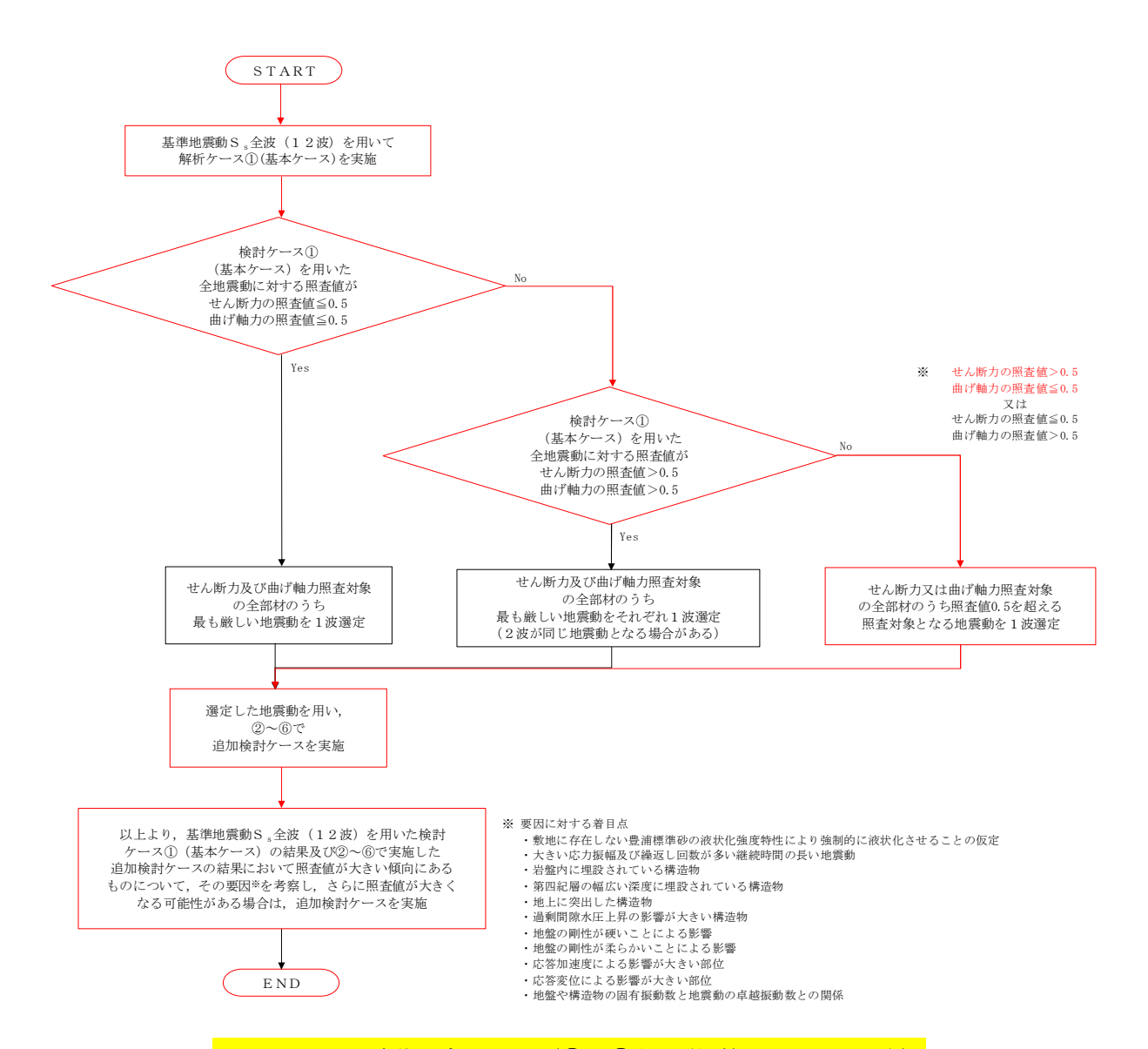


図 2.1-2 地震動選定フロー (①-①断面(鉄筋コンクリート))

(曲げ軸力照査, ①-①断面)

(側壁)

(頂版1)

検診	検討ケース			曲げ軸	力照査		
地震動			2	3	4	5	6
	++	0.046					
e -D1	+-	0.045					
S _s - D 1	-+	0.056	0.052	0.060	0.077	0.046	0.040
		0.055					
$S_{s} - 11$	S _s - 1 1						
S s - 1 2	S _s - 12						
S s - 1 3		0.052					
S s - 1 4		0.035					
S s - 2 1		0.037					
S s - 2 2		0.042					
S s - 3 1	++	0.032					
S s - 3 1	-+	0.038					

検討ケース地震動				曲げ軸	力照査		
		1	2	3	4	5	6
	++	0.037					
e -D1	+-	0.039					
S _s -D 1	-+	0.051	0.047	0.052	0.066	0.044	0.039
		0.055					
S _s - 1 1		0.019					
$S_{s} - 12$		0.036					
$S_{s} - 13$		0.033					
S _s - 1 4		0.024					
S _s - 2 1		0.030					
$S_s - 22$		0.035					
S _s - 3 1	++	0.033					
S _s - 3 1	-+	0.025					

(頂版2)

(底版1)

検討ケース			曲げ軸力照査							
地震動		1	2	3	4	5	6			
	++	0.009								
c Di	+-	0.010								
S _s - D 1	-+	0.008	0.008	0.010	0.033	0.009	0.009			
		0.011								
S s - 1 1		0.006								
S s - 1 2		0.007								
S s - 1 3		0.007								
S s - 1 4		0.006								
S s - 2 1	S s - 2 1									
S s - 2 2		0.007								
S s - 3 1	++	0.012								
$S_{s} - 31$	-+	0.007								

検討	検討ケース		曲げ軸力照査								
地震動		1	2	3	4	5	6				
	++	0.079									
6 D1	+-	0.082									
S _s - D 1	-+	0.089	0.080	0.097	0.098	0.074	0.072				
		0.086									
$S_{s} - 11$		0.056									
$S_{s} - 12$		0.076									
$S_{s} - 13$		0.072									
S _s - 1 4		0.057									
$S_{s} - 21$		0.063									
$S_{s} - 22$		0.064									
$S_{s} - 31$	++	0.062									
$S_{s} - 31$	-+	0.071									

(底版2)

(隔壁)

0.009	2	3	4)		
0.009			(4)	5	6
0.008					
0.009	0.009	0.009	0.019	0.007	0.007
0.008					
0.006					
0.007					
0.006					
0.005					
0.007					
0.006					
0.007					
0.006					
	- 0.008 0.006 0.007 0.006 0.005 0.007 0.006 + 0.007				

	検討ケース		曲げ軸力照査								
地震動		1	2	3	4	(5)	6				
	++	0.059									
6 D1	+-	0.057									
S _s -D 1	-+	0.051	0.055	0.050	0.068	0.055	0.057				
		0.053									
S _s -11		0.031									
$S_{s} - 12$		0.037									
$S_{s} - 13$		0.038									
$S_{s} - 14$		0.029									
S _s - 2 1		0.041									
S _s - 2 2		0.035									
$S_{s} - 31$	++	0.056									
$S_{s} - 31$	-+	0.046									

※ 検討ケース

- ①: 原地盤に基づく液状化強度特性を用いた解析ケース(基本ケース) ②: 地盤物性のばらつきを考慮(+ 1σ)した解析ケース ③: 地盤物性のばらつきを考慮(-1σ)した解析ケース ⑥: 原地盤において非液状化の条件を仮定した解析ケース ⑥: 地盤物性のばらつきを考慮($+1\sigma$)して非液状化の条件

- ⑥: 地盤物性のばらつきを考慮($+1\sigma$)して非液状化の条件を仮定した解析ケース

曲げ軸力照査結果は、検討ケース①(基本ケース)の全ての照査値が0.50以下である(最大照査 値は, 底版1, S_s-D1 (-+) で0.089)。

(せん断力照査, ①-①断面)

(側壁)

(頂版1)

検診	ナケース	せん断力照査								
地震動		1	2	3	4	5	6			
	++	0.330	0.324	0.335	0.455	0.328	0.324			
e -D1	+-	0.326								
S _s - D 1	-+	0.362								
		0.353								
S s - 1 1		0.275								
S s - 1 2		0.359								
S s - 1 3		0.329								
S s - 1 4		0. 292								
S s - 2 1		0.302								
S s - 2 2		0.305								
S s - 3 1	++	0. 295								
S s - 3 1	-+	0.313								

検討	ナケース			せん断	力照査		
地震動		1	2	3	4	5	6
	++	0.182	0.188	0.200	0. 233	0.177	0.175
e -D1	+-	0.184					
S _s -D 1	-+	0.230					
		0.230					
$S_{s} - 11$		0.537					
$S_{s} - 12$		0.174					
$S_{s} - 13$		0.178					
$S_{s} - 14$		0.580					
$S_{s} - 21$		0.168					
$S_{s} - 22$		0.184					
$S_{s} - 31$	++	0. 206					
$S_{s} - 31$	-+	0.194					

(頂版2)

(底版1)

	ナケース	せん断力照査									
地震動		1	2	3	4	5	6				
	++	0.612	0.634	0.644	0.694	0.500	0.505				
c Di	+-	0.604									
S _s - D 1	-+	0.547									
		0.550									
S s - 1 1		0.423									
S s - 1 2		0.520									
S s - 1 3		0.580									
S s - 1 4		0.393									
S s - 2 1		0.459									
S s - 2 2		0.460									
S s - 3 1	++	0.540									
S s - 3 1	-+	0.554									

検討	ナケース			せん断	力照査		
地震動		1	2	3	4	5	6
	++	0.397	0.391	0.393	0.494	0.354	0.353
6 D1	+-	0.406					
S _s -D 1	-+	0.389					
		0.405					
$S_{s} - 11$		0.323					
$S_{s} - 12$		0.331					
$S_{s} - 13$		0.320					
$S_{s} - 14$		0. 290					
$S_{s} - 21$		0.372					
$S_{s} - 22$		0.363					
S s - 3 1	++	0. 298					
$S_{s} - 31$	-+	0.317					

(底版2)

(隔壁)

検診	ナケース			せん断	力照査		
地震動		1	2	3	4	(5)	6
	++	0.552	0.531	0.551	0.689	0.527	0.548
C D1	+-	0.580					
S _s - D 1	-+	0.606					
	-	0.601					
$S_{s} - 11$		0.436					
$S_{s} - 12$		0.475					
$S_{s} - 13$		0.455					
$S_{s} - 14$		0.366					
$S_{s} - 21$		0.484					
$S_{s} - 22$		0.437					
$S_{s} - 31$	++	0.437					
$S_{s} - 31$	-+	0.482					

検討ケース地震動		せん断力照査							
		①	2	3	4	5	6		
	++	0. 151	0. 152	0.150	0. 150	0.151	0.149		
6 D1	+-	0.149							
S _s -D 1	-+	0.138							
		0.139							
$S_{s} - 11$		0.521							
$S_{s} - 12$		0.121							
$S_{s} - 13$		0.123							
$S_{s} - 14$		0.504							
S _s - 2 1		0.589							
$S_{s} - 22$		0.570							
S _s - 3 1	++	0. 143							
$S_{s} - 31$	-+	0.139							

※ 検討ケース

- ①:原地盤に基づく液状化強度特性を用いた解析ケース(基本ケース)
- ②: 地盤物性のばらつきを考慮 (+1 σ) した解析ケース
- ③: 地盤物性のばらつきを考慮(-1σ)した解析ケース
- ④: 地盤を強制的に液状化させることを仮定した解析ケース
- ⑤: 原地盤において非液状化の条件を仮定した解析ケース ⑥: 地盤物性のばらつきを考慮(+ 1σ)して非液状化の条件を仮定した解析ケース

せん断力照査結果は、検討ケース① (基本ケース) の最大照査値は、頂版 2 、S $_{\rm s}$ - D 1 (+ +)で 0.612 である。

以上より、検討ケース①(基本ケース)において、曲げ軸力照査に対する全ての照査値が 0.50 以下、せん断力照査に対する最大照査値が 0.612 であり、せん断力照査対象の全部材のうち最も厳しい照査値となった地震動は S_s-D1 (++) である。

①一①断面の上部構造は、第四紀層の幅広い深度に埋設されている構造物であることから、敷地に存在しない豊浦標準砂の液状化強度特性により強制的に液状化させることを仮定した場合の追加検討ケース④でやや厳しい結果となる傾向にあるが、 構造物側方に薬液注入による地盤改良を行っていることから、その差異は比較的少ない。また、大きい応力振幅で繰返し回数が多く、継続時間の長い S_s - D_1 で照査値が大きくなる傾向にある。なお、底版2せん断照査値において、基本検討ケース①と比較し、追加検討ケース④での照査値の増加傾向が大きい。このことから、同部材にて基本検討ケース①による照査値が最も厳しい S_s - D_1 (-+)に対し、検討ケース④について追加検討を実施する。

(2) ①-①断面(鋼管杭)

①-①断面(鋼管杭)の地震動選定フローを図 2.1-3 に示す。

検討ケース①(基本ケース)において、曲げ軸力、せん断力照査に対する全ての照査値が 0.50以下であることから、曲げ軸力及びせん断力照査対象の全部材のうち最も厳しい照査値となっ

た地震動を選定する。

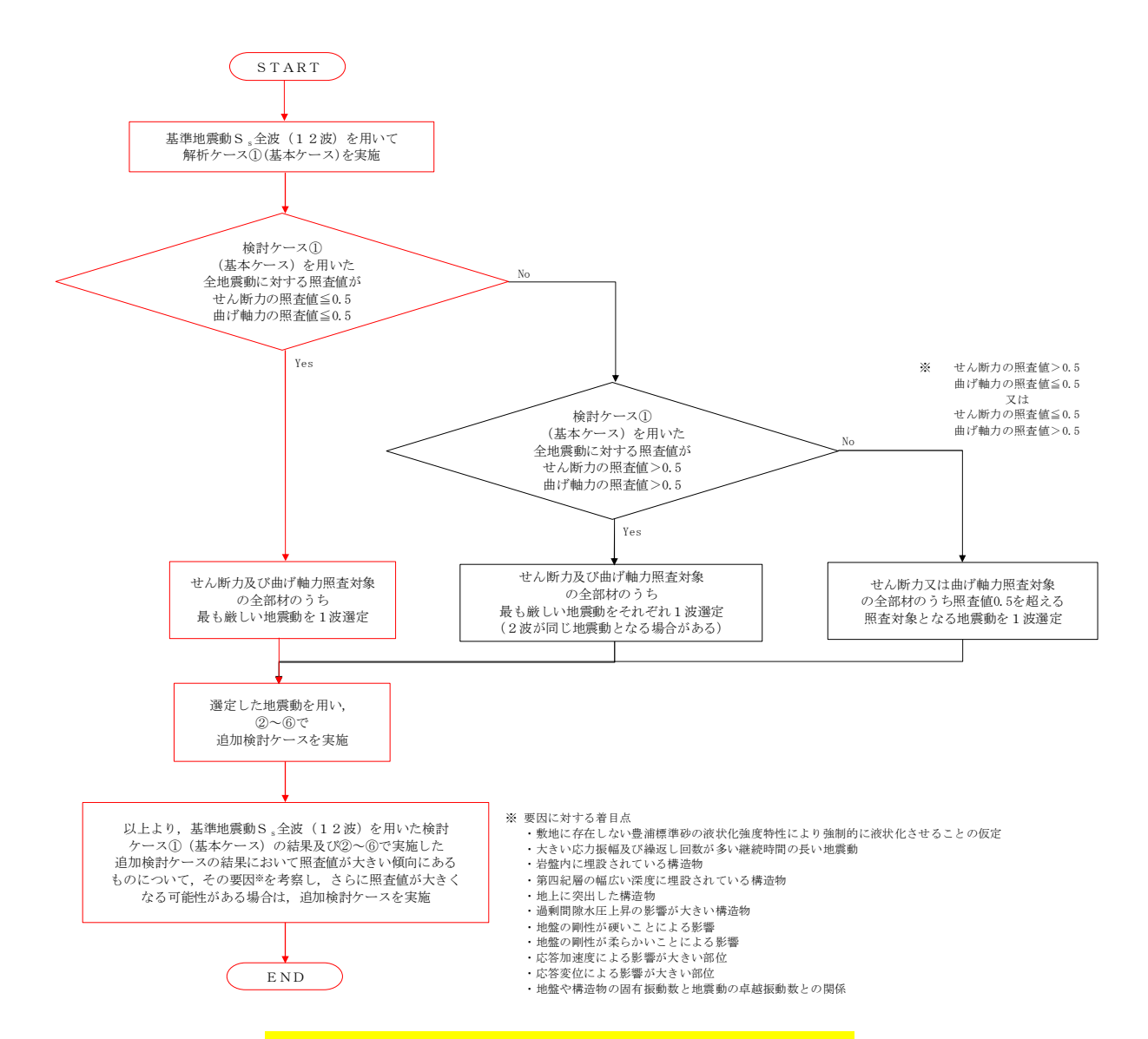


図 2.1-3 地震動選定フロー (①-①断面(鋼管杭))

(曲げ軸力照査, ①-①断面, 鋼管杭)

検討	ナケース			曲げ軸	力照査		
地震動		1	2	3	4	5	6
	++	0.120					
e _D1	+-	0. 128					
S _s - D 1	-+	0.113					
		0. 125					
$S_{s} - 11$		0.094					
$S_{s} - 12$		0.109					
$S_{s} - 13$		0.096					
$S_{s} - 14$		0.060					
S s - 2 1		0.089					
$S_{s} - 22$		0.071					
S s - 3 1	++	0.148	0.145	0.150	0.218	0.156	0.153
S _s - 3 1	-+	0. 131					

※ 検討ケース

- ①: 原地盤に基づく液状化強度特性を用いた解析ケース(基本ケース)
- ②: 地盤物性のばらつきを考慮($+1\sigma$)した解析ケース
- ③: 地盤物性のばらつきを考慮(-1σ)した解析ケース
- ④: 地盤を強制的に液状化させることを仮定した解析ケース
- ⑤: 原地盤において非液状化の条件を仮定した解析ケース
- ⑥: 地盤物性のばらつきを考慮($+1\sigma$)して非液状化の条件を仮定した解析ケース

曲げ軸力照査結果は、検討ケース① (基本ケース) の全ての照査値が 0.50 以下である(最大照査値は、鋼管杭、 S_s-3 1 (++) で 0.148)。

(せん断力照査, ①-①断面, 鋼管杭)

検診	ナケース			せん断	力照査		
地震動		1	2	3	4	5	6
	++	0. 292					
C D1	+-	0.301					
S _s - D 1	-+	0. 258					
		0. 254					
$S_{s} - 11$		0. 180					
$S_s - 12$		0. 251					
$S_{s} - 13$		0. 225					
$S_{s} - 14$		0. 146					
$S_{s} - 21$		0.211					
$S_{s} - 22$		0. 144					
S _s - 3 1	++	0.317	0.310	0.323	0.479	0.340	0.329
$S_{s} - 31$	-+	0. 285					

※ 検討ケース

- ①: 原地盤に基づく液状化強度特性を用いた解析ケース(基本ケース)
- ②: 地盤物性のばらつきを考慮($+1\sigma$)した解析ケース
- ③: 地盤物性のばらつきを考慮 (-1 g) した解析ケース
- ④: 地盤を強制的に液状化させることを仮定した解析ケース
- ⑤: 原地盤において非液状化の条件を仮定した解析ケース
- ⑥: 地盤物性のばらつきを考慮(+1σ)して非液状化の条件を仮定した解析ケース

せん断力照査結果は、検討ケース① (基本ケース) の全ての照査値が 0.50 以下である(最大照査値は、鋼管杭、 S_s-3 1 (++) で 0.317)。

以上より、検討ケース①(基本ケース)において、曲げ軸力、せん断力照査に対する全ての照査値が 0.50 以下であり、曲げ軸力及びせん断力照査対象の全部材のうち最も厳しい照査値となった地震動は S_s-31 (++)である。

①一①断面の鋼管杭は、深部の側方流動により地層境界部のせん断変形が生じるため、敷地に存在しない豊浦標準砂の液状化強度特性により強制的に液状化させることを仮定した場合の追加検討ケース④で照査値が大きくなる傾向にある。これにより、大きい応力振幅で繰返し回数が多く、継続時間の長い S_s -D1で照査値が大きくなる傾向にあるが、深部地盤改良を実施したことにより照査値が改善したため、位相特性が鋼管杭にとって厳しい波である S_s -31による照査値が最も大きくなっている。

よって、さらなる追加検討ケースは必要ない。

(3) ④-④断面(鉄筋コンクリート)

④-④断面(鉄筋コンクリート)の地震動選定フローを図2.1-4に示す。

検討ケース①(基本ケース)において、曲げ軸力、せん断力照査に対する全ての照査値が 0.50

以下であることから,曲げ軸力及びせん断力照査対象の全部材のうち最も厳しい照査値となった地震動を選定する。

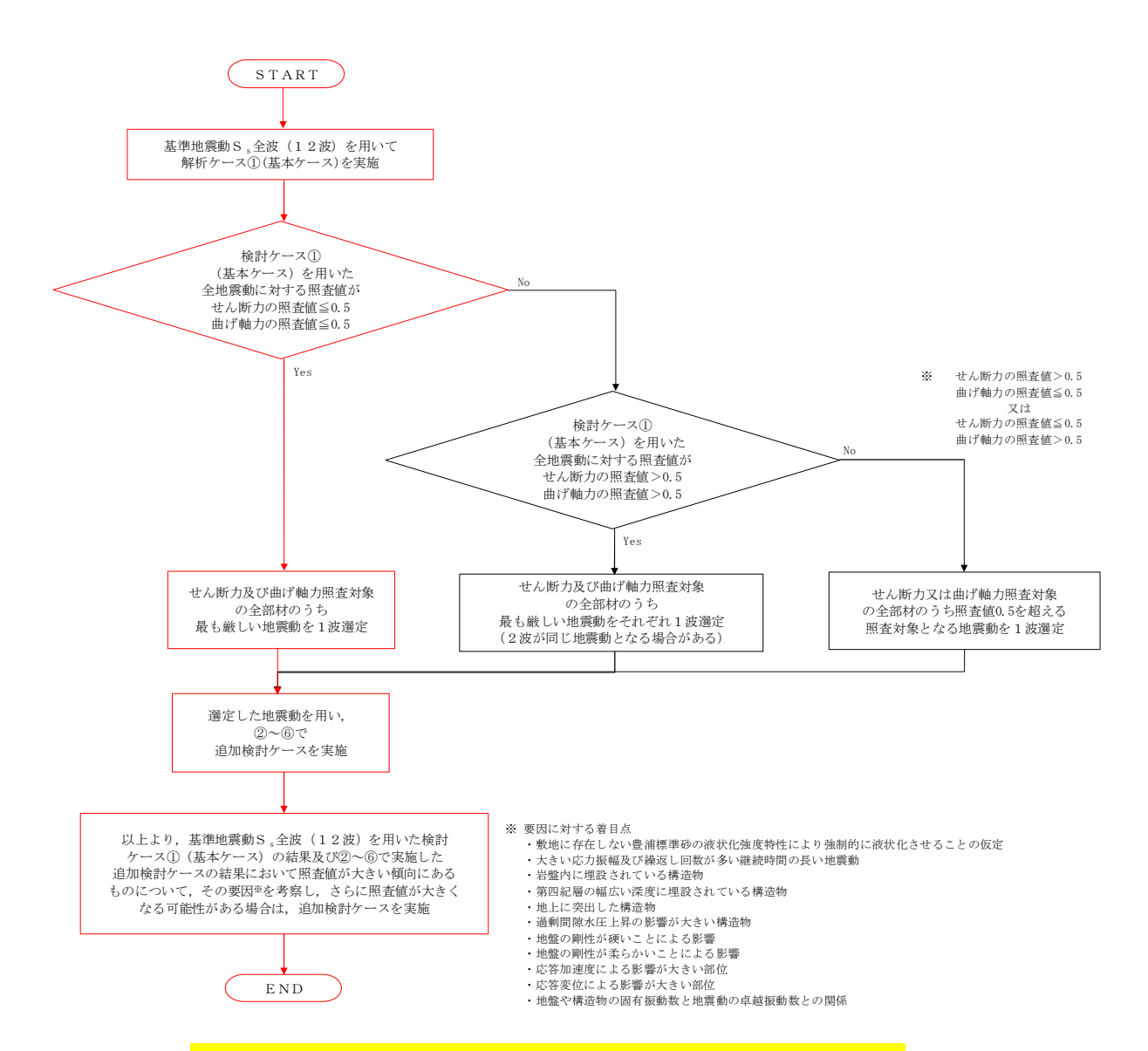


図 2.1-4 地震動選定フロー (④-④断面(鉄筋コンクリート))

(曲げ軸力照査, ④-④断面)

(側壁)

(頂版1)

検診	ナケース			曲げ軸	力照査		
地震動		1	2	3	4	5	6
	++	0.003					
e -D1	+-	0.003					
S _s - D 1	-+	0.003					
		0.004	0.004	0.004	0.004	0.003	0.003
S s - 1 1		0.003					
S _s - 12		0.003					
S s - 1 3		0.003					
S s - 1 4		0.003					
S s - 2 1		0.003					
S s - 2 2		0.003					
S s - 3 1	++	0.003					
$S_{s} - 31$	-+	0.003					

検討	ナケース	曲げ軸力照査								
地震動		1	2	3	4	5	6			
	++	0.038								
e -D1	+-	0.036								
S _s -D 1	-+	0.038								
		0.043	0.046	0.038	0.048	0.042	0.043			
$S_{s} - 11$	-	0.020								
$S_{s} - 12$		0.035								
$S_{s} - 13$		0.033								
$S_{s} - 14$		0.024								
$S_{s} - 21$		0.026								
S _s - 2 2		0.026								
S _s - 3 1	++	0.032								
$S_{s} - 31$	-+	0.035								

(頂版2)

(底版1)

検診	ナケース	曲げ軸力照査								
地震動		1	2	3	4	5	6			
	++	0.048								
s _D1	+-	0.051								
S _s - D 1	-+	0.072								
		0.073	0.075	0.067	0.107	0.052	0.052			
S s - 1 1		0.026								
$S_{s} - 12$		0.036								
$S_{s} - 13$		0.030								
S s - 1 4		0.021								
$S_s - 21$		0.034								
S s - 2 2		0.031								
S s - 3 1	++	0.031								
$S_{s} - 31$	-+	0.037								

_							
→ 検診	付ケース			曲げ軸	力照査		
地震動	地震動		2	3	4	5	6
	++	0.060					
S -D1	+-	0.061					
S _s -D 1	-+	0.066					
		0.069	0.071	0.064	0.111	0.055	0.056
$S_{s} - 11$		0.037					
$S_{s} - 12$		0.054					
$S_{s} - 13$		0.051					
S _s - 14		0.032					
$S_{s} - 21$		0.037					
$S_{s} - 22$		0.042					
S s - 3 1	++	0.046					
$S_s - 31$	-+	0.049					

(底版2)

(隔壁)

検討ケース		曲げ軸力照査							
地震動			2	3	4	5	6		
	++	0.055							
6 D1	+-	0.058							
S _s - D 1	-+	0.076							
		0.084	0.082	0.083	0.103	0.070	0.065		
S s - 1 1		0.040							
S _s -12		0.051							
S _s - 13		0.047							
S s - 1 4		0.045							
S s - 2 1		0.053							
S s - 2 2		0.060							
S _s - 3 1	++	0.043							
S s - 3 1	-+	0.045							

検診	検討ケース		曲げ軸力照査							
地震動		①	2	3	4	5	6			
	++	0.006								
6 D1	+-	0.006								
$S_s - D1$	-+	0.007								
		0.007	0.007	0.007	0.012	0.005	0.005			
S _s - 1 1		0.004								
$S_{s} - 12$		0.005								
$S_{s} - 13$		0.005								
S _s -14		0.004								
S _s - 2 1		0.005								
S _s - 2 2		0.005								
S _s - 3 1	++	0.004								
S _s - 3 1	-+	0.005								

※ 検討ケース

- (銀・原) かい (銀) は (1) に (1) に
- ③: 地盤物性のばらつきを考慮 (-1 g) した解析ケース

- ⑥: 地盤物性のばらつきを考慮($+1\sigma$)して非液状化の条件を仮定した解析ケース

曲げ軸力照査結果は、検討ケース①(基本ケース)の全ての照査値が 0.50以下である(最大照査 値は,底版2,S_s-D1 (--) で0.084)。

(せん断力照査, ④-④断面)

(側壁)

(頂版1)

検診	検討ケース			せん断	力照査		
地震動		1	2	3	4	5	6
	++	0.347					
s _D1	+-	0.348					
S _s - D 1	-+	0.348					
			0.378	0.374	0.433	0. 292	0. 291
$S_{s} - 11$		0. 275					
$S_{s} - 12$		0.332					
$S_{s} - 13$		0.313					
S s - 1 4		0.272					
S s - 2 1		0. 297					
$S_{s} - 22$		0.300					
S s - 3 1	++	0. 267					
$S_{s} - 31$	-+	0.291					

検討	ナケース			せん断	力照査		
地震動	地震動		2	3	4	5	6
	++	0.331					
e -D1	+-	0.354					
$S_s - D1$	-+	0.378					
		0.369	0.371	0.365	0.406	0.369	0.367
$S_{s} - 11$	-	0. 277					
$S_{s} - 12$		0.360					
$S_{s} - 13$		0.342					
$S_{s} - 14$		0. 289					
$S_{s} - 21$		0.339					
S _s - 2 2		0.325					
S _s - 3 1	++	0. 296					
$S_{s} - 31$	-+	0.316					

(頂版2)

(底版1)

検診	検討ケース		せん断力照査								
地震動		1	2	3	4	5	6				
	++	0. 239									
6 D1	+-	0.243									
S _s - D 1	-+	0.294									
		0. 292	0.298	0. 285	0.348	0.260	0.261				
S s - 1 1		0.199									
S _s -12		0.214									
$S_{s} - 13$		0. 206									
S _s -14		0.185									
S s - 2 1		0.224									
S s - 2 2		0.214									
S _s - 3 1	++	0. 221									
S _s - 3 1	-+	0.230									

検診	検討ケース			せん断	せん断力照査								
地震動		1	2	3	4	5	6						
	++	0. 204											
6 D1	+-	0. 209											
S _s -D 1	-+	0.213											
		0.231	0. 239	0.213	0.319	0.212	0.213						
S _s - 1 1	-	0.154											
S _s -12		0. 191											
$S_{s} - 13$		0.193											
S _s -14		0.150											
$S_{s} - 21$		0.170											
S _s - 2 2		0.179											
$S_{s} - 31$	++	0.186											
S _s - 3 1	-+	0.189											

(底版2)

(隔壁)

検討ケース地震動		せん断力照査								
		1	2	3	4	(5)	6			
	++	0. 295								
6 D1	+-	0.311								
$S_s - D1$	-+	0.301								
		0.343	0.339	0.342	0.375	0.321	0.311			
S _s - 11		0.271								
$S_{s} - 12$		0. 275								
$S_{s} - 13$		0.266								
S _s - 14		0.245								
$S_s - 21$		0.306								
$S_{s} - 22$		0.323								
$S_{s} - 31$	++	0. 235								
S _s - 3 1	-+	0. 239								

検討ケース			せん断力照査								
地震動		1	2	3	4	5	6				
	++	0. 215									
6 D1	+-	0.215									
$S_s - D1$	-+	0.244									
		0.246	0.245	0.238	0.290	0.204	0.209				
$S_{s} - 11$		0.180									
$S_{s} - 12$		0. 202									
$S_{s} - 13$		0.189									
$S_{s} - 14$		0.169									
$S_s - 21$		0.187									
$S_{s} - 22$		0.189									
$S_{s} - 31$	++	0.184									
$S_{s} - 31$	-+	0. 197					, and the second				

※ 検討ケース

- ①: 原地盤に基づく液状化強度特性を用いた解析ケース(基本ケース)
- ②: 地盤物性のばらつきを考慮 (+1 σ) した解析ケース
- ③: 地盤物性のばらつきを考慮(-1σ)した解析ケース
- ④: 地盤を強制的に液状化させることを仮定した解析ケース
- ⑤: 原地盤において非液状化の条件を仮定した解析ケース
- ⑥: 地盤物性のばらつきを考慮($+1\sigma$)して非液状化の条件を仮定した解析ケース

せん断力照査結果は、検討ケース① (基本ケース) の全ての照査値が 0.50 以下である(最大照査値は、側壁、 S_s-D1 (--) で 0.383)。

以上より、検討ケース① (基本ケース) において、曲げ軸力、せん断力照査に対する全ての照査 値が 0.50 以下であり、曲げ軸力及びせん断力照査対象の全部材のうち最も厳しい照査値となった地 震動は S_s-D1 (--) である。

④-④断面の上部構造は、第四紀層の幅広い深度に埋設されている構造物であることから、敷地に存在しない豊浦標準砂の液状化強度特性により強制的に液状化させることを仮定した場合の追加検討ケース④で厳しい結果となる傾向にあるが、構造物側方に薬液注入による地盤改良を行っていることから、その差異は比較的少ない。

④-④断面の照査値は、全て 0.50 以下である。以上を踏まえ、さらなる追加検討ケースは必要ない。

(4) ④-④断面(鋼管杭)

④-④断面(鋼管杭)の地震動選定フローを図2.1-5に示す。

検討ケース① (基本ケース) において,曲げ軸力,せん断力照査に対する全ての照査値が 0.50

以下であることから,曲げ軸力及びせん断力照査対象の全部材のうち最も厳しい照査値となった地震動を選定する。

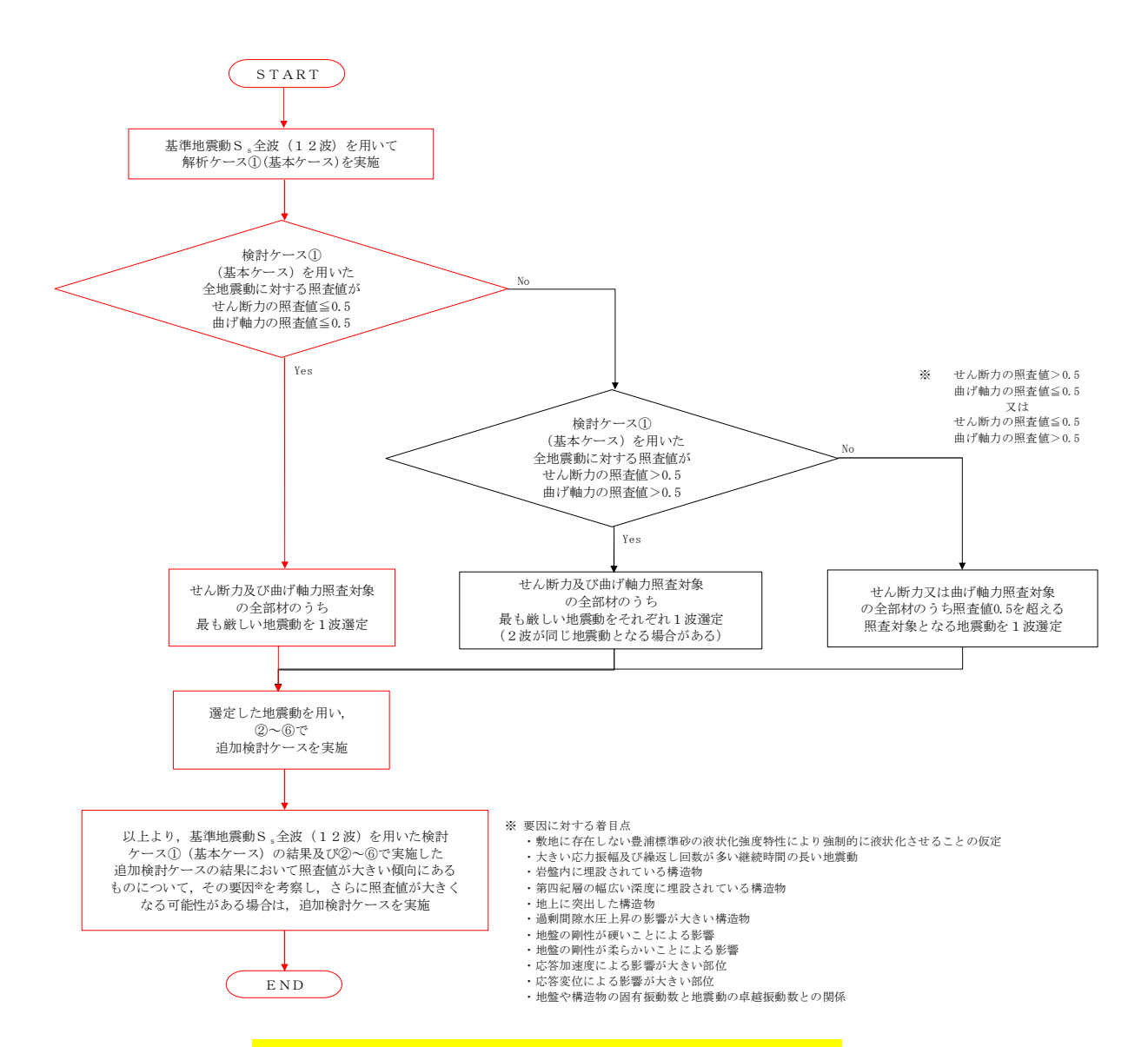


図 2.1-5 地震動選定フロー (④-④断面(鋼管杭))

(曲げ軸力照査, ④-④断面)

検討	ナケース			曲げ軸	力照査		
地震動	地震動		2	3	4	5	6
	++	0. 185					
e _D1	+-	0. 189					
S _s - D 1	-+	0. 185					
		0. 220	0.211	0. 227	0.224	0.200	0.198
$S_{s} - 11$		0.161					
$S_{s} - 12$		0.152					
$S_{s} - 13$		0.159					
$S_{s} - 14$		0.086					
$S_{s} - 21$		0.133					
$S_{s} - 22$		0.109					
S s - 3 1	++	0. 187					
S s - 3 1	-+	0. 140					

※ 検討ケース

- ①: 原地盤に基づく液状化強度特性を用いた解析ケース(基本ケース)
- ②: 地盤物性のばらつきを考慮 (+1 σ) した解析ケース
- ③: 地盤物性のばらつきを考慮 (-1σ) した解析ケース
- ④: 地盤を強制的に液状化させることを仮定した解析ケース
 - ⑤: 原地盤において非液状化の条件を仮定した解析ケース
 - ⑥: 地盤物性のばらつきを考慮(+1σ)して非液状化の条件を仮定した解析ケース

曲げ軸力照査結果は、検討ケース①(基本ケース)の全ての照査値が 0.50以下である(最大照査 値は、鋼管杭、S_s-D1 (--) で 0.220)。

(せん断力照査, ④-④断面)

検診	ナケース		せん断力照査								
地震動		1	2	3	4	5	6				
++		0. 289									
6 D1	+-	0.301									
$S_s - D1$	-+	0. 262									
		0. 283									
$S_{s} - 11$		0. 233									
$S_{s} - 12$		0. 268									
$S_{s} - 13$		0. 242									
$S_{s} - 14$		0. 161									
$S_{s} - 21$		0. 216									
$S_{s} - 22$		0. 188									
$S_{s} - 31$	++	0.336	0.326	0.372	0.457	0.346	0.340				
$S_{s} - 31$	-+	0.315									

※ 検討ケース

- ①: 原地盤に基づく液状化強度特性を用いた解析ケース(基本ケース) ④: 地盤を強制的に液状化させることを仮定した解析ケース
- ②: 地盤物性のばらつきを考慮 $(+1 \sigma)$ した解析ケース ③: 地盤物性のばらつきを考慮 (-1σ) した解析ケース
- ⑤: 原地盤において非液状化の条件を仮定した解析ケース
- ⑤: 原地盤において非液状化の染件を収止した呼かった⑥: 地盤物性のばらつきを考慮(+1σ)して非液状化の条件を仮定した解析ケース

せん断力照査結果は、検討ケース①(基本ケース)の全ての照査値が0.50以下である(最大照査 値は,鋼管杭, S_s-31 (++)で0.336)。

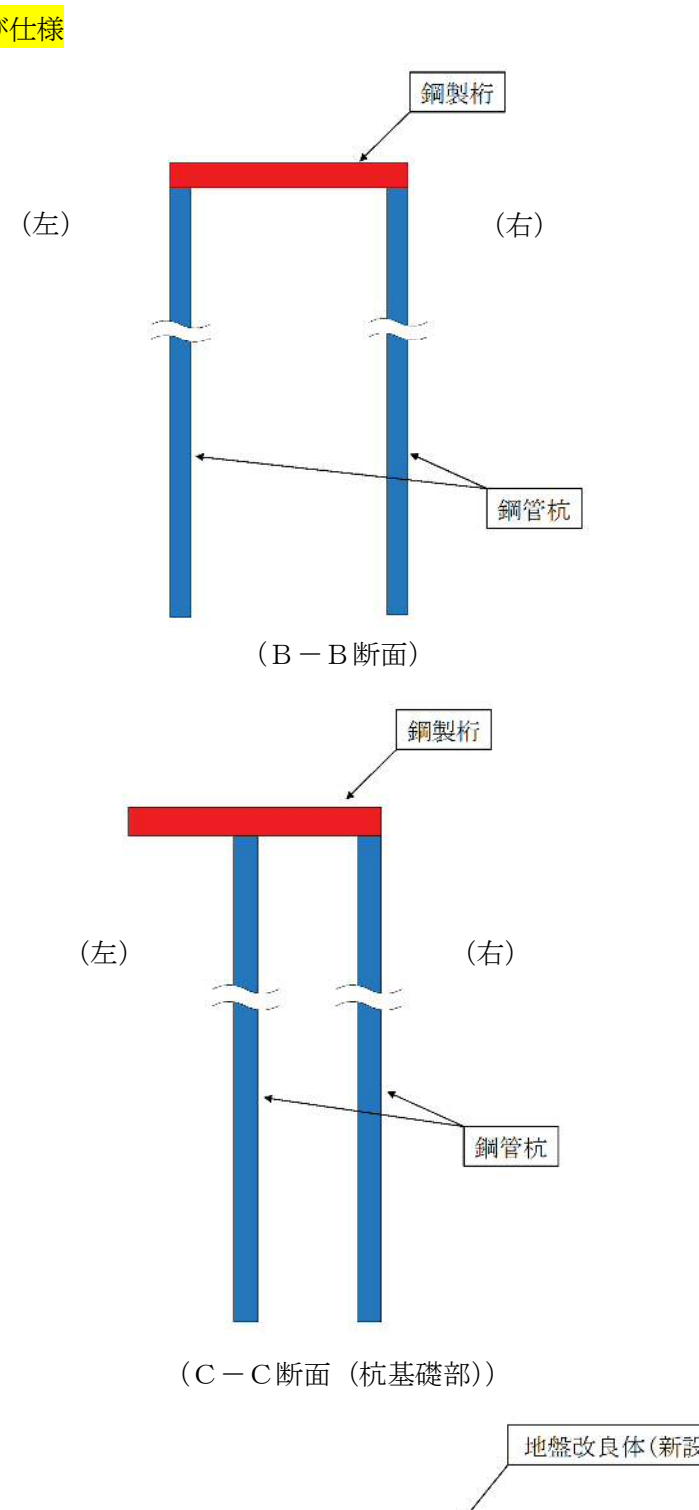
以上より、検討ケース①(基本ケース)において、曲げ軸力、せん断力照査に対する全ての照査 値が 0.50 以下であり、曲げ軸力及びせん断力照査対象の全部材のうち最も厳しい照査値となった地 震動は $S_s - 31 (++)$ である。

④一④断面の鋼管杭は、深部の側方流動により地層境界部のせん断変形が生じるため、敷地に存在しない豊浦標準砂の液状化強度特性により強制的に液状化させることを仮定した場合の追加検討ケース④で照査値が大きくなる傾向にある。これにより、大きい応力振幅で繰返し回数が多く、継続時間の長い S_s -D1で照査値が大きくなる傾向にあるが、深部地盤改良を実施したことにより照査値が改善している。また、大きい応力振幅及び繰返し回数が多い継続時間の長い S_s -D1で照査値が比較的大きくなる傾向にあるが、深部地盤改良を実施したことにより照査値が改善したため、せん断照査については、位相特性が鋼管杭にとって厳しい波である S_s -31による照査値が最も大きくなっている。

よって、さらなる追加検討ケースは必要ない。

2.2 屋外二重管

<mark>2.2.1 照査位置及び仕様</mark>



地盤改良体(新設)

(C-C断面(地盤改良体基礎部))

図 2.2-1 屋外二重管基礎の照査位置図

表 2.2-1 構造仕様

	鋼隻	製桁	鋼管杭		
断面	断面寸法	板厚	径	板厚	
	(mm)	(mm)	(mm)	(mm)	
B-B断面	幅 800×	40	900	40	
D — D 附 囲	高さ 650	(SM570)	800	(SM570)	
C-C断面	幅 800×	40	900	40	
(杭基礎部)	高さ 650	(SM570)	800	(SM570)	

2.2.2 評価結果

(1) B-B断面

B-B断面の地震動選定フローを図2.2-2に示す。

検討ケース①(基本ケース)において、曲げ軸力照査値が 0.50 より大きく、せん断力照査値が 0.50 以下であることから、曲げ軸力照査対象の全部材のうち最も厳しい照査値となった地震動を選定する。

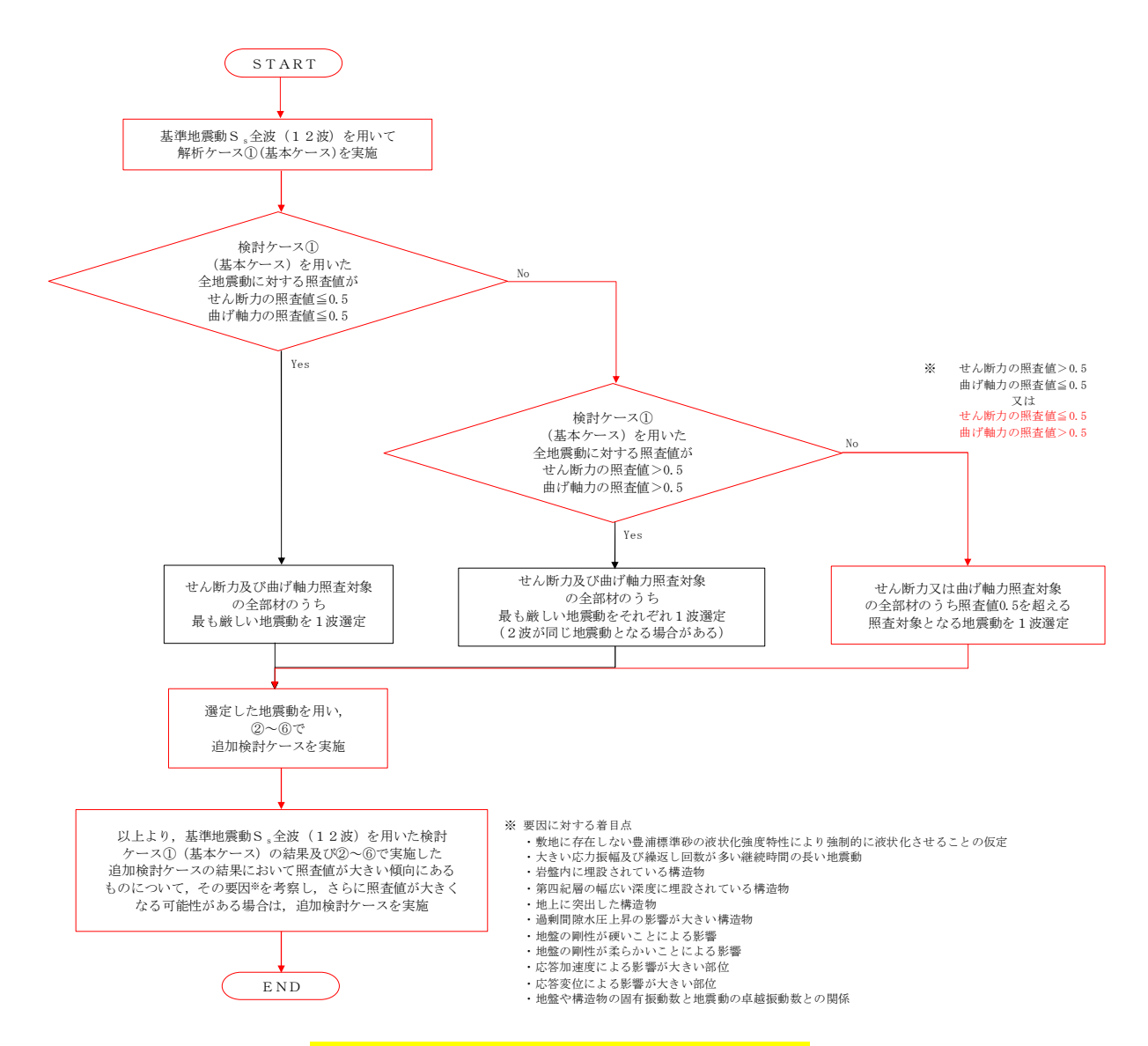


図 2.2-2 地震動選定フロー (B-B断面)

(曲げ軸力照査, B-B断面)

(鋼製桁)

(鋼管杭(左))

検診	ナケース		曲げ軸力照査								
地震動		1	2	3	4	5	6				
	++	0.05									
e -D1	+-	0.05	0.02	0.04	0.03	0.06	0.02				
S _s - D 1	-+	0.04									
		0.04									
$S_{s} - 11$		0.03									
S _s - 12		0.04									
$S_{s} - 13$		0.03									
S _s - 14		0.03									
$S_{s} - 21$		0.05									
$S_{s} - 22$		0.04									
S s - 3 1	++	0.06									
S s - 3 1	-+	0.07									

検診	ナケース	曲げ軸力照査								
地震動		1	2	3	4	5	6			
++		0.63								
c Di	+-	0.63	0.66	0.60	0.59	0.42	0.49			
S _s -D 1	-+	0.58								
		0.58								
S _s - 1 1		0.40								
$S_s - 12$		0.62								
$S_{s} - 13$		0.58								
S _s - 1 4		0.49								
S _s - 2 1		0.39								
$S_{s} - 22$		0.48								
S _s - 3 1	++	0.38								
S _s - 3 1	-+	0.47								

(鋼管杭(右))

検診	ナケース			曲げ軸	力照査		
地震動		1	2	3	4	5	6
	++	0.55					
e -D1	+-	0.55	0.57	0.50	0.66	0.42	0.45
S _s - D 1	-+	0.49					
		0.49					
S s - 1 1		0.32					
S s - 1 2		0.57					
$S_{s} - 13$		0.54					
S s - 1 4		0.44					
S s - 2 1		0.35					
S s - 2 2		0.43					
S s - 3 1	++	0.45					
$S_{s} - 31$	-+	0.41					

※ 検討ケース

- ①: 原地盤に基づく液状化強度特性を用いた解析ケース(基本ケース)
- ②: 地盤物性のばらつきを考慮($+1\sigma$)した解析ケース ③: 地盤物性のばらつきを考慮(-1σ)した解析ケース
- ④: 地盤を強制的に液状化させることを仮定した解析ケース
- ⑤: 原地盤において非液状化の条件を仮定した解析ケース
- ⑥: 地盤物性のばらつきを考慮(+ 1σ)して非液状化の条件を仮定した解析ケース

曲げ軸力照査結果は、検討ケース①(基本ケース)の最大照査値は、鋼管杭(左)、S_s-D1 (++) 及び $S_s - D1 (+-)$ で 0.63 である。

(せん断力照査, B-B断面)

(鋼製桁)

(鋼管杭(左))

検診	ナケース			せん断	力照査		
地震動		1	2	3	4	5	6
	++	0.02					
e _D1	+-	0.02	0.02	0.02	0.02	0.03	0.02
$S_s - D1$	-+	0.02					
		0.02					
S _s - 1 1		0.02					
S _s - 12		0.03					
S _s - 13		0.03					
S _s - 14		0.02					
S _s - 2 1		0.02					
S _s - 2 2		0.02					
S _s - 3 1	++	0.03					
S _s - 3 1	-+	0.03					

ケース	せん断力照査								
地震動		2	3	4	5	6			
++	0.08								
+-	0.08	0.09	0.08	0.18	0.12	0.17			
-+	0.08								
	0.08								
	0.07								
	0.08								
	0.08								
	0.07								
	0.07								
	0.07								
++	0.11								
-+	0.13								
	++	++ 0.08 +- 0.08 -+ 0.08 0.08 0.07 0.08 0.08 0.08 0.07 0.07 0.07	++ 0.08 +- 0.08 0.09 -+ 0.08 0.08 0.07 0.08 0.07 0.08 0.07 0.07 0.07	① ② ③ ++ 0.08 +- 0.08 0.09 0.08 -+ 0.08 0.08 0.07 0.08 0.08 0.07 0.07 0.07 ++ 0.11	① ② ③ ④ ++ 0.08 +- 0.08 0.09 0.08 0.18 -+ 0.08 0.07 0.08 0.08 0.08 0.07 0.07 0.07	① ② ③ ④ ⑤ ++ 0.08 +- 0.08 0.09 0.08 0.18 0.12 -+ 0.08 0.08 0.07 0.08 0.07 0.08 0.07 0.07 0.07			

(鋼管杭(右))

	寸ケース			せん断	力照査		
地震動		1	2	3	4	5	6
	++	0.10					
e -D1	+-	0.10	0.11	0.10	0.12	0.11	0.15
S _s - D 1	-+	0.09					
		0.09					
S s - 1 1		0.06					
$S_{s} - 12$		0.10					
$S_{s} - 13$		0.09					
S s - 1 4		0.08					
S s - 2 1		0.08					
S s - 2 2		0.08					
S s - 3 1	++	0.12					
$S_{s} - 31$	-+	0.10					

※ 検討ケース

- ①: 原地盤に基づく液状化強度特性を用いた解析ケース(基本ケース)
- ②: 地盤物性のばらつきを考慮($+1\sigma$)した解析ケース
- ③: 地盤物性のばらつきを考慮 (-1 σ) した解析ケース
- ④: 地盤を強制的に液状化させることを仮定した解析ケース
- ⑤: 原地盤において非液状化の条件を仮定した解析ケース
- ⑥: 地盤物性のばらつきを考慮 (+1 g) して非液状化の条件を仮定した解析ケース

せん断力照査結果は、検討ケース① (基本ケース) の全ての照査値が 0.50 以下である(最大照査値は、鋼管杭(左)、 S_s-31 (-+) で 0.13)。

以上より、検討ケース① (基本ケース) において、曲げ軸力照査に対する最大照査値が 0.63、せん断力照査に対する照査値が 0.50 以下であり、曲げ軸力照査対象の全部材のうち最も厳しい照査値となった地震動は $S_{s}-D_{1}$ (++) 及び $S_{s}-D_{1}$ (+-) である。

B-B断面の鋼管杭の上部は、地盤改良体及び第四紀層の幅広い深度に埋設されており、鋼管杭の深部は第四紀層に埋設されていることから、剛性差の生じる両者の地層境界部にせん断変形による曲げの影響を大きく受ける結果となる。なお、検討ケース①~④における過剰間隙水圧比の上昇が同程度であり、それに伴うひずみの発生が同程度であることから、検討ケース①~④は同様の照査値であると考えられる。また、地盤の剛性が柔らかく、ひずみや変形が生じる傾向にある S_s-D_1 において照査値が大きくなると考えられる。

よって、検討ケース①において、鋼管杭(左)で照査値が大きくなる $S_s - D1$ (++) に対して、追加検討ケース②を実施し、鋼管杭(右)で照査値が大きくなる $S_s - 12$ に対して追加検討ケース④を実施する。

(2) C-C断面 (杭基礎部)

C-C断面(杭基礎部)の地震動選定フローを図2.2-3に示す。

検討ケース①(基本ケース)において、曲げ軸力、せん断力照査に対する全ての照査値が 0.50

以下であることから,曲げ軸力及びせん断力照査対象の全部材のうち最も厳しい照査値となった地震動を選定する。

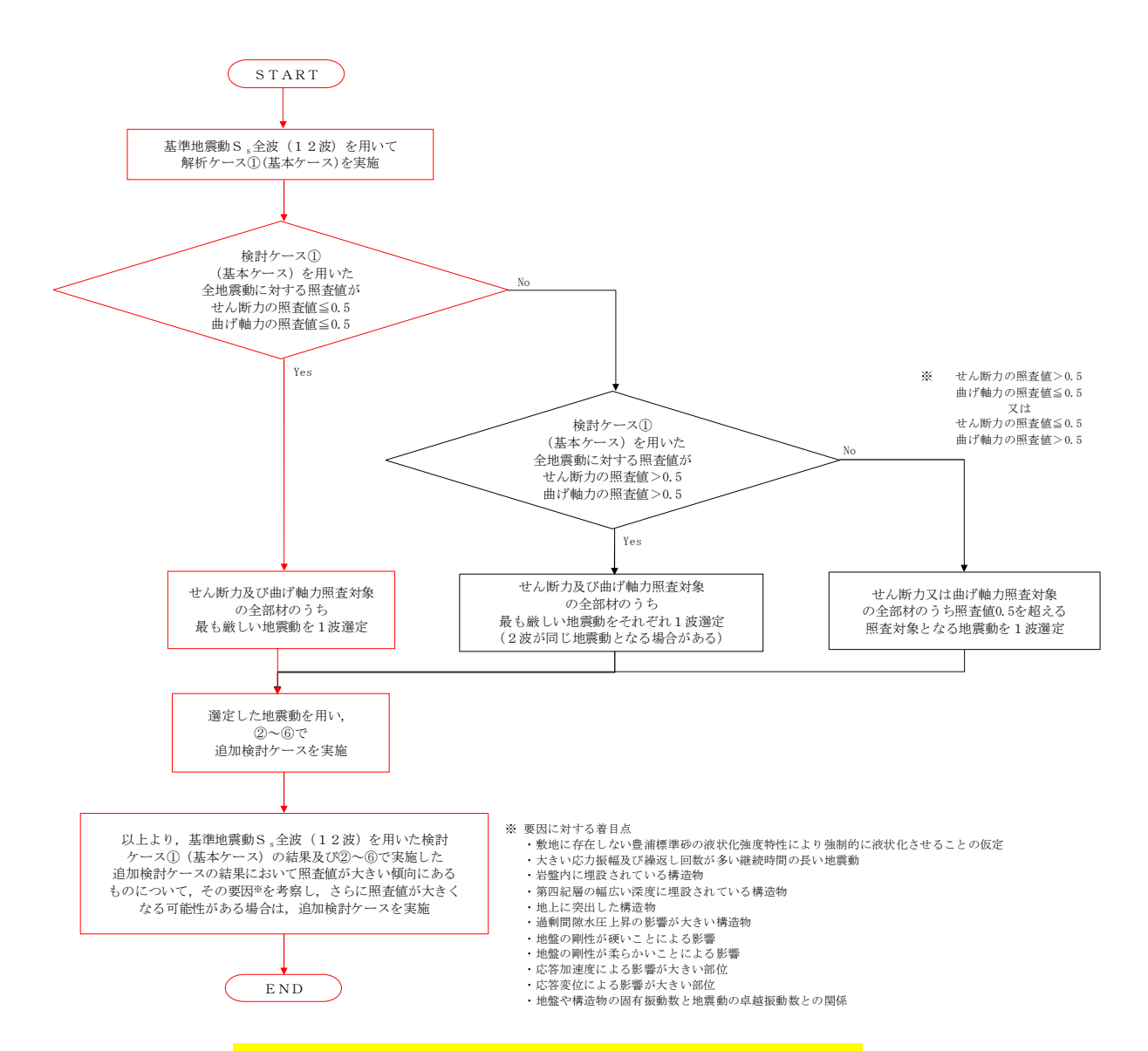


図 2.2-3 地震動選定フロー (C-C断面(杭基礎部))

(曲げ軸力照査、C-C断面<mark>(杭基礎部)</mark>)

(鋼製桁)

(鋼管杭(左))

検診	ナケース			曲げ軸	力照査		
地震動		1	2	3	4	5	6
	++	0.03					
c Di	+-	0.03					
S _s - D 1	-+	0.03	0.02	0.03	0.03	0.04	0.04
		0.03					
S s - 1 1		0.02					
S _s - 12		0.03					
S s - 1 3		0.03					
S s - 1 4		0.02					
S s - 2 1		0.03					
S s - 2 2		0.03					
S s - 3 1	++	0.04					
S _s - 3 1	-+	0.03					

検診	ナケース	曲げ軸力照査								
地震動		1	2	3	4	5	6			
	++	0.42								
$S_s - D1$	+-	0.42								
	-+	0.44	0.46	0.44	0.57	0.32	0.35			
		0.45								
$S_{s} - 11$		0.09								
$S_{s} - 12$		0.26								
$S_{s} - 13$		0. 22								
S _s -14		0.15								
S _s - 2 1		0.28								
S _s - 2 2		0. 28								
S _s - 3 1	++	0.37								
S _s - 3 1	-+	0.33								

(鋼管杭(右))

_										
検討	付ケース		曲げ軸力照査							
地震動		1	2	3	4	5	6			
	++	0.41								
e -D1	+-	0.41								
S _s - D 1	-+	0.45	0.47	0.47	0.58	0.34	0.39			
		0.45								
S s - 1 1		0.10								
S s - 1 2		0.26								
S s - 1 3		0.33								
S s - 1 4		0.15								
S s - 2 1		0.28								
S s - 2 2		0. 28								
S s - 3 1	++	0.38								
S s - 3 1	-+	0.33								

※ 検討ケース

- ①: 原地盤に基づく液状化強度特性を用いた解析ケース(基本ケース)
- ②: 地盤物性のばらつきを考慮(+ 1 σ)した解析ケース
- ③: 地盤物性のばらつきを考慮 (-1 σ) した解析ケース
 ④: 地盤を強制的に液状化させることを仮定した解析ケース
- ⑤: 原地盤において非液状化の条件を仮定した解析ケース
- ⑥: 地盤物性のばらつきを考慮(+ 1 σ)して非液状化の条件を仮定した解析ケース

曲げ軸力照査結果は、検討ケース①(基本ケース)の全ての照査値が0.50以下である(最大照査 値は、鋼管杭(左)、S_s-D1(--)及び鋼管杭(右)、S_s-D1(-+)及びS_s-D1(-一)で 0.45)。

(せん断力照査, C-C断面 (杭基礎部))

(鋼製桁)

(鋼管杭(左))

検診	ナケース			せん断	i 力照査		
地震動		1	2	3	4	5	6
	++	0.02					
c Di	+-	0.02					
S _s - D 1	-+	0.02	0.01	0.01	0.02	0.02	0.02
		0.02					
$S_{s} - 11$		0.01					
$S_{s} - 12$		0.02					
$S_{s} - 13$		0.02					
S s - 1 4		0.01					
S s - 2 1		0.02					
S s - 2 2		0.02					
S s - 3 1	++	0.02					
S s - 3 1	-+	0.02					

検診	ナケース	せん断力照査								
地震動		1	2	3	4	5	6			
	++	0.13								
S _s -D 1	+-	0.13								
	-+	0.14	0.16	0.15	0.17	0.11	0.13			
		0.14								
$S_{s} - 11$		0.03								
$S_{s} - 12$		0.08								
$S_{s} - 13$		0.07								
S _s -14		0.05								
S _s - 2 1		0.08								
S s - 2 2		0.08								
S _s - 3 1	++	0.12								
S _s - 3 1	-+	0.11								

(鋼管杭(右))

検診	ナケース			せん断	力照査		
地震動		1	2	3	4	5	6
	++	0.12					
S , - D 1	+-	0.12					
S _s -D1	-+	0.13	0.16	0.14	0.17	0.10	0.13
		0.13					
S s - 1 1		0.03					
S _s -12		0.07					
S _s - 13		0.06					
S _s - 14		0.04					
S _s - 2 1		0.08					
S s - 2 2		0.08					
S _s - 3 1	++	0.10					
$S_{s} - 31$	-+	0.09					

※ 検討ケース

- ①: 原地盤に基づく液状化強度特性を用いた解析ケース(基本ケース)
- ②: 地盤物性のばらつきを考慮($+1\sigma$)した解析ケース
- ③: 地盤物性のばらつきを考慮 (-1 σ) した解析ケース
- ④: 地盤を強制的に液状化させることを仮定した解析ケース
- ⑤: 原地盤において非液状化の条件を仮定した解析ケース
- ⑥: 地盤物性のばらつきを考慮(+ 1σ)して非液状化の条件を仮定した解析ケース

せん断力照査結果は、検討ケース①(基本ケース)の全ての照査値が 0.50 以下である(最大照査値は、鋼管杭(左)、 S_s-D1 (-+)及び S_s-D1 (--)で 0.14)。

以上より、検討ケース① (基本ケース) において、曲げ軸力、せん断力照査に対する全ての照査値が 0.50 以下であり、かつ、曲げ軸力及びせん断力照査対象の全部材のうち最も厳しい照査値となった地震動は $S_{s}-D_{1}$ (-+) 及び $S_{s}-D_{1}$ (--) である。

C-C断面の杭基礎は、第四紀層の幅広い深度に埋設されていることから、敷地に存在しない豊浦標準砂の液状化強度特性により強制的に液状化させることを仮定した場合の追加検討ケース④で照査値が大きくなる傾向にある。また、大きい応答振幅で繰返し回数が多く、継続時間の長いS。-D1で照査値が大きくなる傾向がある。

C-C断面(杭基礎部)の照査値は,全て 0.50 以下である。以上を踏まえ,さらなる追加検討ケースは必要ない。

(3) C-C断面(地盤改良体基礎部)

C-C断面(地盤改良体基礎部)では、検討ケース①(基本ケース)において、地盤改良体のすべり安全率が最も厳しい値となった地震動を選定する。

(すべり評価, C-C断面)

検診	検討ケース		すべり評価								
地震動		1	2	3	4	5	6				
	++	3. 24									
S , - D 1	+-	3. 22									
S _s -D1	-+	2. 92									
		2. 93									
$S_{s} - 11$		5. 90									
$S_{s} - 12$		4.42									
$S_{s} - 13$		4. 57									
$S_{s} - 14$		4.97									
S s - 2 1		3. 55									
S _s - 22		4. 12									
$S_{s} - 31$	++	2.67	6.40	3. 76	2.44	2.62	5.87				
$S_{s} - 31$	-+	3.08									

※ 検討ケース

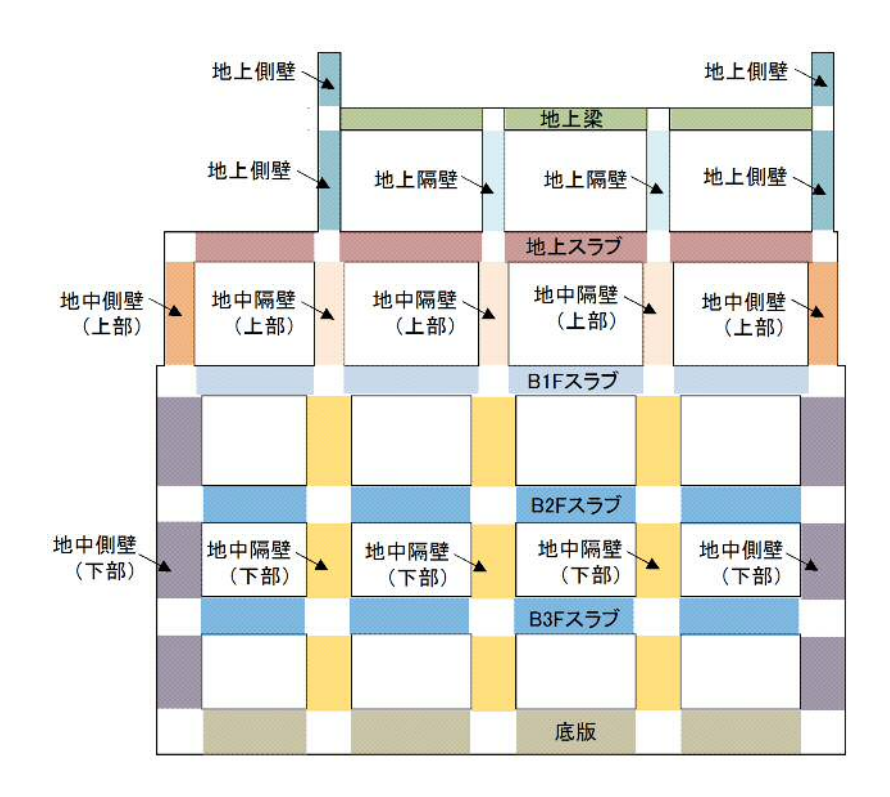
- ①: 原地盤に基づく液状化強度特性を用いた解析ケース(基本ケース)
- ②: 地盤物性のばらつきを考慮(+ 1 σ)した解析ケース
- ③: 地盤物性のばらつきを考慮(-1σ)した解析ケース
- ④: 地盤を強制的に液状化させることを仮定した解析ケース
- ⑤: 原地盤において非液状化の条件を仮定した解析ケース
- ⑥: 地盤物性のばらつきを考慮(+ 1σ)して非液状化の条件を仮定した解析ケース

検討ケース① (基本ケース) のすべり安全率が最も厳しい値は、 S_s-31 (++) で 2.67 である。

以上より、検討ケース① (基本ケース) において、地盤改良体のすべり安全率が最も厳しい値となった地震動はS s - 31 (++)である。

2.3 常設代替高圧電源装置置場及び西側淡水貯水設備

2.3.1 照査位置及び仕様



(南北方向⑤-⑤断面)

図 2.3-1 常設代替高圧電源装置置場の照査位置図

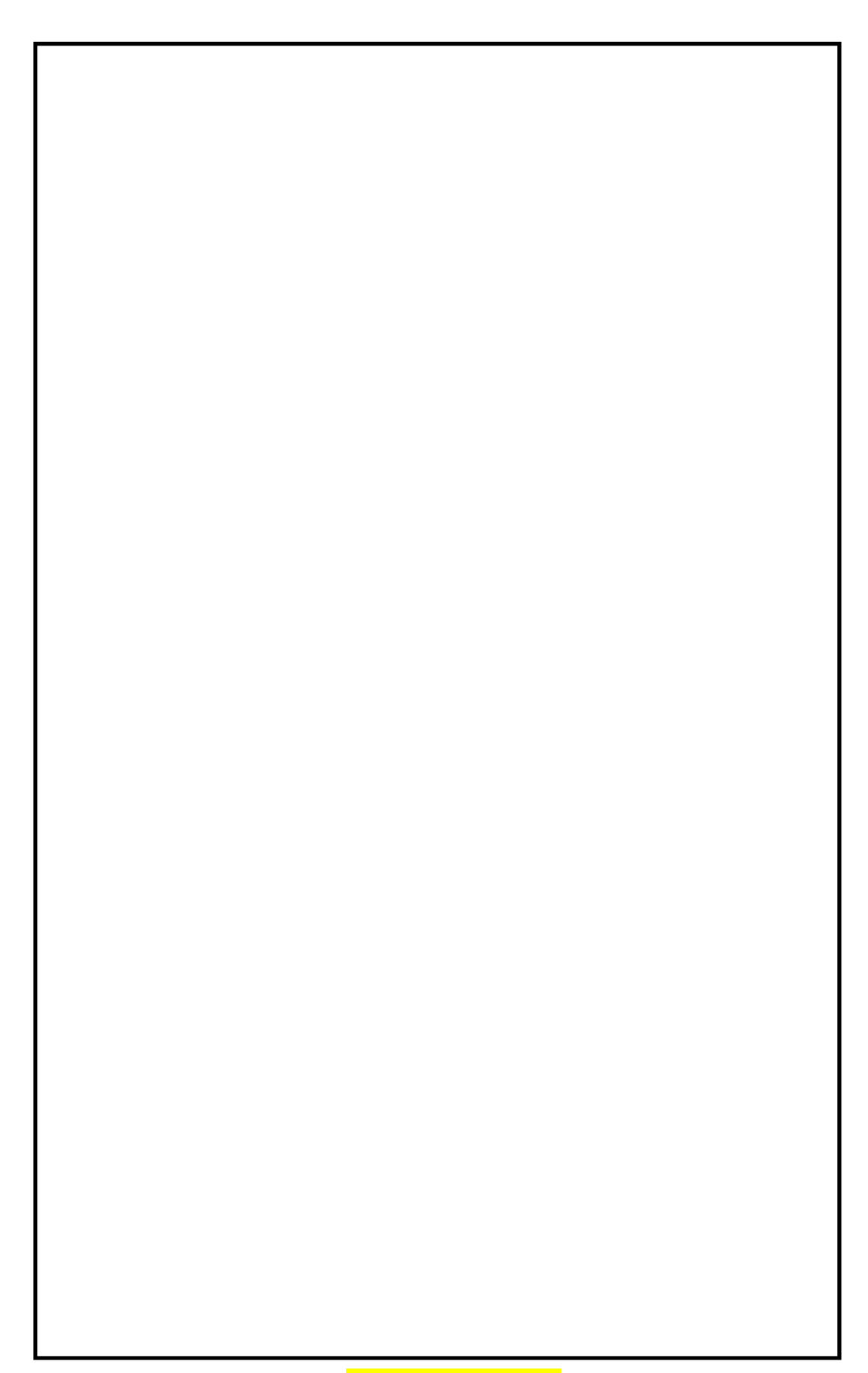


図 2.3-2 概略配筋図

表 2.3-1 断面諸元一覧表 (曲げ軸力に対する評価)

		断面性状				主鉄筋					
部位	材料No.	部材幅	部材高	かぶり	有効高さ	鉄筋種別	径	段数	鉄筋間隔	鉄筋量	
		b (m)	h (m)	d'(m)	d (m)	(-)	(mm)	(-)	(mm)	(mm^2)	
底版	M1	1.000	3.000	0.170	2.830	SD490	51	1	200	10135	
B2F,B3Fスラブ	M2	1.000	2.500	0.170	2.330	SD490	51	1	200	10135	
B1Fスラブ	M3	1.000	2.000	0.170	1.830	SD490	51	1	200	10135	
地上スラブ	M4	1.000	2.000	0.190	1.810	SD490	41	1	200	6700	
地上梁	M5	2.000	1.500	0.285	1.215	SD490	38	2	9本	20520	
地中側壁(下部)	M6	1.000	3.000	0.170	2.830	SD490	51	1	200	10135	
地中側壁(上部)	M7	1.000	2.000	0.170	1.830	SD490	41	1	200	6700	
地中隔壁(下部)	M8	1.000	3.000	0.170	2.830	SD490	51	1	200	10135	
地中隔壁(上部)	M9	1.000	2.000	0.170	1.830	SD490	51	1	200	10135	
地上側壁	M10	1.000	1.500	0.190	1.310	SD490	35	1	200	4783	
地上隔壁	M11	1.000	1.500	0.190	1.310	SD490	35	1	200	4783	

表 2.3-2 断面諸元一覧表(せん断力に対する評価)

			断面	性状		せん断補強鉄筋					
部位	材料No.	部材幅	部材高	かぶり	有効高さ	鉄筋種別	径	Sb	Ss	鉄筋量	
		b (m)	h (m)	d'(m)	d (m)	(-)	(mm)	(mm)	(mm)	(mm^2)	
底版	M1	1.000	3.000	0.170	2.830	SD390	25	200	300	2534	
B2F,B3Fスラブ	M2	1.000	2.500	0.170	2.330	SD390	25	400	300	1267	
B1Fスラブ	M3	1.000	2.000	0.170	1.830	SD390	25	400	300	1267	
地上スラブ	M4	1.000	2.000	0.190	1.810	SD390	19	400	300	716	
地上梁	M5	2.000	1.500	0.285	1.215	SD390	19	4本	200	1146	
地中側壁(下部)	M6	1.000	3.000	0.170	2.830	SD390	19	400	200	716	
地中側壁(上部)	M7	1.000	2.000	0.170	1.830	SD390	19	400	200	716	
地中隔壁(下部)	M8	1.000	3.000	0.170	2.830	SD390	22	400	200	968	
地中隔壁(上部)	M9	1.000	2.000	0.170	1.830	SD390	16	400	200	497	
地上側壁	M10	1.000	1.500	0.190	1.310	SD390	16	400	200	497	
地上隔壁	M11	1.000	1.500	0.190	1.310	SD390	16	400	200	497	

2.3.2 評価結果

(1) 南北方向(5)-(5)断面

南北方向⑤-⑤断面の地震動選定フローを図 2.3-3 に示す。

検討ケース①(基本ケース)において、曲げ軸力照査値が 0.50 より大きく、せん断照査値が 0.50 より大きいことから、曲げ軸力対象の全部材及びせん断力照査対象の全部材のうち、それぞれ最も厳しい照査値となった地震動を選定する。

また、検討ケース①(基本ケース)の照査結果から厳しいと想定される地震動を追加で選定する。

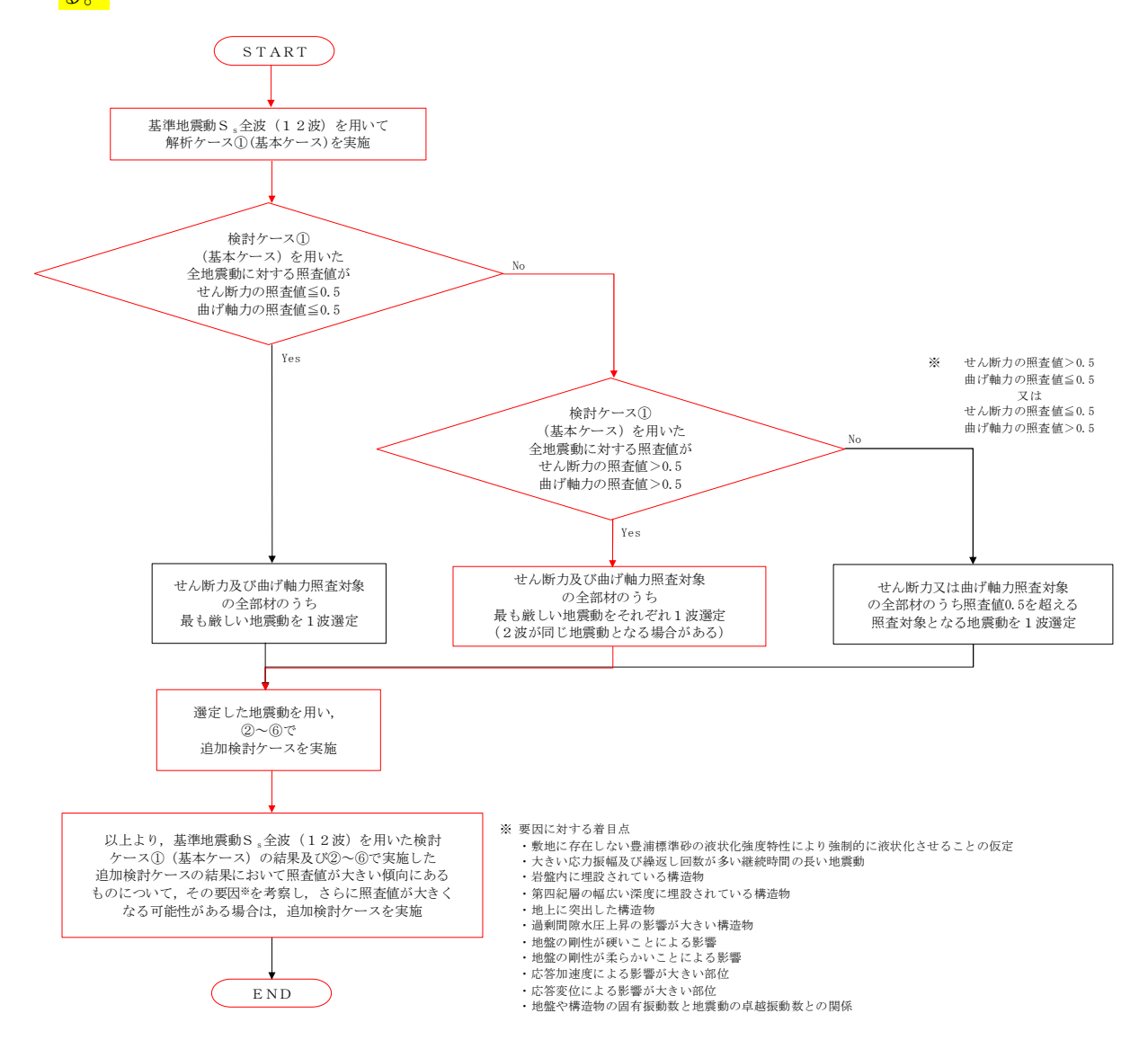


図 2.3-3 地震動選定フロー (南北方向⑤-⑤断面)

(曲げ軸力照査 (コンクリート曲げ圧縮), 南北方向⑤ - ⑤断面) 1/2(底版) (スラブ (B2F, B3F))

	検討ケース		曲げ軸力照査(コンクリート曲げ圧縮)								
地震動			2	3	4	5	6				
	++	0.25	0. 26	0. 26	0.30	0. 25	0. 25				
6 D1	+-	0.25			0.31						
S _s - D 1	-+	0.26	0. 26	0. 27	0.30	0. 26	0. 26				
		0.26	0. 26	0. 27	0. 31	0. 26	0. 26				
S s - 1 1	S _s - 1 1										
S s - 1 2		0.21									
S _s - 1 3		0.21									
S s - 1 4		0.18									
S _s - 2 1		0.24									
S _s - 2 2		0.21	0.21	0. 21	0. 23	0.21	0. 21				
6 9.1	++	0. 26									
S _s - 3 1	-+	0. 25									

#A #	検討ケース		曲げ軸力照査(コンクリート曲げ圧縮)								
地震動		①	2	3	4	5	6				
	++	0.36	0.36	0.36	0. 52	0.36	0.35				
6 D1	+-	0.36			0. 52						
S _s - D 1	-+	0.37	0.38	0.38	0.51	0.37	0.37				
		0.37	0.38	0.38	0. 52	0.37	0.37				
$S_{s} - 11$	S _s - 1 1										
S s - 1 2		0.25									
$S_{s} - 13$		0.25									
S s - 1 4		0.18									
S s - 2 1		0.29									
S s - 2 2		0.26	0.25	0. 26	0.32	0. 26	0.26				
C - 2.1	++	0.35									
S _s - 3 1	-+	0.34									

(スラブ (B1F))

検診	検討ケース		曲げ軸が	J照査 (コン	クリート曲に	ず圧縮)	
地震動		1	2	3	4	5	6
	++	0.35	0.35	0.36	0.49	0.36	0.36
6 D1	+-	0.36			0.49		
S _s - D 1	-+	0.36	0.36	0.37	0.48	0.37	0.36
		0.36	0.37	0.37	0.49	0.37	0.36
S s - 1 1	S _s - 1 1						
S s - 1 2		0.25					
S _s -13		0.25					
S s - 1 4		0.20					
S s - 2 1		0.29					
S s - 2 2		0.28	0.27	0. 28	0.32	0.28	0. 28
S 3 1	++	0.34					
3 ₈ -31	-+	0.34					
		•		,	•	•	•

(地上スラブ)

検診	ナケース		曲げ軸力照査 (コンクリート曲げ圧縮)								
地震動		1	2	3	4	5	6				
	++	0.26	0.26	0. 27	0.35	0. 27	0. 26				
c Di	+-	0.26			0.35						
S _s - D 1	-+	0.29	0. 29	0.30	0.38	0.30	0. 29				
		0.30	0.30	0.30	0.39	0.30	0. 29				
S _s - 1 1		0.16									
S _s -12		0.19									
$S_{s} - 13$		0.19									
$S_{s} - 14$		0.16									
S _s - 2 1		0.26									
$S_{s} - 22$		0.25	0.25	0. 25	0. 25	0. 26	0. 26				
S _s - 3 1	++	0.28									
5 - 5 I	-+	0.25									

(地上梁)

検討	検討ケース		曲げ軸力照査 (コンクリート曲げ圧縮)								
地震動		1	2	3	4	5	6				
	++	0.31	0.31	0.31	0.40	0.31	0.31				
6 D1	+-	0.31			0.39						
S _s - D 1	-+	0.30	0. 29	0.30	0.35	0.29	0.29				
		0.30	0.30	0.30	0.37	0.29	0.29				
S _s - 1 1		0.16									
S _s -12		0.20									
$S_{s} - 13$		0.19									
S _s -14		0.15									
S s - 2 1		0. 28									
S $_{\rm s}-2\ 2$		0. 29	0. 29	0.29	0.31	0.28	0.28				
0 01	++	0.26									
S _s - 3 1	-+	0. 27									

※ 検討ケース

- ①: 原地盤に基づく液状化強度特性を用いた解析ケース(基本ケース)
- ②: 地盤物性のばらつきを考慮 (+1 σ) した解析ケース ③: 地盤物性のばらつきを考慮 (-1 σ) した解析ケース

- ④: 地盤を強制的に液状化させることを収足した肝印// ・⑤: 原地盤において非液状化の条件を仮定した解析ケース⑥: 地盤物性のばらつきを考慮(+1σ)して非液状化の条件を仮定した解析ケース

(曲げ軸力照査(コンクリート曲げ圧縮), 南北方向⑤-⑤断面) 2/2(地中側壁(下部))

(地中側壁(上部))

検診	ナケース		曲げ軸オ	カ照査 (コン	クリート曲に	ず圧縮)	
地震動		1	2	3	4	5	6
	++	0. 26	0. 26	0.26	0.25	0.27	0.27
S D 1	+-	0. 24			0.23		
S _s -D1	-+	0. 22	0. 22	0.22	0.23	0.23	0.23
		0. 23	0. 22	0.23	0.23	0.23	0.23
S s - 1 1	S _s - 1 1						
S s - 1 2		0.24					
S s - 1 3		0. 23					
S s - 1 4		0.20					
S s - 2 1		0. 23					
S s - 2 2		0. 25	0. 25	0.25	0.24	0.25	0.25
c - 2 1	++	0. 23					
S _s - 3 1	-+	0. 26					

検診	ナケース		曲げ軸オ	対照査(コン	クリート曲に	ず圧縮)	
地震動		1	2	3	4	5	6
	++	0. 22	0. 22	0.22	0.26	0.23	0.23
C D1	+-	0. 22			0. 26		
S _s -D 1	-+	0. 22	0. 22	0.23	0.26	0.23	0.23
		0. 23	0. 23	0.23	0.27	0.23	0.23
S s - 1 1	S s - 1 1						
S s - 1 2		0.17					
S _s -13		0.16					
S s - 1 4		0.14					
S s - 2 1		0. 20					
S s - 2 2		0. 21	0. 20	0.21	0.21	0.21	0.21
6 - 2 1	++	0. 22					
S _s - 3 1	-+	0.21					

(地中隔壁(下部))

(地中	冨辟 ((上部))
(10)	게구기 '극'는. ' '	ᄾᄓᄝᅭ	' /

検許	ナケース		曲げ軸力照査(コンクリート曲げ圧縮)							
地震動	/	1	2	3	4	5	6			
	++	0. 32	0.32	0.32	0.47	0.31	0.31			
e _D1	+-	0.32			0.47					
S _s - D 1	-+	0.32	0.32	0.32	0.44	0.32	0.32			
		0.32	0.32	0.32	0.44	0.32	0.32			
S _s - 1 1		0.16								
S _s -12		0. 23								
S _s -13		0. 22								
S _s -14		0.18								
S s - 2 1		0. 25								
S _s - 2 2		0.21	0. 21	0.22	0.27	0.22	0.22			
S 3 1	++	0.31								
5,-31	-+	0.30								

検診	ナケース		曲げ軸オ	力照査(コン	クリート曲に	ず圧縮)	
地震動		1	2	3	4	5	6
	++	0. 25	0. 25	0.26	0.35	0.26	0.26
e -D1	+-	0. 25			0.35		
S s - D 1	-+	0. 27	0. 27	0.27	0.35	0.28	0.27
		0. 27	0. 27	0.27	0.36	0.28	0.27
S s - 1 1		0.12					
S s - 1 2		0.18					
$S_{s} - 13$		0.17					
S s - 1 4		0.13					
S s - 2 1		0. 21					
S _s -22		0. 21	0. 20	0.22	0.22	0.22	0.22
6 - 2 1	++	0. 25					
S _s - 3 1	-+	0.24					

(地上側壁)

(地上隔壁)

検討	ナケース	曲げ軸力照査(コンクリート曲げ圧縮)						
地震動	地震動		2	3	4	5	6	
	++	0.17	0.16	0.16	0.20	0.16	0.16	
e -D1	+-	0.17			0.20			
S _s - D 1	-+	0.16	0.16	0.16	0.18	0.16	0.16	
		0.16	0.16	0.16	0.18	0.15	0.16	
S _s - 1 1	S _s - 1 1							
S s - 1 2		0.10						
S s - 1 3		0.10						
S s - 1 4		0.08						
S s - 2 1		0.16						
S s - 2 2	S _s - 2 2		0.17	0.17	0.17	0.17	0.17	
S 3 1	++	0.14						
3,-31	-+	0.14						

~							
検討	ナケース		曲げ軸オ	7照査(コン	クリート曲に	げ圧縮)	
地震動		1	2	3	4	5	6
	++	0. 19	0. 19	0.19	0.25	0.19	0.19
C D1	+-	0. 19			0.25		
S _s - D 1	-+	0. 21	0. 21	0.21	0.26	0.20	0.20
		0. 21	0. 21	0.21	0.26	0.20	0.20
S s - 1 1		0.10					
S s - 1 2		0.11					
S s - 1 3		0.12					
S s - 1 4		0.08					
S s - 2 1		0.19					
S s - 2 2		0. 19	0. 18	0.19	0.18	0.19	0.19
C 2.1	++	0.17					
S _s - 3 1	-+	0.16					

※ 検討ケース

- ①: 原地盤に基づく液状化強度特性を用いた解析ケース(基本ケース)
 ②: 地盤物性のばらつきを考慮(+1σ)した解析ケース
 ③: 地盤物性のばらつきを考慮(-1σ)した解析ケース
 ⑥: 地盤物性のばらつきを考慮(+1σ)して非液状化の条件を仮定した解析ケース
 ⑥: 地盤物性のばらつきを考慮(+1σ)して非液状化の条件を仮定した解析ケース

(曲げ軸力照査(鉄筋曲げ引張),南北方向⑤-⑤断面)

(底版)

(スラブ (B2F, B3F))

検許	ナケース		曲に	『軸力照査 (鉄筋曲げ引き	脹)	
地震動		1	2	3	4	5	6
	++	0. 25	0. 28	0.27	0.38	0.24	0.26
e -D1	+-	0. 28			0.37		
S s - D 1	-+	0. 28	0. 27	0.28	0.41	0.30	0.28
		0. 27	0. 28	0.27	0.40	0.29	0.27
S _s - 1 1	S _s - 1 1						
S s - 1 2		0.18					
S _s - 1 3		0.17					
S s - 1 4		0.13					
S s - 2 1	S _s -21						
S s - 2 2	S s - 2 2		0. 18	0.20	0.22	0.18	0.18
6 21	++	0. 29					
S _s - 3 1	-+	0. 23					

検診	ケース		曲に	げ軸力照査(鉄筋曲げ引き	長)	
地震動		1	2	3	4	5	6
	++	0.42	0.43	0.42	0.73	0.42	0.40
S _s -D 1	+-	0.41			0.71		
S _s -D1	-+	0.44	0.44	0.46	0.70	0.44	0.44
	-	0.43	0.43	0.44	0.68	0.43	0.43
S s - 1 1		0.09					
S s - 1 2		0. 23					
S _s -13		0. 22					
S _s -14		0.12					
$S_{s} - 21$		0.30					
S s - 2 2		0. 27	0. 27	0.27	0.37	0.26	0.26
6 - 2 1	++	0.40					
S _s - 3 1	-+	0.38					

(スラブ (B1F))

(批)	レフ	=	-11
(T3Y)	ヒス	フ	'/

	ナケース	曲げ軸力照査(鉄筋曲げ引張)							
地震動		①	2	3	4	5	6		
	++	0.45	0.45	0.46	0.69	0.49	0.47		
S _s - D 1	+-	0.45			0.68				
3,-01	-+	0.44	0.45	0.45	0.66	0.45	0.45		
		0.44	0.44	0.45	0.65	0.45	0.44		
S _s - 1 1		0.14							
S _s -12		0.31							
S _s -13		0. 29							
S s - 1 4		0.20							
S s - 2 1		0.35							
S s - 2 2		0.34	0.33	0.35	0.39	0.35	0.35		
6 - 2 1	++	0.41							
S _s - 3 1	-+	0.44							

検討	ナケース		曲に	げ軸力照査(鉄筋曲げ引き	長)	
地震動		1	2	3	4	5	6
	++	0.43					
6 D1	+-	0.44					
$S_s - D1$	-+	0.53					
		0.53	0.53	0.54	0.72	0.53	0.53
$S_{s} - 11$		0.26					
$S_{s} - 12$		0.30					
$S_{s} - 13$		0.30					
$S_{s} - 14$		0.25					
$S_{s} - 21$		0.45					
S s - 2 2		0.44					
S 3 1	++	0.49					
3 s - 3 I	-+	0.40					

(地上梁)

検診	ナケース		曲げ軸力照査(鉄筋曲げ引張)						
地震動	地震動		2	3	4	5	6		
	++	0.45	0.45	0.45	0.58	0.45	0.44		
S D 1	+-	0.45			0.57				
S _s -D1	-+	0.40	0.41	0.41	0.51	0.40	0.39		
		0.40	0.41	0.41	0.52	0.40	0.39		
S _s - 1 1		0.23							
S _s -12		0.28							
$S_{s} - 13$		0.26							
S _s -14		0.20							
$S_{s} - 21$		0.41							
S _s - 2 2		0.41	0.41	0.42	0.44	0.41	0.41		
S 3 1	++	0.35							
3,-31	-+	0.39							

※ 検討ケース

- ①: 原地盤に基づく液状化強度特性を用いた解析ケース(基本ケース)
 ②: 地盤物性のばらつきを考慮(+1σ)した解析ケース
 ③: 地盤物性のばらつきを考慮(-1σ)した解析ケース
 ⑥: 地盤物性のばらつきを考慮(+1σ)して非液状化の条件を仮定した解析ケース
 ⑥: 地盤物性のばらつきを考慮(+1σ)して非液状化の条件を仮定した解析ケース

(曲げ軸力照査(鉄筋曲げ引張),南北方向⑤-⑤断面)

(地中側壁(下部))

(地中側壁(上部))

検診	ナケース		曲に	げ軸力照査 (鉄筋曲げ引き	脹)	
地震動		1	2	3	4	5	6
++		0. 27	0. 28	0.27	0.47	0.25	0.24
e -D1	+-	0. 28			0.44		
S _s - D 1	-+	0. 22	0. 22	0.21	0.39	0.18	0.18
		0. 22	0. 23	0.22	0.36	0.18	0.18
S s - 1 1	S _s - 1 1						
S s - 1 2		0.15					
S s - 1 3		0.15					
S s - 1 4		0.09					
S s - 2 1	S s - 2 1						
S _s - 2 2		0.14	0.14	0.15	0.21	0.15	0.14
c - 2 1	++	0.17					
S _s - 3 1	-+	0.24					

検討	ナケース		曲に	げ軸力照査(鉄筋曲げ引き	長)	
地震動		1	2	3	4	5	6
	++	0.32	0.32	0.33	0.38	0.34	0.34
S , -D1	+-	0.32			0.38		
S _s -D1	-+	0. 29	0. 29	0.29	0.37	0.29	0.28
		0. 29	0. 29	0.29	0.36	0.28	0.27
S _s - 1 1		0.16					
S _s -12		0. 23					
S _s -13		0. 22					
S _s -14		0.18					
S s - 2 1		0. 29					
S s - 2 2		0. 29	0. 29	0.30	0.30	0.30	0.29
6 - 2 1	++	0. 28					
S _s - 3 1	-+	0.31					

(地中隔壁(下部))

/ 1 -1	1	→ → t.	,		
(批)	中以	品ि	(上部))	

検許	ナケース		曲に	げ軸力照査(鉄筋曲げ引き	長)	
地震動		1	2	3	4	5	6
	++	0. 21	0. 22	0.22	0.52	0. 22	0.21
C D1	+-	0. 21			0.49		
S _s - D 1	-+	0. 23	0. 23	0.24	0.43	0.24	0.23
		0. 21	0. 21	0.22	0.40	0.23	0.22
S s - 1 1	S _s - 1 1						
S s - 1 2		0.08					
S s - 1 3		0.07					
S s - 1 4		0.02					
S s - 2 1	S s - 2 1						
S s - 2 2	$S_s - 22$		0.10	0.12	0.15	0.12	0.12
S _s - 3 1	++	0.19					
3 s - 3 1	-+	0.18					

検診	ナケース		曲に	げ軸力照査(鉄筋曲げ引き	長)	
地震動	地震動		2	3	4	5	6
	++	0. 29	0. 29	0.30	0.47	0.31	0.30
S _s -D 1	+-	0. 29			0.45		
S _s -DI	-+	0.32	0.32	0.33	0.47	0.33	0.32
		0.31	0.31	0.32	0.46	0.33	0.32
S _s - 1 1		0.08					
S _s -12		0.16					
$S_{s} - 13$		0.15					
S _s -14		0.10					
S _s - 2 1		0. 21					
S _s - 2 2		0.21	0.21	0.22	0.23	0.22	0.22
++		0. 29					
S _s - 3 1	-+	0. 27					

(地上側壁)

(地上隔壁)

検診	ナケース		曲に	げ軸力照査(鉄筋曲げ引き	振)	
地震動		1	2	3	4	5	6
	++	0. 20	0. 20	0.20	0.26	0.20	0.19
e -D1	+-	0.20			0.26		
S _s - D 1	-+	0. 19	0. 19	0.19	0.23	0.19	0.19
		0.19	0.19	0.19	0.22	0.19	0.19
S s - 1 1	S _s - 1 1						
S s - 1 2		0.09					
$S_{s} - 13$		0.08					
S _s -14		0.05					
S s - 2 1	$S_s - 21$						
S s - 2 2	$S_s - 22$		0. 22	0.22	0.21	0.22	0.22
S 3 1	++	0.17					
S _s -31	-+	0.16					

_							
検計	ナケース		曲に	げ軸力照査 (鉄筋曲げ引き	脹)	
地震動		1	2	3	4	5	6
	++	0.30	0.30	0.30	0.43	0.30	0.29
S D 1	+-	0.30			0.41		
S _s -DI	-+	0.33	0.33	0.33	0.43	0.32	0.31
		0.33	0.33	0.33	0.43	0.32	0.31
S s - 1 1	S _s -11						
S s - 1 2		0.13					
S s - 1 3		0.14					
S s - 1 4		0.09					
S s - 2 1	S _s -21						
S s - 2 2		0. 28	0. 27	0.29	0.28	0.29	0.29
6 21	++	0. 26					
S _s - 3 1	-+	0. 23					

※ 検討ケース

- ①: 原地盤に基づく液状化強度特性を用いた解析ケース (基本ケース) ②: 地盤を強制的に液状化させることを仮定した解析ケース ②: 地盤物性のばらつきを考慮(+ 1 σ)した解析ケース ③: 地盤物性のばらつきを考慮(+1 σ)した解析ケース ⑥: 原地盤において非液状化の条件を仮定した解析ケース ⑥: 地盤物性のばらつきを考慮(+1 σ)して非液状化の条

- ⑥: 地盤物性のばらつきを考慮($+1\sigma$)して非液状化の条件を仮定した解析ケース

曲げ軸力照査(鉄筋曲げ引張)結果は、検討ケース①(基本ケース)の最大照査値は、地上スラ ブ, $S_s - D1$ (-+) 及び $S_s - D1$ (--) で 0.53 である。

(せん断力照査,南北方向⑤-⑤断面) 1/2

(底版)

(スラブ (B2F, B3F))

検診 検診	寸ケース			せん断	力照査		
地震動		1	2	3	4	5	6
	++	0.38	0.39	0.38	0.45	0.38	0.38
6 D1	+-	0.39			0.47		
S _s - D 1	-+	0.41	0.41	0.41	0.48	0.41	0.41
		0.42	0.42	0.42	0.51	0.41	0.41
S _s - 1 1	S _s - 1 1						
S s - 1 2		0.36					
S _s - 1 3		0.36					
S _s - 1 4		0.34					
S s - 2 1	S _s -21						
S s - 2 2	S s - 2 2		0.38	0.38	0.38	0.37	0.37
6 21	++	0.41					
S _s - 3 1	-+	0.37					

· · · · · · · · · · · · · · · · · · ·	ナケース		せん断力照査							
地震動		①	2	3	4	5	6			
	++	0.48	0.48	0.47	0.68	0.48	0.47			
e D1	+-	0.48			0.68					
S _s - D 1	-+	0.50	0.50	0.50	0.68	0.50	0.49			
		0.49	0.50	0.50	0.68	0.50	0.49			
S _s - 1 1		0. 23								
$S_{s} - 12$		0.36								
$S_{s} - 13$		0.35								
$S_{s} - 14$		0. 26								
S _s - 2 1		0.40								
S _s - 2 2		0.36	0.36	0.36	0.44	0.36	0.36			
6 21	++	0.47								
$S_{s} - 31$	-+	0.46								

(スラブ (B1F))

(抽)	レフ	=	71)
(Tally	ト ム	\neg	/)

検診	ナケース		せん断力照査							
地震動		1	2	3	4	5	6			
	++	0.51	0.51	0.52	0.61	0.54	0.54			
S , - D 1	+-	0.53			0.63					
S _s -D1	-+	0.47	0.47	0.47	0.60	0.47	0.47			
		0.48	0.48	0.48	0.62	0.47	0.47			
S _s - 1 1	S _s - 1 1									
S _s -12		0.41								
$S_{s} - 13$		0.41								
$S_{s} - 14$		0.35								
S _s - 2 1	S _s - 2 1									
$S_s - 22$		0.47	0.47	0.47	0.49	0.47	0.47			
S _s - 3 1	++	0.45								
3 _s - 3 1	-+	0.52								

検診	ナケース			せん断	力照査		
地震動		1	2	3	4	5	6
	++	0.41	0.41	0.42	0.51	0.42	0.42
S D 1	+-	0.42			0.53		
S _s -D1	-+	0.45	0.45	0.46	0.55	0.45	0.45
		0.46	0.46	0.46	0.57	0.46	0.45
S s - 1 1	$S_{s} - 11$						
S s - 1 2		0.34					
S _s -13		0.34					
S s - 1 4		0. 29					
S s - 2 1		0.41					
$S_{s} - 22$		0.41	0.40	0.41	0.41	0.42	0.42
6 21	++	0.43					
S _s - 3 1	-+	0.40					

(地上梁)

***	ナース			せん断	力照査		
地震動		①	2	3	(4)	5	6
	++	0. 35	0. 35	0.35	0.43	0.36	0.35
	+-	0.36			0.44		
S _s - D 1	-+	0.36	0.36	0.36	0.41	0.36	0.36
		0.37	0.36	0.36	0.44	0.36	0.35
S _s - 1 1		0. 23					
S s - 1 2		0. 26					
S s - 1 3		0. 27					
S s - 1 4		0. 22					
S _s - 2 1		0.35					
S s - 2 2		0.35	0.34	0.35	0.35	0.36	0.36
6 - 2 1	++						
S s - 3 1	-+	0.33					

※ 検討ケース

- ①: 原地盤に基づく液状化強度特性を用いた解析ケース (基本ケース) ②: 地盤を強制的に液状化させることを仮定した解析ケース ②: 地盤物性のばらつきを考慮(+ $1\,\sigma$)した解析ケース ③: 地盤物性のばらつきを考慮($-1\,\sigma$)した解析ケース ⑤: 原地盤において非液状化の条件を仮定した解析ケース ⑥: 地盤物性のばらつきを考慮($+1\,\sigma$)して非液状化の条

- ⑥: 地盤物性のばらつきを考慮($+1\sigma$)して非液状化の条件を仮定した解析ケース

(せん断力照査, 南北方向⑤-⑤断面)

(地中側壁(下部))

(地中側壁(上部))

検討	ナケース			せん断	力照査		
地震動		1	2	3	4	5	6
	++	0.55	0.54	0.55	0.59	0.56	0. 57
e -D1	+-	0.47			0.60		
S _s - D 1	-+	0.48	0.49	0.47	0.57	0.50	0.50
			0.50	0.47	0.59	0.48	0.48
$S_{s} - 11$	$S_s - 11$						
$S_{s} - 12$		0.50					
$S_{s} - 13$		0.48					
$S_{s} - 14$		0.42					
S s - 2 1		0.48					
$S_s - 22$		0. 55	0. 55	0.55	0.55	0.55	0. 55
6 21	++						
S _s - 3 1	-+	0.50					

検診	ナケース			せん断	力照査		
地震動		1	2	3	4	5	6
	++	0.36	0.36	0.37	0.48	0.42	0.41
e _D1	+-	0.37			0.49		
$S_s - D1$	-+	0.39	0.39	0.40	0.50	0.43	0.43
			0.40	0.40	0.52	0.44	0.44
S _s - 1 1		0. 21					
S s - 1 2		0.30					
S _s -13		0.30					
S _s -14		0.24					
S _s - 2 1		0.36					
S _s -22		0.34	0.33	0.35	0.37	0.36	0.36
6 21	++	0.41					
S s - 3 1	-+	0.40					

(地中隔壁(下部))

(地中隔壁(上部))

	寸ケース			せん断	力照査		
地震動	/	1	2	3	4	5	6
	++	0.49	0.50	0.49	0.72	0.49	0.49
S , - D 1	+-	0.50			0.72		
S _s -DI	-+	0.50	0.50	0.51	0.69	0.51	0.51
		0.50	0.50	0.51	0.69	0.50	0.51
$S_{s} - 11$		0. 20					
S $_{\rm s}-1$ 2		0.36					
$S_s - 13$		0.35					
$S_{s} - 14$		0. 25					
$S_{s} - 21$		0.40					
S _s - 2 2		0.33	0.33	0.33	0.43	0.33	0.32
++		0.49					
S _s - 3 1	-+	0.48					

検診	ナケース			せん断	力照査		
地震動		1	2	3	4	5	6
	++	0.48	0.48	0.49	0.64	0.51	0.50
S _s -D 1	+-	0.48			0.64		
	-+	0.49	0.48	0.49	0.64	0.50	0.49
		0.48	0.48	0.49	0.65	0.50	0.49
S _s - 1 1		0.21					
S _s -12		0.33					
S _s -13		0.31					
S _s -14		0.24					
S _s - 2 1		0.40					
$S_{s} - 22$		0.40	0.39	0.40	0.41	0.40	0.41
++		0.45					
S _s -31	-+	0.46					

(地上側壁)

(地上隔壁)

検許	ナース			せん断	力照査		
地震動		1	2	3	4	5	6
	++	0.15	0. 15	0.15	0.19	0.15	0.15
S , - D 1	+-	0.15			0.19		
S _s -D1	-+	0.14	0.14	0.14	0.17	0.14	0.13
		0.14	0.13	0.14	0.17	0.13	0.13
S _s - 1 1		0.07					
S _s -12	$S_{s} - 12$						
S _s -13		0.09					
$S_{s} - 14$		0.07					
S s - 2 1		0.14					
S $_{\rm s}-2\ 2$		0.15	0.15	0.15	0.15	0.15	0.15
6 - 2 1	S 3 1 ++						
3,-31	-+	0.14					

~							
検許	ナケース			せん断	力照査		
地震動		1	2	3	4	5	6
	++	0. 20	0. 20	0.21	0.27	0.21	0.20
s _D1	+-	0. 21			0.27		
S _s - D 1	-+	0. 22	0. 22	0.22	0.27	0.22	0.21
			0. 22	0.22	0.28	0.22	0.21
S _s - 1 1		0.10					
S s - 1 2		0.12					
S s - 1 3		0.12					
S s - 1 4		0.08					
S _s - 2 1		0. 20					
S s - 2 2		0. 20	0.19	0.20	0.19	0.20	0.20
6 - 2 1	++	0.19					
S _s - 3 1	-+	0.18					

※ 検討ケース

- ①: 原地盤に基づく液状化強度特性を用いた解析ケース(基本ケース) ④: 地盤を強制的に液状化させることを仮定した解析ケース
- ②: 地盤物性のばらつきを考慮 (+1 g) した解析ケース
- ③: 地盤物性のばらつきを考慮(-1σ)した解析ケース
- ⑤: 原地盤において非液状化の条件を仮定した解析ケース
- ⑥: 地盤物性のばらつきを考慮($+1\sigma$)して非液状化の条件を仮定した解析ケース

せん断力照査結果は、検討ケース①(基本ケース)の最大照査値は、地中側壁(下部)、S_s-D 1 (++) 及び $S_s - 22$ で 0.55 である。

以上より、検討ケース①(基本ケース)において、曲げ軸力に対する最大照査値が 0.53、せん断 力照査に対する最大照査値が 0.55 であり、曲げ軸力対象の全部材及びせん断力照査対象の全部材の うち、それぞれ最も厳しい照査値となった地震動は $S_s - D1$ (++)、 $S_s - D1$ (-+)、 $S_s - D1$ (-+) D1 (--) 及び S_s-22 である。

南北方向⑤一⑤断面の構造物は、地上部と地中部で構成された構造物であり、第四紀層の幅広い深度に埋設されていることから、敷地に存在しない豊浦標準砂の液状化強度特性により強制的に液状化させることを仮定した場合の追加検討ケース④で照査値が大きくなる傾向にある。また、大きい応力振幅で繰返し回数が多く、継続時間の長い S_s-D1 で照査値が大きくなる傾向にある。なお、 S_s-22 は、地震の固有周期が要因となっている可能性がある。

また、検討ケース① (基本ケース) において、スラブ (B1F) のせん断力照査に対する最大照査値 が S_s – D 1 (+-) にて 0.53 であることから、検討ケース④、 S_s – D 1 (+-) を追加で選定する。

2.4 常設代替高圧電源装置用カルバート (トンネル部)

2.4.1 照査位置及び仕様

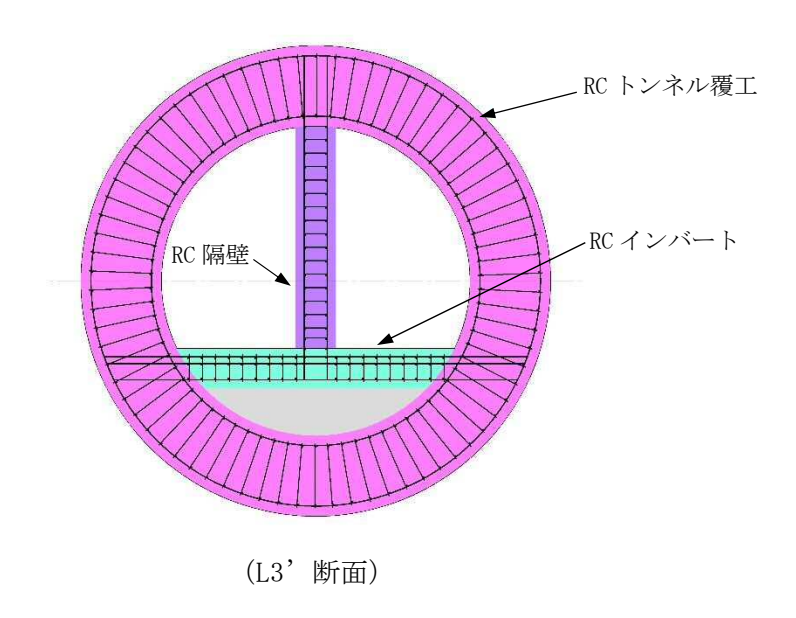


図 2. 4-1 常設代替高圧電源装置用カルバート(トンネル部)の照査位置図

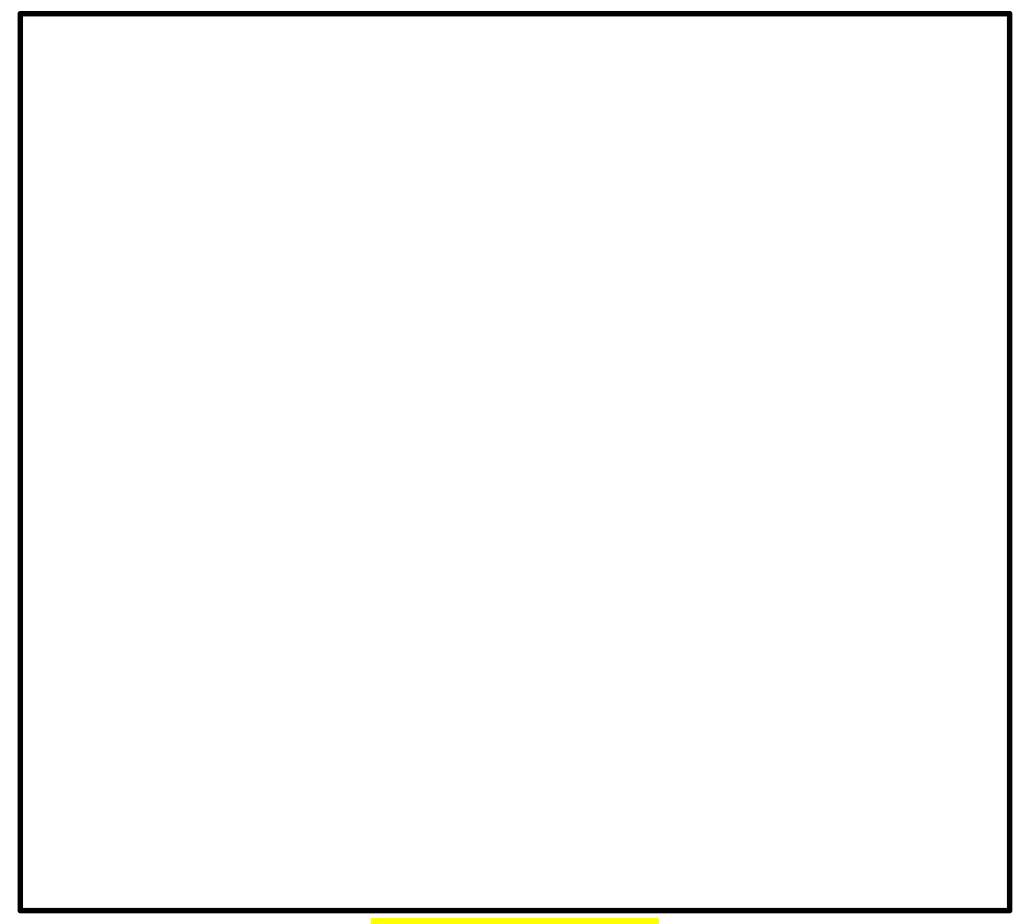


図 2.4-2 概略配筋図

表 2.4-1 断面諸元一覧表 (曲げ軸力に対する評価)

			断面	性状		主鉄筋(外側・上側)			主鉄筋(内側・下側)						
部位	材料No.	部材幅	部材高	かぶり	有効高さ	鉄筋種別	径	段数	鉄筋間隔	鉄筋量	鉄筋種別	径	段数	鉄筋間隔	鉄筋量
		b (m)	h (m)	d'(m)	d (m)	(-)	(mm)	(-)	(mm)	(mm^2)	(-)	(mm)	(-)	(mm)	(mm^2)
RC トンネル覆工	M1	1.000	1.200	0.150	1.050	SD490	25	1	150	3378	SD490	29	1	150	4283
RC 隔壁	M2	1.000	0.600	0.130	0.470	SD490	25	1	150	3378	SD490	25	1	150	3378
RC インバート	МЗ	1.000	0.600	0.130 (0.180)			22	2	150	5161	SD490	25	1	150	3378

^{*()}内は2段鉄筋側

表 2.4-2 断面諸元一覧表(せん断力に対する評価)

			断面	性状			せ	ん断補強	跌筋	
部位 材料No.	材料No.	部材幅	部材高	かぶり	有効高さ	鉄筋種別	径	Sb	Ss	鉄筋量
		b (m)	h (m)	d'(m)	d (m)	(-)	(mm)	(mm)	(mm)	(mm^2)
RC トンネル覆工	M1	1.000	1.200	0.150	1.050	SD345	22	300	300	1290
RC 隔壁	M2	1.000	0.600	0.130	0.470	SD345	13	300	200	422
RC インバート	МЗ	1.000	0.600	0.130 (0.180)	I	511375	25	300	200	1689

^{*()}内は2段鉄筋側

2.4.2 評価結果

(1) L3' 断面

L3' 断面の地震動選定フローを図 2.4-3 に示す。

検討ケース①(基本ケース)において、曲げ軸力照査値が 0.50 以下、せん断力照査値が 0.50 より大きいことから、せん断力照査対象の全部材のうち最も厳しい照査値となった地震動を選定する。

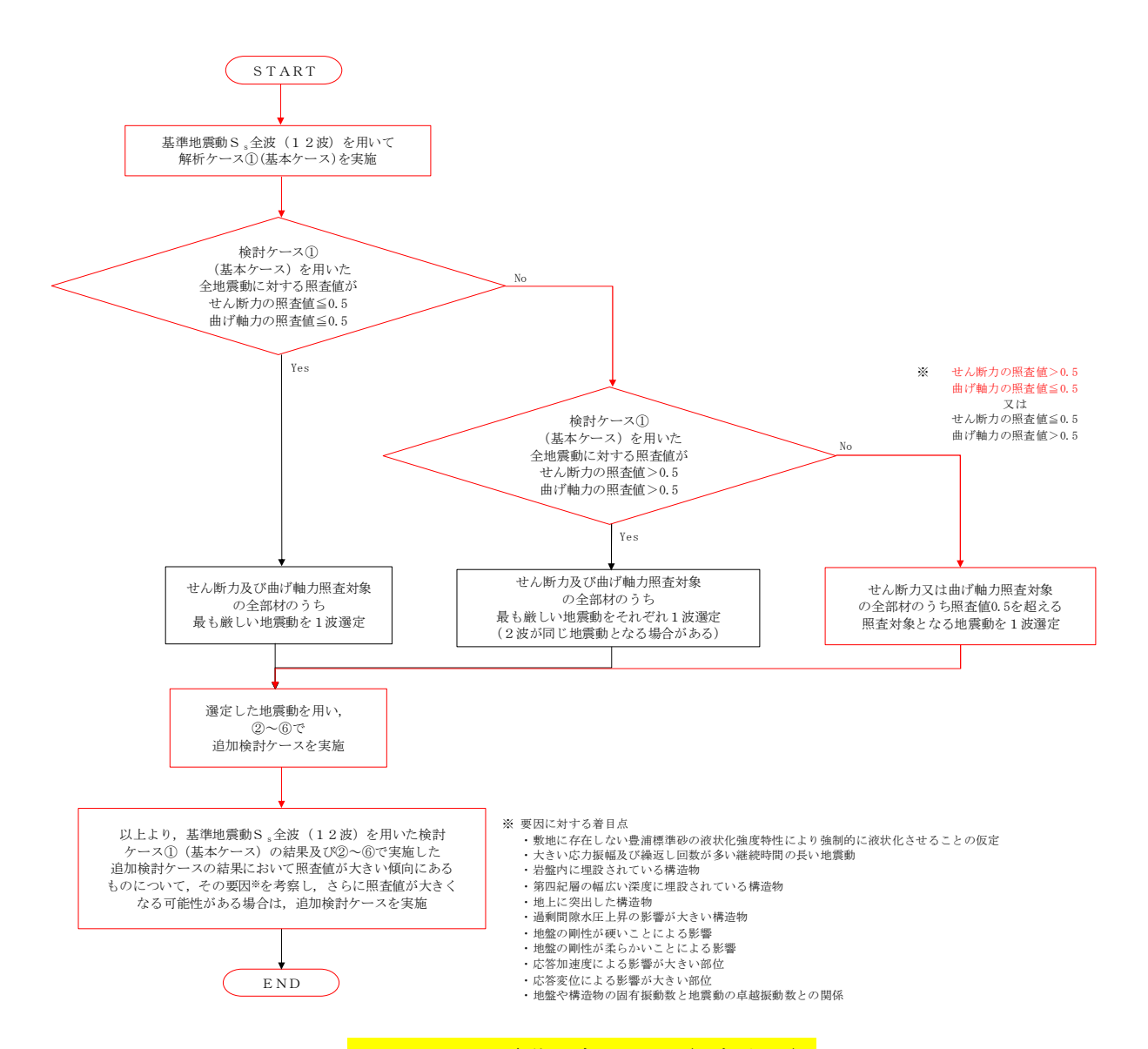


図 2.4-3 地震動選定フロー (L3' 断面)

(曲げ軸力照査 (コンクリート曲げ圧縮), L3' 断面)

(RCトンネル覆工)

(RC隔壁)

検診	ナケース		曲げ軸が	7照査(コン	クリート曲に	ず圧縮)	
地震動		1	2	3	4	5	6
	++	0.29					
6 D1	+-	0.29					
S _s - D 1	-+	0.28					
		0.28					
S _s - 1 1		0.19					
S s - 1 2		0.22					
S _s - 1 3		0.21					
S s - 1 4		0.19					
S s - 2 1		0.20					
$S_{s} - 22$		0.22					
c - 2 1	++	0.33	0.34	0.32	0.19	0.31	0.32
S _s - 3 1	-+	0.34					

検診	ナケース		曲げ軸が	7照査(コン	クリート曲に	ቻ圧縮)	
地震動		1	2	3	4	5	6
	++	0.31					
C D1	+-	0.31					
S _s - D 1	-+	0.32					
S s - 1 1	$S_{s} - 11$						
S s - 1 2		0.21					
$S_{s} - 13$		0.21					
S s - 1 4		0.19					
S s - 2 1		0.21					
S _s - 2 2		0.22					
6 21	++	0.38	0.39	0.36	0.20	0.35	0.36
S _s - 3 1	-+	0.39					

(RCインバート)

検診	ナケース		曲げ軸が	7照査(コン	クリート曲に	ず圧縮)	
地震動		1	2	3	4	5	6
	++	0.39					
e -D1	+-	0.36					
S _s - D 1	-+	0.41					
		0.40					
S _s - 1 1		0.31					
S s - 1 2		0.34					
S _s - 1 3		0.34					
S s - 1 4		0.32					
S s - 2 1		0.33					
S s - 2 2		0.34					
6 - 21	++	0.42	0.43	0.41	0.33	0.41	0.41
S _s - 3 1	-+	0.40					

※ 検討ケース

- ①: 原地盤に基づく液状化強度特性を用いた解析ケース(基本ケース)
- ②: 地盤物性のばらつきを考慮($+1\sigma$)した解析ケース
- ③: 地盤物性のばらつきを考慮 (-1 σ) した解析ケース
- ④: 地盤を強制的に液状化させることを仮定した解析ケース
- ⑤: 原地盤において非液状化の条件を仮定した解析ケース
- ⑥: 地盤物性のばらつきを考慮($+1\sigma$)して非液状化の条件を仮定した解析ケース

(曲げ軸力照査(鉄筋曲げ引張), L3' 断面)

(RCトンネル覆工)

(R C 隔壁)

検診	ナケース		曲に	げ軸力照査 (鉄筋曲げ引き	長)	
地震動	地震動		2	3	4	5	6
	++	0. 20					
e -D1	+-	0. 22					
S _s - D 1	-+	0. 22					
		0. 23					
S _s - 1 1	S _s - 1 1						
S s - 1 2		0.08					
S _s - 1 3		0.08					
S s - 1 4		0.08					
S s - 2 1	S _s - 2 1						
S s - 2 2		0.10					
6 - 21	++	0. 27	0. 29	0.25	0.09	0.24	0.25
S _s - 3 1	-+	0. 28					

検訴	ナース		曲に	ず軸力照査(鉄筋曲げ引き	長)	
地震動		1	2	3	4	5	6
	++	0.09					
S , - D 1	+-	0.11					
S _s -D1	-+	0.07					
		0.08					
S _s - 1 1		0.00					
$S_{s} - 12$		0.02					
$S_{s} - 13$		0.02					
$S_{s} - 14$		0.01					
$S_{s} - 21$	S s - 2 1						
S s - 2 2		0.01					
6 - 2 1	++	0.14	0.15	0.12	0.00	0.11	0.12
S _s - 3 1	-+	0.16					

(RCインバート)

検診	ナケース		曲に	げ軸力照査(鉄筋曲げ引き	脹)	
地震動		1	2	3	4	5	6
	++	0.32					
6 D1	+-	0.31					
S _s - D 1	-+	0.35					
		0.35					
S s - 1 1	-	0. 25					
$S_{s} - 12$		0. 29					
$S_{s} - 13$		0. 29					
S s - 1 4		0. 27					
$S_s - 21$	S s - 2 1						
$S_s - 22$		0. 28					
C - 2.1	++	0.34	0.35	0.34	0. 28	0.34	0.34
S _s - 3 1	-+	0.31					

※ 検討ケース

- ①: 原地盤に基づく液状化強度特性を用いた解析ケース(基本ケース)
- ②: 地盤物性のばらつきを考慮(+ 1 σ)した解析ケース
- ③: 地盤物性のばらつきを考慮 (-1 σ) した解析ケース
- ④: 地盤を強制的に液状化させることを仮定した解析ケース
- ⑤: 原地盤において非液状化の条件を仮定した解析ケース
- ⑥: 地盤物性のばらつきを考慮(+ 1σ)して非液状化の条件を仮定した解析ケース

曲げ軸力照査(鉄筋曲げ引張)結果は、検討ケース①(基本ケース)の全ての照査値が 0.50 以下である(最大照査値は、R C インバート、S $_{\rm s}$ - D 1 (-+) 及び S $_{\rm s}$ - D 1 (--) で 0.35)。

(せん断力照査, L3' 断面)

(RCトンネル覆工)

(RC隔壁)

検討	ナケース	せん断力照査							
地震動		1	2	3	4	5	6		
	++	0. 57							
S , - D 1	+-	0.53							
3 _s -D1	-+	0.60							
		0.59							
S _s - 1 1	S _s - 1 1								
$S_{s} - 12$		0.48							
$S_{s} - 13$		0.48							
$S_{s} - 14$		0.45							
S s - 2 1	S _s - 21								
S _s - 2 2		0.50							
S _s - 3 1	++	0.64	0.65	0.63	0.47	0.62	0.63		
	-+	0.62							

検許	ナケース			せん断	力照査		
地震動		1)	2	3	4	5	6
	++	0.31					
c D1	+-	0.31					
S _s - D 1	-+	0.32					
		0.31					
S _s - 1 1		0.17					
$S_{s} - 12$	S _s - 1 2						
$S_{s} - 13$		0.20					
S _s - 1 4		0.19					
S s - 2 1		0.20					
S s - 2 2		0.21					
6 - 21	++	0.37	0.38	0.35	0.21	0.34	0.35
S _s - 3 1	-+	0.37					

(RCインバート)

検診	ナケース			せん断	力照査		
地震動		1	2	3	4	5	6
	++	0. 28					
s -D1	+-	0. 26					
S _s - D 1	-+	0. 29					
		0. 28					
S _s - 1 1	S _s - 1 1						
S s - 1 2		0. 25					
S _s - 1 3		0. 25					
S s - 1 4		0. 24					
S s - 2 1		0. 24					
S s - 2 2		0. 25					
c - 2.1	++	0. 28	0.28	0.28	0.24	0. 28	0. 28
S _s - 3 1	-+	0. 26					

※ 検討ケース

- ①: 原地盤に基づく液状化強度特性を用いた解析ケース(基本ケース)
- ②: 地盤物性のばらつきを考慮(+ 1 σ)した解析ケース
- ③: 地盤物性のばらつきを考慮(-1σ)した解析ケース
- ④: 地盤を強制的に液状化させることを仮定した解析ケース
- ⑤: 原地盤において非液状化の条件を仮定した解析ケース
- ⑥: 地盤物性のばらつきを考慮 $(+1\sigma)$ して非液状化の条件を仮定した解析ケース

せん断力照査結果は、検討ケース①(基本ケース)の最大照査値は、RCトンネル覆工、S_s-31 (++) で 0.64 である。

以上より、検討ケース①(基本ケース)において、曲げ軸力照査に対する全ての照査値が 0.50 以下、せん断力照査に対する最大照査値が 0.64 であり、せん断力照査対象の全部材のうち最も厳しい照査値となった地震動は S_s-3 1 (++) である。

L 3 所面の構造物は、岩盤内に埋設されている構造物であり、第四紀層の地盤変状による影響は少ない構造物である。また、第四紀層の剛性が高い場合に部材にとって厳しくなる傾向があることから、継続時間が短く第四紀層の剛性低下の影響が少ない S_s-31 で照査値が大きくなると考えられる。

よって、さらなる追加検討ケースは必要ない。

2.5 常設代替高圧電源装置用カルバート (立坑部) (追而)

2.6 常設代替高圧電源装置用カルバート(カルバート部)

2.6.1 照査位置及び仕様

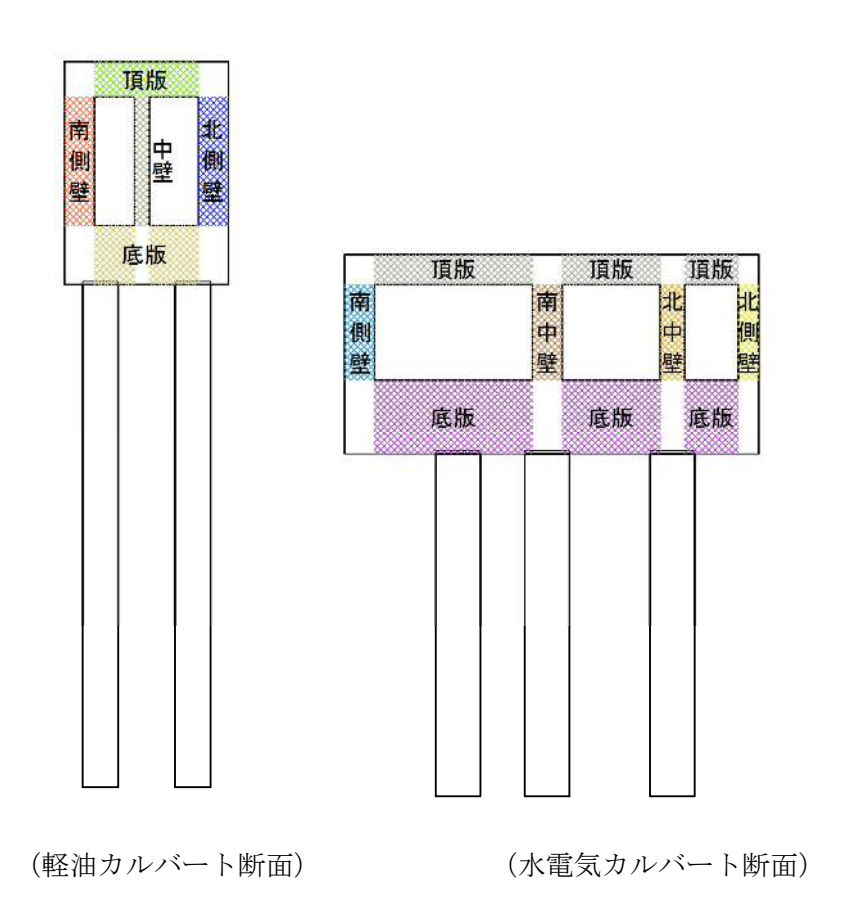
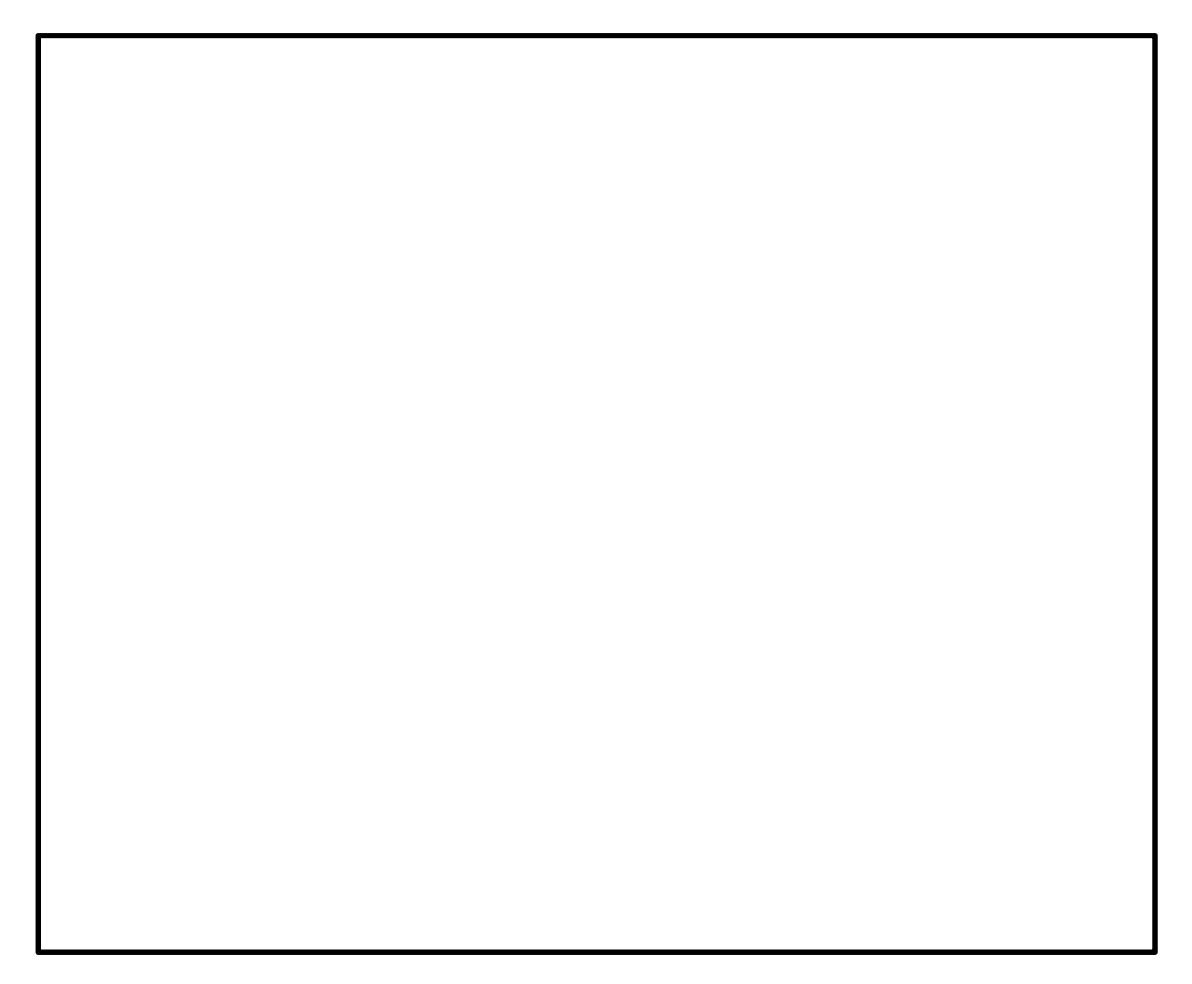


図 2.6-1 常設代替高圧電源装置用カルバート (カルバート部) の照査位置図



(軽油カルバート断面) (水電気カルバート断面)

図 2.6-2 概略配筋図 (主筋)



(軽油カルバート断面) (水電気カルバート断面)

図 2.6-3 概略配筋図(せん断補強筋)

表 2.6-1 構造仕様 (軽油カルバート断面 (鉄筋コンクリート))

	仕	様	材料	
部位	部材幅 (m)	部材高 (m)	コンクリート f 'ck (N/mm²)	鉄筋
底版	1.000	2.000	40	SD345, SD490
北側壁	1.000	1.000	40	SD345, SD490
中壁	1.000	0.500	40	SD345, SD490
南側壁	1.000	1.000	40	SD345, SD490
頂版	1.000	1. 200	40	SD345, SD490

表 2.6-2 構造仕様 (軽油カルバート断面(鋼管杭))

立7.	仕	仕様 材料		
部位	杭径 (m)	板厚 (m)	121 147	
鋼管杭	1. 200	0.050	SM570	

表 2.6-3 構造仕様 (水電気カルバート断面 (鉄筋コンクリート))

	仕	様	材料	計
部位	部材幅 (m)	部材高 (m)	コンクリート f'ck (N/mm²)	鉄筋
底版	1.000	2.500	40	SD345, SD490
北側壁	1.000	0.700	40	SD345, SD490
北中壁	1.000	0.800	40	SD345, SD490
南中壁	1.000	1.000	40	SD345, SD490
南側壁	1.000	1.000	40	SD345, SD490
頂版	1.000	1.000	40	SD345, SD490

表 2.6-4 構造仕様 (水電気カルバート断面(鋼管杭))

本7/六	仕	仕様 材料			
部位	杭径 (m)	板厚 (m)	1/2 1/4		
鋼管杭	1.500	0.025	SM570		

2.6.2 評価結果

(1) 軽油カルバート断面(鉄筋コンクリート)

軽油カルバート断面(鉄筋コンクリート)の地震動選定フローを図2.6-4に示す。

検討ケース①(基本ケース)において、曲げ軸力照査値が 0.50 より大きく、せん断照査値が 0.50 より大きいことから、曲げ軸力対象の全部材及びせん断力照査対象の全部材のうち、それ ぞれ最も厳しい照査値となった地震動を選定する。

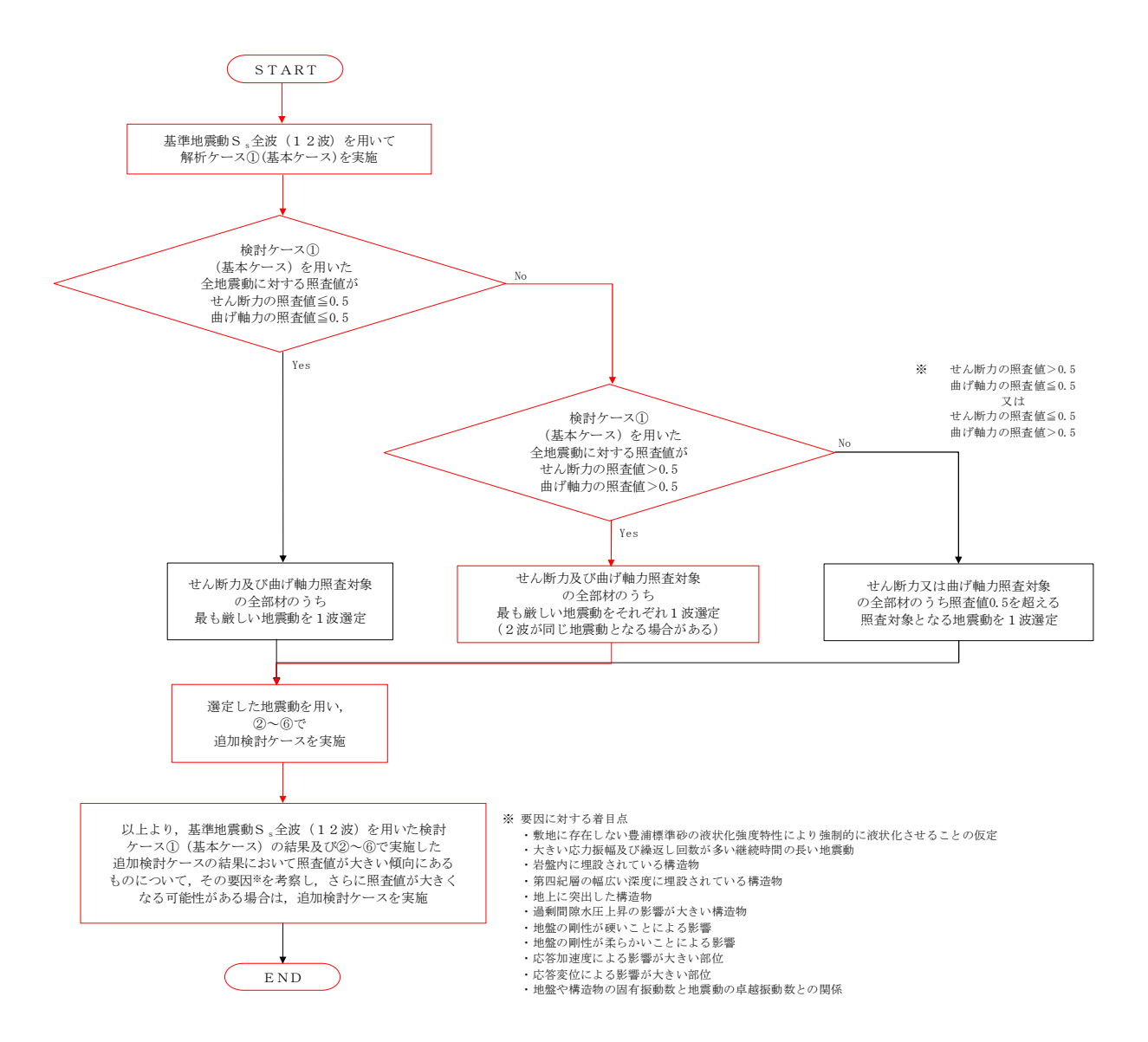


図 2.6-4 地震動選定フロー (軽油カルバート断面 (鉄筋コンクリート))

(曲げ軸力照査(コンクリート曲げ圧縮),軽油カルバート)

(底版) (北側壁)

検診	ナケース	曲げ軸力照査(コンクリート曲げ圧縮)							
地震動		1	2	3	4	5	6		
	++	0. 17							
$S_s - D1$	+-	0. 18	0.18	0.17	0.17	0.16	0.16		
	-+	0.16							
		0.17							
S _s -11		0.09							
S _s -12		0.13							
S _s -13		0.12							
$S_{s} - 14$		0.11							
S _s - 2 1	S _s - 2 1								
S _s - 2 2		0.14							
6 - 21	++	0.15	0.15	0.16	0.16	0.15	0.15		
S _s - 3 1	-+	0. 16							

検診	ナケース		曲げ軸オ	カ照査 (コン	クリート曲に	げ圧縮)	
地震動		1	2	3	4	5	6
	++	0.33					
S s - D 1	+-	0.34	0.34	0.34	0.33	0.31	0.31
S _s -DI	-+	0. 29					
		0. 29					
S _s - 1 1		0.14					
S _s -12		0. 23					
S _s -13		0. 22					
S s - 1 4		0.18					
S s - 2 1		0. 25					
S _s -22		0.24					
S _s - 3 1	++	0. 27	0. 27	0.27	0.27	0.25	0.24
3 s - 3 1	-+	0.31					

(中壁)

検許	ナケース		曲げ軸力照査(コンクリート曲げ圧縮)							
地震動	地震動		2	3	4	5	6			
+-	++	0.36								
	+-	0.36	0.37	0.36	0.36	0.33	0.33			
S s - D 1	-+	0.36								
		0.36								
S _s - 1 1		0.12								
S s - 1 2		0. 23								
S s - 1 3		0.21								
S s - 1 4		0.17								
S s - 2 1		0. 26								
S _s - 2 2		0.24								
++		0.32	0.31	0.32	0.33	0.30	0.29			
S _s - 3 1	-+	0.32								

	検討ケース		曲げ軸力照査(コンクリート曲げ圧縮)							
地震動		1	2	3	4	5	6			
	++	0.30								
S s - D 1	+-	0.30	0.30	0.29	0.29	0.27	0.27			
S _s -DI	-+	0.32								
		0.32								
S s - 1 1	S _s - 1 1									
S s - 1 2		0.17								
S _s -13		0.17								
S s - 1 4		0.13								
S _s - 2 1		0. 24								
$S_{s} - 22$		0. 23								
S _s - 3 1	++	0.30	0. 29	0.30	0.30	0.28	0.28			
3 s - 3 1	-+	0. 27								

(南側壁)

(頂版)

検討	ナケース		曲げ軸オ	カ照査 (コン	クリート曲に	ず圧縮)	
地震動		1	2	3	4	5	6
	++	0. 19					
e _D1	+-	0. 19	0. 19	0.19	0.18	0.17	0.17
S _s - D 1	-+	0.18					
		0.19					
S s - 1 1	S _s - 1 1						
S s - 1 2		0.13					
S _s - 1 3		0.12					
S s - 1 4		0.10					
S _s - 2 1		0.15					
S _s - 2 2		0.14					
C - 2 1	++		0.16	0.16	0.17	0.15	0.15
S _s - 3 1	-+	0.17					

※ 検討ケース

- ①: 原地盤に基づく液状化強度特性を用いた解析ケース(基本ケース)

- ②: 地盤物性のばらつきを考慮 $(+1\sigma)$ した解析ケース ③: 地盤物性のばらつきを考慮 (-1σ) した解析ケース ④: 地盤を強制的に液状化させることを仮定した解析ケース
- ⑤: 原地盤において非液状化の条件を仮定した解析ケース ⑥: 地盤物性のばらつきを考慮(+ 1σ)して非液状化の条件を仮定した解析ケース

(曲げ軸力照査(鉄筋曲げ引張),軽油カルバート)

(底版) (北側壁)

検診	ナケース	曲げ軸力照査(鉄筋曲げ引張)							
地震動		1	2	3	4	5	6		
	++	0. 27							
S D 1	+-	0. 26	0. 26	0.26	0.27	0.24	0.24		
S _s -D1	-+	0. 29							
		0. 28							
S _s - 1 1		0.11							
S _s -12		0.19							
S _s -13		0.18							
S _s -14		0.15							
$S_s - 21$		0. 20							
S _s - 2 2		0. 19							
S s - 3 1 ++		0. 25	0. 25	0.26	0.25	0.22	0.22		
3,-31	-+	0. 24							

検許	ナケース		曲げ軸力照査(鉄筋曲げ引張)							
地震動		1	2	3	4	5	6			
	++	0.65	0.65	0.64	0.62					
S , -D1	+-	0.65	0.65	0.64	0.63	0.58	0.58			
3 s - D 1	-+	0.49								
		0.49								
S _s - 1 1		0.21								
S _s -12		0.41								
$S_{s} - 1.3$		0.38								
S s - 1 4		0.30								
S s - 2 1		0.45								
S _s - 2 2		0.43								
6 - 21	++	0.41	0.41	0.42	0.41	0.38	0.37			
S s - 3 1	-+	0.58								

(中壁)

(南側壁)

検診	ナケース		曲に	『軸力照査(鉄筋曲げ引き	脹)	
地震動		1	2	3	4	5	6
	++	0.41					
S s - D 1	+-		0.41	0.41	0.40	0.37	0.37
J s - D I	-+	0.40					
		0.40					
S _s - 1 1	$S_{s} - 11$						
S _s -12		0. 25					
$S_{s} - 13$		0. 23					
S s - 1 4		0.18					
S _s - 2 1		0. 28					
S s - 2 2	$S_s - 22$						
6 21	++	0.35	0.34	0.35	0.36	0.32	0.32
S _s - 3 1	-+	0.36					

検討	寸ケース		曲げ	軸力照査(鉄筋曲げ引	張)	
地震動		1	2	3	4	5	6
	++	0.47					
S D 1	+-	0.47	0.47	0.46	0.46	0.44	0.44
S _s -D1	-+	0.60	0.61	0.60	0.58		
		0.61	0.62	0.61	0.59		
S s - 1 1		0.19					
S s - 1 2		0. 25					
S s - 1 3		0. 26					
S s - 1 4		0.18					
S _s - 2 1		0.42					
S _s - 2 2		0.40					
S _s - 3 1	++	0.54	0.53	0.55	0.55	0.50	0.49
S 5 - 3 1	-+	0.42					

(頂版)

_							
検診	ナケース		曲に	げ軸力照査 (鉄筋曲げ引き	脹)	
地震動		1	2	3	4	5	6
	++	0.36					
C D1	+-	0.37	0.37	0.36	0.35	0.32	0.32
S _s - D 1	-+	0.36					
		0.37					
S s - 1 1	S _s - 1 1						
S s - 1 2		0. 23					
S s - 1 3		0. 22					
S s - 1 4		0.18					
S _s - 2 1		0. 27					
S _s - 2 2		0. 26					
6 - 2 1	++		0.31	0.32	0.33	0.30	0.29
S _s - 3 1	-+	0.32					

※ 検討ケース

- ①: 原地盤に基づく液状化強度特性を用いた解析ケース(基本ケース)
 ②: 地盤物性のばらつきを考慮(+1σ)した解析ケース
 ③: 地盤物性のばらつきを考慮(-1σ)した解析ケース

- ④: 地盤を強制的に液状化させることを仮定した解析ケース ⑤: 原地盤において非液状化の条件を仮定した解析ケース
- ⑥: 地盤物性のばらつきを考慮($+1\sigma$)して非液状化の条件を仮定した解析ケース

曲げ軸力照査(鉄筋曲げ引張)結果は、検討ケース①(基本ケース)の最大照査値は、北側壁、 $S_s - D1$ (++) 及び $S_s - D1$ (+-) で 0.65 である。

(せん断力照査,軽油カルバート)

(底版)

(北側壁)

検診	ナケース			せん断	力照査		
地震動		1	2	3	4	5	6
	++	0.38					
S D 1 +	+-	0.38	0.38	0.38	0.38	0.35	0.35
S _s -D1	-+	0.41					
		0.42					
S s - 1 1	S _s - 1 1						
S s - 1 2	S _s - 1 2						
S _s - 1 3		0.24					
S _s -14		0.20					
S _s - 2 1		0.29					
$S_{s} - 22$	S _s - 2 2						
6 - 2 1	++	0.38	0.38	0.39	0.38	0.36	0.35
S _s - 3 1	-+	0.35					

検討ケース		せん断力照査							
		1	2	3	4	5	6		
	++	0.58	0. 59	0. 58	0.57				
e _D1	+-	0. 59	0.60	0. 59	0.59	0.56	0.56		
S _s -D1	-+	0.48							
		0.50							
S _s - 1 1		0.31							
S _s -12		0.46							
S _s -13		0.44							
S _s -14		0.38							
S s - 2 1		0.47							
$S_{s} - 22$		0.48							
S _s - 3 1 ++		0.40	0.40	0.40	0.42	0.40	0.40		
S s - 3 1	-+	0.57							

(中壁)

(南側壁)

検診	ナケース	せん断力照査							
地震動		1	2	3	4	5	6		
++		0.20							
s _D1	+-	0.20	0.20	0.19	0.20	0.18	0.18		
S _s -D1	S _s - D 1								
S _s - 1 1		0.07							
S s - 1 2		0.12							
S _s - 1 3		0.12							
S s - 1 4		0.09							
$S_s - 21$		0.14							
S _s - 2 2		0.13							
S _s - 3 1	++	0.17	0.17	0.17	0.18	0.16	0.16		
3 s - 3 1	-+	0.18							

検討	ナケース	せん断力照査							
地震動			2	3	4	5	6		
	++	0.46							
e _D1	+-	0.47	0.47	0.47	0.49	0.41	0.41		
S _s - D 1	-+	0.55	0.56	0.55	0.55				
			0.57	0.56	0.56				
S s - 1 1	S _s - 1 1								
S s - 1 2		0.36							
S s - 1 3		0.37							
S s - 1 4		0.30							
$S_{s} - 21$		0.48							
S s - 2 2	$S_{s} - 22$								
S _s - 3 1	++	0.53	0.53	0.53	0.54	0.51	0.51		
3,-31	-+	0.37							

(頂版)

40.40	ナケース	せん断力照査								
地震動		①	2	3	4	5	6			
	++	0. 29								
6 D1	+-	0.29	0.29	0. 29	0. 28	0.26	0. 26			
S _s - D 1	-+	0.28								
S _s - 1 1		0.13								
S s - 1 2		0.20								
S s - 1 3		0.19								
S s - 1 4		0.16								
S s - 2 1		0.23								
S s - 2 2	S _s - 2 2									
6 - 2 1	++	0.25	0.25	0.26	0.26	0.24	0.24			
S _s - 3 1	-+	0.26								

※ 検討ケース

- ①: 原地盤に基づく液状化強度特性を用いた解析ケース(基本ケース)

- ②: 地盤物性のばらつきを考慮 $(+1\sigma)$ した解析ケース ③: 地盤物性のばらつきを考慮 (-1σ) した解析ケース ④: 地盤を強制的に液状化させることを仮定した解析ケース
- ⑤: 原地盤において非液状化の条件を仮定した解析ケース
- ⑥: 地盤物性のばらつきを考慮($+1\sigma$)して非液状化の条件を仮定した解析ケース

せん断力照査結果は、検討ケース①(基本ケース)の最大照査値は、北側壁、S_s-D1(+ −) で 0.59 である。

以上より、検討ケース①(基本ケース)において、曲げ軸力照査に対する最大照査値が 0.65、せん断力照査に対する最大照査値が 0.59 であり、かつ、曲げ軸力対象の全部材及びせん断力照査対象の全部材のうち、それぞれ最も厳しい照査値となった地震動は S_s-D1 (++) 及び S_s-D1 (+-) である。また、 S_s-D1 (-+) 及び S_s-D1 (--) についても②、③、④のケースを実施し、照査値の確認を行う。

軽油カルバートの上部構造は、埋戻土に埋設され、その周辺には第四紀層が広がっている。底版は岩着構造ではなく拘束がないため、周辺の地盤変状の影響を大きく受けることはない(照査値に大きな差異がない)。また、地盤の剛性が柔らかく、ひずみや変形が生じる傾向にある S_s-D1 に加え、地盤の剛性が高い場合が部材にとって厳しくなる傾向があることから、継続時間が短く第四紀層の剛性低下の影響が少ない S_s-31 で照査値が大きくなると考えられる。

曲げ軸力照査については、②、③、④のケースにおいて、検討ケース①(基本ケース)の照査値より厳しくなる傾向にあるため、北側壁の S_s-D1 (++)並びに南側壁の S_s-D1 (-+)及び S_s-D1 (--) について、②、③、④の追加検討ケースを実施し、照査値を確認する。

また、せん断力照査については、②~⑥のケースにおいて照査値の顕著な増加はみられないが、②、③、④のケースにおいて、検討ケース①(基本ケース)の照査値より厳しくなる傾向にあるため、北側壁の S_s-D1 (++)、南側壁の S_s-D1 (-+)及び S_s-D1 (--)について、②、③、④の追加検討ケースを実施し照査値の確認を行う。

р

(2) 水電気カルバート断面(鉄筋コンクリート)

水電気カルバート断面(鉄筋コンクリート)の地震動選定フローを図 2.6-5 に示す。

検討ケース①(基本ケース)において、曲げ軸力照査値が 0.50 より大きく、せん断照査値が 0.50 より大きいことから、曲げ軸力対象の全部材及びせん断力照査対象の全部材のうち、それ ぞれ最も厳しい照査値となった地震動を選定する。

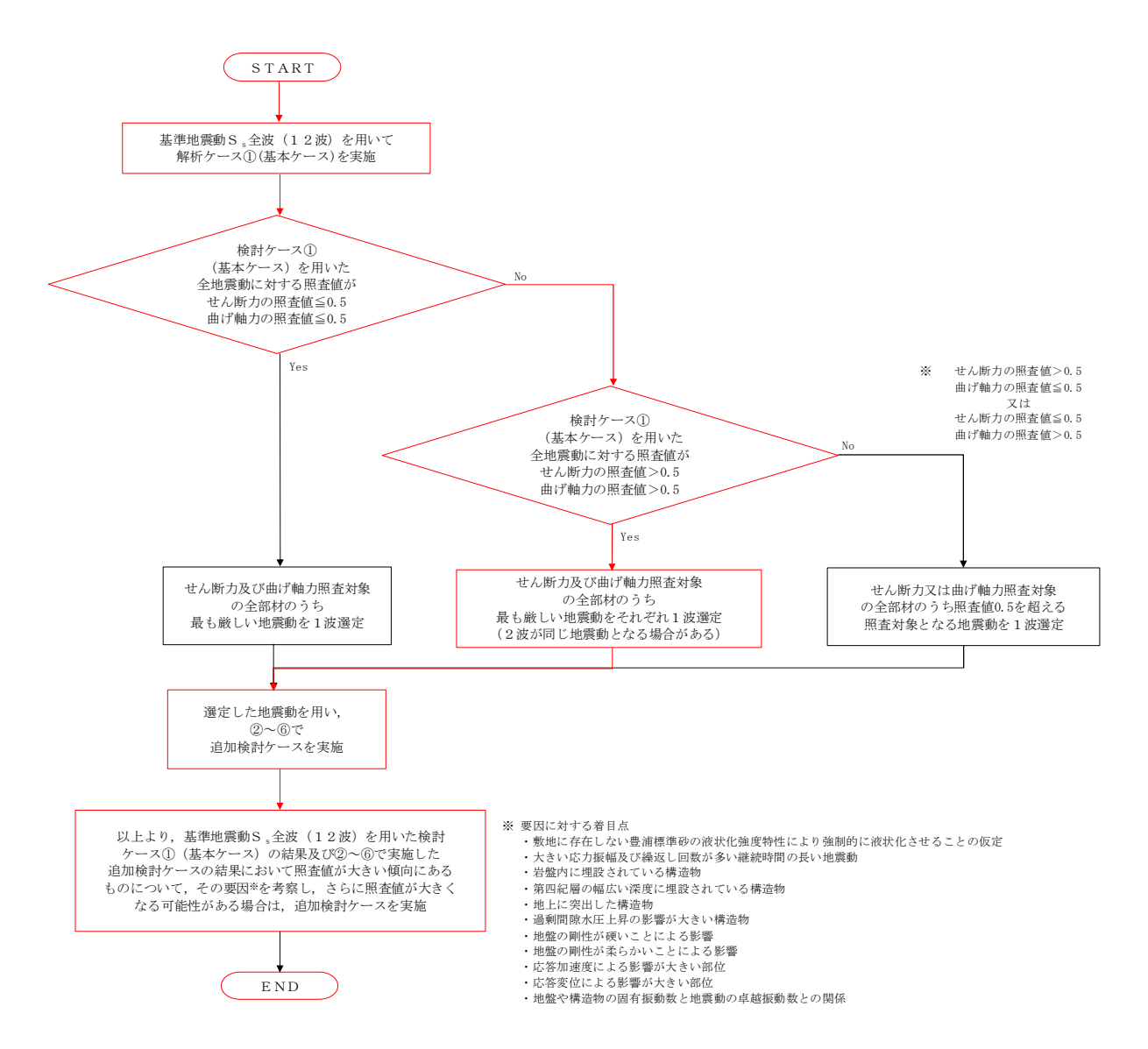


図 2.6-5 地震動選定フロー (水電気カルバート断面 (鉄筋コンクリート))

(曲げ軸力照査 (コンクリート曲げ圧縮),水電気カルバート)

(底版) (北側壁)

検罪	ナケース	曲げ軸力照査(コンクリート曲げ圧縮)							
地震動	地震動		2	3	4	5	6		
	++	0. 12							
S D 1	+-	0.12	0. 13	0.13	0.15	0.11	0.11		
S _s -D1	-+	0.10							
		0.11							
S _s - 1 1		0.07							
S s - 1 2		0.08							
S _s -13		0.07							
S s - 1 4		0.07							
S s - 2 1		0.09							
S _s -22		0.08							
S _s - 3 1	++	0.09	0.09	0.09	0.10	0.08	0.08		
S s - 3 1	-+	0.12							

検診	ナケース	曲げ軸力照査(コンクリート曲げ圧縮)							
地震動		1	2	3	4	5	6		
	++	0.31							
e -D1	S _s -D 1 +-	0.33	0.33	0.33	0.35	0.32	0.32		
S _s -D1		0. 29							
		0. 29							
S _s - 1 1		0. 23							
S s - 1 2	S _s -12								
$S_{s} - 13$		0. 29							
S s - 1 4		0. 26							
S s - 2 1		0. 27							
S s - 2 2		0. 28							
C 2.1	++	0. 27	0. 27	0.27	0.27	0.29	0.29		
S _s - 3 1	-+	0.33							

(北中壁)

検診	ナケース	曲げ軸力照査(コンクリート曲げ圧縮)							
地震動		1	2	3	4	5	6		
	++	0. 23							
e -D1	+-	0. 22	0. 23	0.24	0.27	0.13	0.13		
S _s -D1	S _s -D1 -+								
S _s - 1 1		0.10							
S s - 1 2		0.13							
$S_{s} - 13$		0.11							
S s - 1 4		0.08							
$S_{s} - 21$		0.16							
S _s - 2 2		0.14							
S _s - 3 1	++	0.14	0.14	0.14	0.10	0.16	0.16		
3 s - 3 I	-+	0.19							

検診	ナケース	曲げ軸力照査 (コンクリート曲げ圧縮)							
地震動		1	2	3	4	5	6		
	++	0. 17							
e -D1	+-	0.17	0.17	0.17	0.16	0.20	0.20		
S _s -D 1	-+	0. 23							
S _s - 1 1		0.12							
S s - 1 2		0.16							
S s - 1 3		0.13							
S s - 1 4		0.12							
S s - 2 1		0.16							
S _s - 2 2		0.14							
S _s - 3 1	++	0. 29	0. 29	0.30	0.22	0.29	0.29		
3,-31	-+	0.17							

(南中壁)

(南側壁)

	検討ケース		曲げ軸力照査(コンクリート曲げ圧縮)							
地震動		1	2	3	4	5	6			
	++	0. 26								
e -D1	+-	0. 26	0. 26	0.26	0.26	0.19	0.19			
S _s - D 1	-+	0.20								
		0.20								
S _s - 1 1		0.17								
S s - 1 2		0.17								
S _s - 1 3		0.16								
S s - 1 4		0.15								
$S_s - 21$		0.17								
S _s -22		0.17								
S 3 1	++	0. 23	0. 23	0.24	0.21	0.24	0.23			
3 s - 3 I	-+	0. 25								

_									
検許	ナケース	曲げ軸力照査(コンクリート曲げ圧縮)							
地震動		1	2	3	4	5	6		
	++	0.31							
s _D1	+-	0.32	0.32	0.32	0.32	0.31	0.30		
S _s -D 1	-+	0.32							
S _s - 1 1		0. 23							
S s - 1 2		0. 27							
S s - 1 3		0. 25							
S s - 1 4		0. 23							
$S_s - 21$		0.31							
S _s - 2 2		0. 27							
6 21 ++		0.36	0.36	0.37	0.34	0.35	0.35		
S _s - 3 1	-+	0.32							

(頂版)

※ 検討ケース

- ①: 原地盤に基づく液状化強度特性を用いた解析ケース(基本ケース)
 ②: 地盤物性のばらつきを考慮(+1σ)した解析ケース
 ③: 地盤物性のばらつきを考慮(-1σ)した解析ケース

- ④: 地盤を強制的に液状化させることを仮定した解析ケース ⑤: 原地盤において非液状化の条件を仮定した解析ケース
- ⑥: 地盤物性のばらつきを考慮($+1\sigma$)して非液状化の条件を仮定した解析ケース

(曲げ軸力照査(鉄筋曲げ引張),水電気カルバート)

(底版) (北側壁)

検診	ナケース	曲げ軸力照査(鉄筋曲げ引張)							
地震動		1	2	3	4	5	6		
	++	0.26							
S D 1	+-	0.26	0.26	0.26	0.33	0.19	0. 18		
3,-01	-+	0.35							
S _s - 1 1		0.10							
S s - 1 2		0.13							
S _s - 1 3		0.13							
S s - 1 4		0.09							
S s - 2 1		0.23							
S _s - 2 2		0.19							
++		0.33	0.32	0.33	0.35	0.28	0. 28		
S s - 3 1	-+	0.16							

検診	ナケース		曲げ軸力照査(鉄筋曲げ引張)							
地震動		1	2	3	4	5	6			
	++	0.42								
e Di	S _s - D 1 +-		0.44	0.44	0.39	0.44	0.44			
S _s -DI										
S _s - 1 1		0.26								
S s - 1 2		0.38								
S s - 1 3		0.37								
S s - 1 4		0.31								
S $_{\rm s} - 2\ 1$		0.33								
S _s - 2 2		0.34								
C - 2 1	++	0.33	0.33	0.33	0.33	0.37	0.37			
S _s - 3 1	-+	0.43								

(北中壁)

(南中壁)

検許	寸ケース		曲に	げ軸力照査 (鉄筋曲げ引き	脹)	
地震動		1	2	3	4	5	6
	++	0.30					
e -D1	+-	0.28	0.29	0.31	0.35	0.06	0.06
J S s - D I	S _s -D1 -+						
S _s - 1 1	S _s - 1 1						
S _s - 1 2	S _s - 1 2						
$S_{s} - 13$		0.09					
S _s -14		0.03					
S s - 2 1	S $_{\rm s}-2$ 1						
S s - 2 2	S _s - 2 2						
6 21	++	0.06	0.07	0.06	0.06	0.08	0.08
S _s - 3 1	-+	0.22					

検診	検討ケース		曲げ軸力照査(鉄筋曲げ引張)							
地震動		1	2	3	4	5	6			
	++	0.08								
S , - D 1	+-	0.07	0.07	0.07	0.05	0.12	0.12			
S _s -D1	-+	0.15								
		0.15								
S _s - 1 1		0.01								
$S_{s} - 12$		0.04								
$S_{s} - 13$		0.03								
$S_{s} - 14$		0.02								
$S_{s} - 21$		0.08								
$S_{s} - 22$		0.03								
S _s - 3 1	++	0.25	0.25	0.26	0.13	0.26	0.25			
3 s - 3 I	-+	0.07								

(南側壁)

(頂版)

検診	ナース		曲に	げ軸力照査 (鉄筋曲げ引き	脹)	
地震動		1	2	3	4	5	6
	++	0.46					
s _D1	+-	0.44	0.45	0.46	0.45	0.29	0. 29
S _s - D 1	-+	0.26					
		0.27					
S s - 1 1		0.11					
S s - 1 2		0.21					
S s - 1 3		0.19					
S s - 1 4		0.10					
S s - 2 1		0.23					
S s - 2 2		0.21					
6 - 21	++	0.22	0.22	0.23	0.18	0.22	0. 22
S _s - 3 1	-+	0.40					

	検討ケース		曲げ軸力照査(鉄筋曲げ引張)							
地震動	1 <i>f</i> – X	①	2	3	(A)	(5)	6			
	++	0, 47	_							
	+-	0. 47	0.48	0.47	0.50	0.45	0.44			
$S_s - D1$	-+	0.60								
$S_{s} - 11$		0. 29								
$S_{s} - 12$		0.39								
$S_{s} - 13$		0.35								
S _s - 14		0.31								
S _s - 2 1		0.49								
$S_s - 22$		0.42								
S _s - 3 1	++	0.67	0.66	0.68	0.60	0.62	0.61			
S s - 3 1	-+	0.42								

※ 検討ケース

- ①: 原地盤に基づく液状化強度特性を用いた解析ケース (基本ケース) ②: 地盤を強制的に液状化させることを仮定した解析ケース ②: 地盤物性のばらつきを考慮(+ 1 σ)した解析ケース ③: 地盤物性のばらつきを考慮(+1 σ)した解析ケース ⑥: 原地盤において非液状化の条件を仮定した解析ケース ⑥: 地盤物性のばらつきを考慮(+1 σ)して非液状化の条

- ⑥: 地盤物性のばらつきを考慮($+1\sigma$)して非液状化の条件を仮定した解析ケース

曲げ軸力照査(鉄筋曲げ引張)結果は、検討ケース①(基本ケース)の最大照査値は、頂版、S

(せん断力照査,水電気カルバート)

(底版)

(北側壁)

検診	ナケース			せん断	力照査		
地震動		1	2	3	4	5	6
	++	0.19					
S s - D 1	+-	0.21	0.21	0.21	0.21	0.19	0. 19
J s - D I	-+	0.21					
		0.20					
S s - 1 1	S _s - 1 1						
$S_{s} - 12$		0.15					
$S_{s} - 13$		0.15					
S s - 1 4		0.14					
$S_{s} - 21$		0.20					
$S_{s} - 22$		0.20					
C - 2 1	++	0.19	0.19	0.20	0.20	0.19	0. 19
S _s - 3 1	-+	0.16					

_									
	ナケース	せん断力照査							
地震動		1	2	3	4	5	6		
	++	0. 59	0. 59	0.60	0.60				
e -D1	+-	0.62	0.62	0.62	0.63	0.55	0.54		
S _s - D 1	S _s -D1 -+	0.53							
		0.55							
S _s - 1 1		0.43							
$S_{s} - 12$		0.53							
$S_{s} - 13$		0.52							
$S_{s} - 14$		0.47							
S _s - 2 1		0.52							
S _s - 2 2		0.53							
S _s - 3 1	++	0.51	0.51	0.51	0.50	0.53	0.52		
S ₈ -31	-+	0.62	0.62	0.64	0.62	0.61	0.61		

(北中壁)

(南中壁)

検討	ナケース	せん断力照査								
地震動		1	2	3	4	5	6			
	++	0.26								
e _D1	+-	0.26	0.26	0.27	0.31	0.19	0. 19			
S _s - D 1	-+	0.18								
		0.20								
S _s - 1 1		0.12								
S s - 1 2		0.15								
S _s - 1 3		0.13								
S s - 1 4		0.11								
S s - 2 1		0.19								
$S_s - 22$		0.16								
6 - 21	++	0.21	0.21	0.21	0.14	0.23	0. 23			
S _s - 3 1	-+	0.22								

検診	ナケース	せん断力照査								
地震動		①	2	3	4	5	6			
	++	0. 25								
S s - D 1	+-	0. 25	0. 25	0.25	0.24	0.29	0.29			
S _s -D1	-+	0.33								
S s - 1 1	S _s - 1 1									
S s - 1 2		0.24								
S s - 1 3		0.19								
S s - 1 4		0.18								
S _s - 2 1		0. 25								
S s - 2 2		0.21								
6 - 2 1	++	0.41	0.40	0.41	0.32	0.41	0.40			
S _s - 3 1	-+	0. 26								

(南側壁)

(頂版)

	ナケース	せん断力照査							
地震動		1	2	3	4	(5)	6		
	++	0.59	0.60	0.60	0.58				
C D1	+-	0.61	0.62	0.62	0.61	0.54	0.54		
$S_s - D1$	-+	0.50							
		0.51							
$S_{s} - 11$		0.36							
$S_{s} - 12$		0.49							
$S_{s} - 13$		0.48							
$S_{s} - 14$		0.41							
S _s - 2 1		0.47							
S _s - 2 2		0.48							
S , - 3 1 ++		0.44	0.44	0.44	0.44	0.44	0.44		
3 _s -31	-+	0.62	0.62	0.62	0.60	0.59	0.59		

検討	付ケース		せん断力照査								
地震動		1	2	3	4	5	6				
	++	0.52									
S , -D 1	+-	0.55	0.55	0.55	0.56	0.54	0.54				
S , - D 1	-+	0.54									
			0. 59	0. 59	0.59						
S s - 1 1	S s - 1 1										
S s - 1 2		0.51									
S _s - 1 3		0.50									
S _s - 1 4		0.50									
S _s - 2 1		0.56									
S _s - 2 2		0.54									
S _s - 3 1	++	0.55	0.55	0.56	0.53	0.54	0.54				
3,-31	-+	0.51									

※ 検討ケース

- ①: 原地盤に基づく液状化強度特性を用いた解析ケース (基本ケース) ②: 地盤を強制的に液状化させることを仮定した解析ケース ②: 地盤物性のばらつきを考慮(+ $1\,\sigma$)した解析ケース ③: 地盤物性のばらつきを考慮($-1\,\sigma$)した解析ケース ⑤: 原地盤において非液状化の条件を仮定した解析ケース ⑥: 地盤物性のばらつきを考慮($+1\,\sigma$)して非液状化の条

- ⑥: 地盤物性のばらつきを考慮($+1\sigma$)して非液状化の条件を仮定した解析ケース

せん断力照査結果は、検討ケース①(基本ケース)の最大照査値は、北側壁、S_s-D1(+ -), $S_s - 31$ (-+) 及び南側壁, $S_s - 31$ (-+) で 0.62 である。

以上より、検討ケース①(基本ケース)において、曲げ軸力照査に対する最大照査値が 0.67、せん断力照査に対する最大照査値が 0.62 であり、かつ、曲げ軸力対象の全部材及びせん断力照査対象の全部材のうち、それぞれ最も厳しい照査値となった地震動は $\underline{S_s-D1}$ (+-)、 $\underline{S_s-31}$ (++) 及び $\underline{S_s-31}$ (-+) である。

水電気カルバートの上部構造は、埋戻土に埋設され、その周辺には第四紀層が広がっている。底版は岩着構造ではなく拘束がないため、周辺の地盤変状の影響を大きく受けることはない(照査値に大きな差異がない)。また、大きい応力振幅で繰返し回数が多く、継続時間の長い S_s-D1 に加え、地盤の剛性が硬い方が部材にとって厳しくなる傾向があることから、継続時間が短く第四紀層の剛性低下の影響が少ない S_s-31 で照査値が大きくなると考えられる。

なお、せん断力照査については、 $2\sim6$ のケースにおいて照査値の顕著な増加はみられないが、2、3、4のケースにおいて、検討ケース1(基本ケース)の照査値より厳しくなる傾向にある。

よって、全部材に対して耐震照査を実施している $\underline{S_s-31}$ (++) に加え、北側壁及び南側壁のせん断力照査、 $\underline{S_s-31}$ (-+) について、②~⑥の追加検討ケースを追加し、照査値の確認を行う。

また、北側壁及び南側壁の $\underline{S}_s-\underline{D1}$ (++)、頂版の $\underline{S}_s-\underline{D1}$ (--) について、②、③、④ の追加検討ケースを実施し、照査値の確認を行う。

(3) 軽油カルバート断面(鋼管杭)

軽油カルバート断面(鋼管杭)の地震動選定フローを図2.2-6に示す。

検討ケース①(基本ケース)において、曲げ軸力、せん断力照査に対する全ての照査値が 0.50 以下であることから、曲げ軸力及びせん断力照査対象の全部材のうち最も厳しい照査値となっ た地震動を選定する。

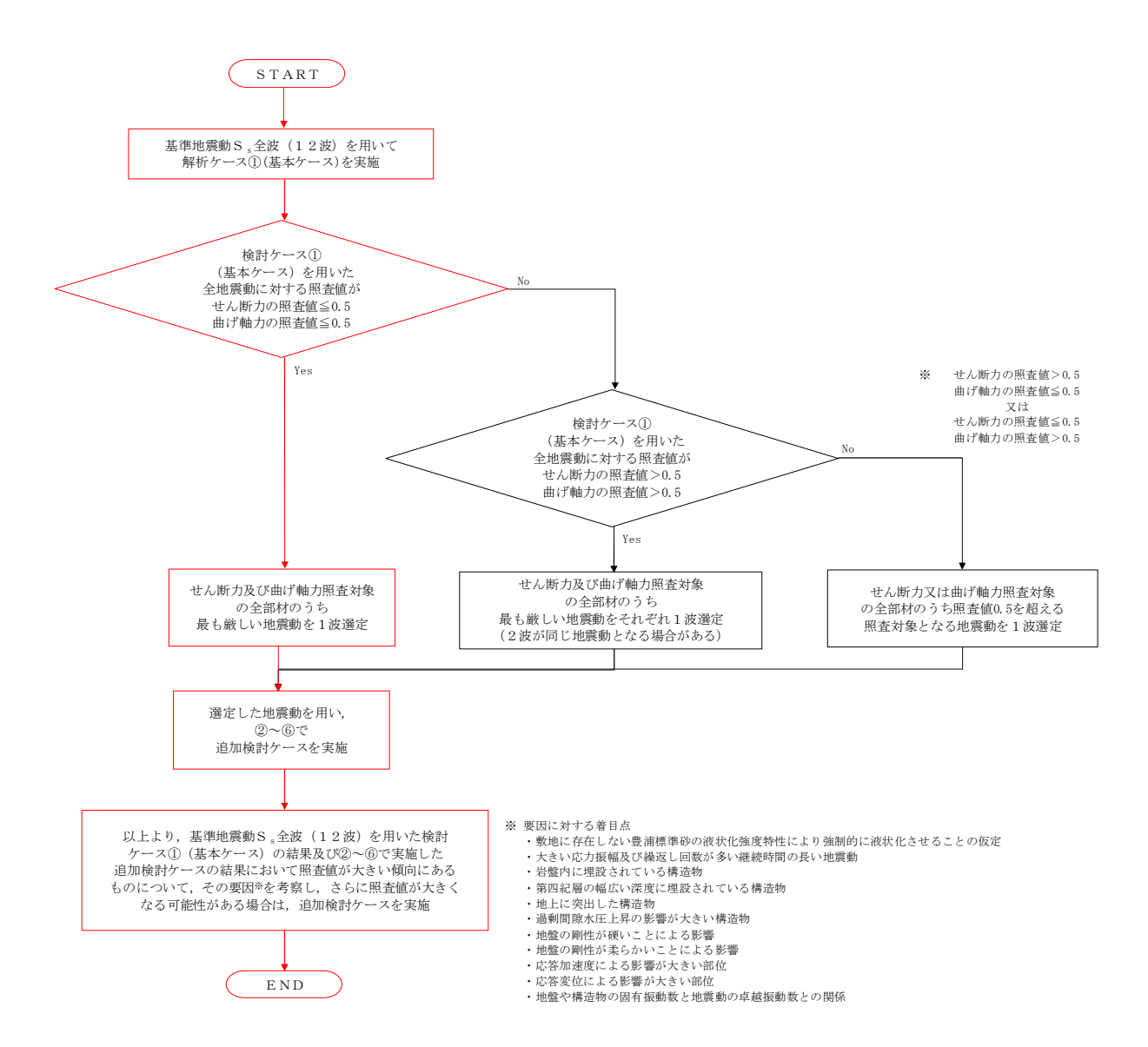


図 2.2-6 地震動選定フロー (軽油カルバート断面 (鋼管杭))

(曲げ軸力照査,軽油カルバート断面,鋼管杭)

検討	ナケース			曲げ軸	力照査		
地震動		1	2	3	4	5	6
	++	0.24					
e _D1	+-	0. 25	0. 26	0. 25	0.32	0.15	0.15
S _s - D 1	-+	0. 22					
		0.23					
S _s - 1 1		0.06					
$S_{s} - 12$		0.13					
$S_{s} - 13$		0.12					
$S_{s} - 14$		0.08					
$S_s - 21$		0.15					
S s - 2 2		0.12					
++		0.17	0.17	0.18	0. 27	0.17	0.16
S _s - 3 1	-+	0.20					

※ 検討ケース

- ①: 原地盤に基づく液状化強度特性を用いた解析ケース(基本ケース)
- ②: 地盤物性のばらつきを考慮($+1\sigma$)した解析ケース
- ③: 地盤物性のばらつきを考慮(-1σ)した解析ケース
- ④: 地盤を強制的に液状化させることを仮定した解析ケース
- ⑤: 原地盤において非液状化の条件を仮定した解析ケース
- ⑥: 地盤物性のばらつきを考慮($+1\sigma$)して非液状化の条件を仮定した解析ケース

曲げ軸力照査結果は、検討ケース①(基本ケース)の全ての照査値が 0.50 以下である(最大照査値は、 S_s-D1 (+-) で 0.25)。

(せん断力照査,軽油カルバート断面,鋼管杭)

検討	ナケース		せん断力照査							
地震動		1	2	3	4	5	6			
	++	0.09								
e Di	+-	0.09	0.10	0.09	0.13	0.06	0.06			
S _s - D 1	-+	0.10								
		0.10								
S _s - 1 1		0.03								
S s - 1 2		0.05								
$S_{s} - 13$		0.05								
S _s -14		0.03								
S s - 2 1		0.06								
S _s - 2 2		0.05								
S _s - 3 1	++	0.08	0.08	0.08	0.11	0.07	0.07			
3 s - 3 1	-+	0.07								

※ 検討ケース

- ①:原地盤に基づく液状化強度特性を用いた解析ケース(基本ケース)
- ②: 地盤物性のばらつきを考慮(+ 1σ)した解析ケース
- ③: 地盤物性のばらつきを考慮 (-1 σ) した解析ケース
- ④: 地盤を強制的に液状化させることを仮定した解析ケース
- ⑤: 原地盤において非液状化の条件を仮定した解析ケース
- ⑥: 地盤物性のばらつきを考慮($+1\sigma$)して非液状化の条件を仮定した解析ケース

せん断力照査結果は、検討ケース① (基本ケース) の全ての照査値が 0.50 以下である(最大照査値は、 S_s-D1 (-+) 及び S_s-D1 (--) で 0.10)。

以上より、検討ケース① (基本ケース) において、曲げ軸力、せん断力照査に対する全ての照査値が 0.50 以下であり、かつ、曲げ軸力及びせん断力照査対象の全部材のうち最も厳しい照査値となった地震動はSs-D1 (+-) である。

水電気カルバートの鋼管杭の周辺には地盤改良体があり、周辺の地盤変状の影響は少ない。 よって、さらなる追加検討ケースは必要ない。

(4) 水電気カルバート断面 (鋼管杭)

水電気カルバート断面(鋼管杭)の地震動選定フローを図2.2-7に示す。

検討ケース①(基本ケース)において、曲げ軸力、せん断力照査に対する全ての照査値が 0.50 以下であることから、曲げ軸力及びせん断力照査対象の全部材のうち最も厳しい照査値となっ た地震動を選定する。

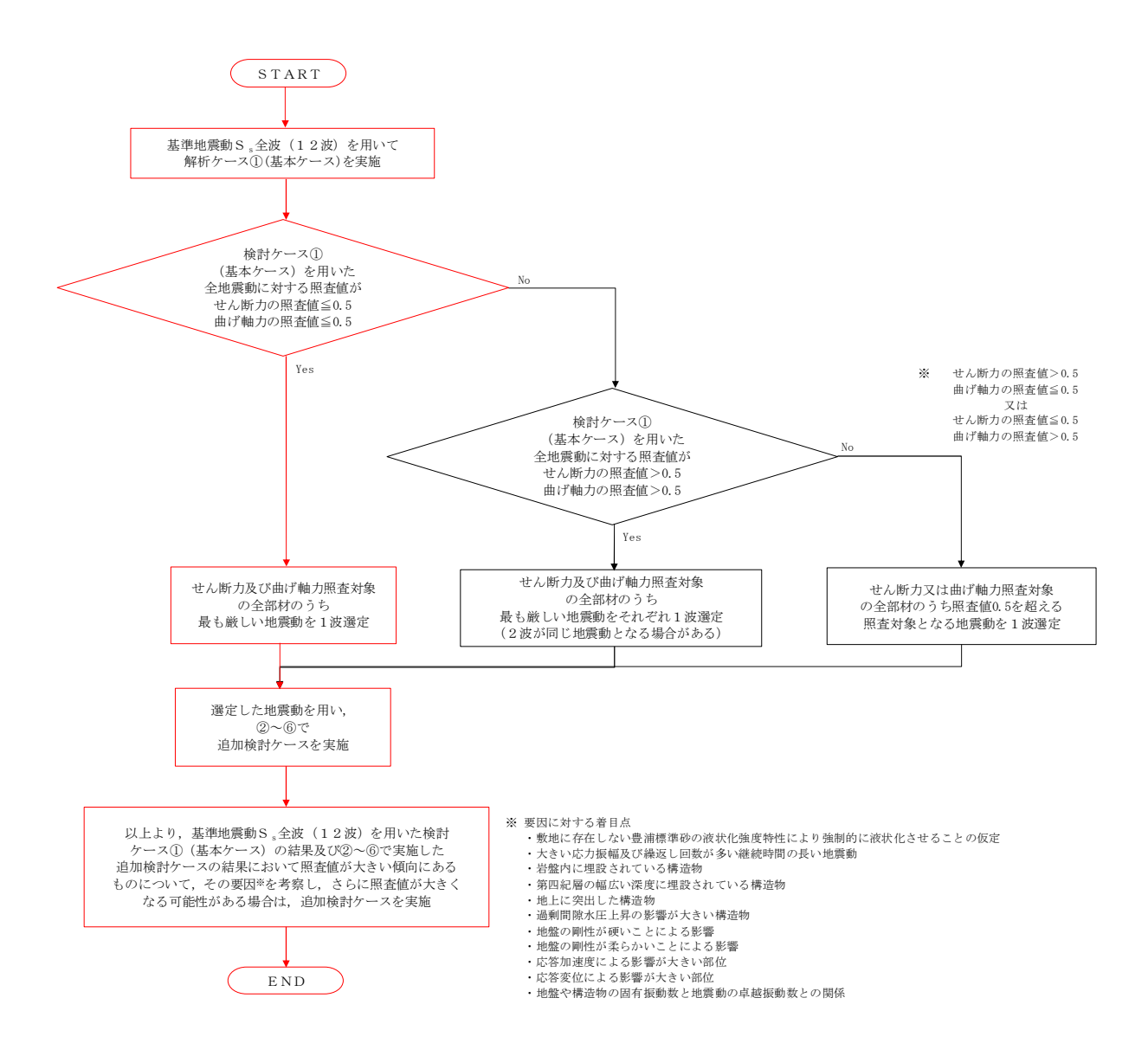


図 2.2-7 地震動選定フロー (水電気カルバート断面 (鋼管杭))

(曲げ軸力照査、水電気カルバート断面、鋼管杭)

検討	ナケース			曲げ軸	力照査		
地震動		1	2	3	4	5	6
	++	0.24					
e _D1	+-	0. 25	0. 26	0.26	0.31	0.11	0.11
S _s - D 1	-+	0.16					
S _s - 1 1		0.06					
S s - 1 2		0.12					
$S_{s} - 13$		0.11					
$S_{s} - 14$		0.06					
$S_s - 21$		0.11					
S _s - 2 2		0.12					
++		0.15	0.15	0.16	0. 22	0.13	0.13
S _s - 3 1	-+	0.16					

※ 検討ケース

- ①: 原地盤に基づく液状化強度特性を用いた解析ケース(基本ケース)
- ②: 地盤物性のばらつきを考慮($+1\sigma$)した解析ケース
- ③: 地盤物性のばらつきを考慮(-1σ)した解析ケース
- ④: 地盤を強制的に液状化させることを仮定した解析ケース
- ⑤: 原地盤において非液状化の条件を仮定した解析ケース
- ⑥: 地盤物性のばらつきを考慮($+1\sigma$)して非液状化の条件を仮定した解析ケース

曲げ軸力照査結果は、検討ケース①(基本ケース)の全ての照査値が 0.50 以下である(最大照査値は、 S_s-D1 (+-) で 0.25)。

(せん断力照査、水電気カルバート断面、鋼管杭)

検討ケース		曲げ軸力照査(鉄筋曲げ引張)								
地震動	· クース	(I)					@			
/		U	2	3	4	5	6			
0 0.	++	0.21								
	+-	0. 23	0.23	0.23	0.26	0.10	0.10			
S _s - D 1	-+	0.13								
		0.12								
S _s - 1 1		0.06								
S _s -12		0.11								
$S_{s} - 13$		0.11								
$S_{s} - 14$		0.06								
S s - 2 1		0.10								
S _s - 2 2		0.12								
C - 2.1	++	0.08	0.08	0.08	0.10	0.08	0.08			
S _s - 3 1	-+	0.13								

※ 検討ケース

- ①:原地盤に基づく液状化強度特性を用いた解析ケース(基本ケース)
- ②: 地盤物性のばらつきを考慮(+ 1σ)した解析ケース
- ③: 地盤物性のばらつきを考慮 (-1 σ) した解析ケース
- ④: 地盤を強制的に液状化させることを仮定した解析ケース
- ⑤: 原地盤において非液状化の条件を仮定した解析ケース
- ⑥: 地盤物性のばらつきを考慮(+1σ)して非液状化の条件を仮定した解析ケース

せん断力照査結果は、検討ケース① (基本ケース) の全ての照査値が 0.50 以下である(最大照査値は、 S_s-D1 (+-) で 0.23)。

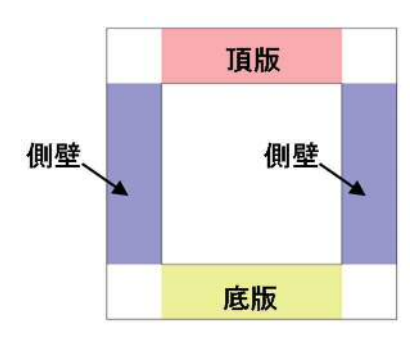
以上より、検討ケース① (基本ケース) において、曲げ軸力、せん断力照査に対する全ての照査値が 0.50 以下であり、かつ、曲げ軸力及びせん断力照査対象の全部材のうち最も厳しい照査値となった地震動はS = D1 (+-) である。

水電気カルバートの鋼管杭の周辺には地盤改良体があり、周辺の地盤変状の影響は少ない。 よって、さらなる追加検討ケースは必要ない。

- 2.7 代替淡水貯槽(追而)
- 2.8 常設低圧代替注水系ポンプ室(追而)

2.9 常設低圧代替注水系配管カルバート

2.9.1 照査位置及び仕様



(東西方向断面)

図 2.9-1 常設低圧代替注水系配管カルバートの照査位置図

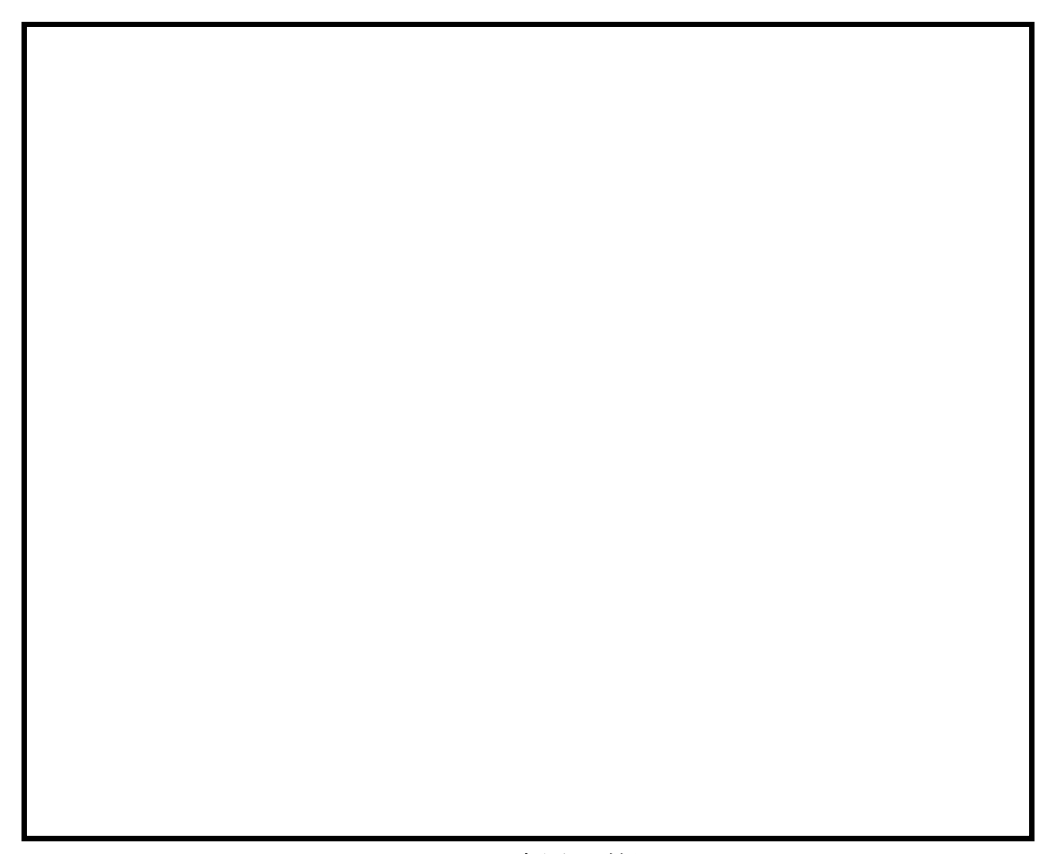


図 2.9-2 概略配筋図

表 2.9-1 構造仕様 (東西方向断面 (鉄筋コンクリート))

	仕	様	材料			
部位	部材幅 (m)	部材高 (m)	コンクリート f 'ck (N/mm²)	鉄筋		
底版	1. 000	0. 700	40	SD390, SD490		
側壁	1. 000	0. 700	40	SD390, SD490		
頂版	1. 000	0. 700	40	SD390, SD490		

(1) 東西方向断面

東西方向断面の地震動選定フローを図 2.9-3 に示す。

検討ケース①(基本ケース)において、曲げ軸力照査値が 0.50 より大きく、せん断照査値が 0.50 より大きいことから、曲げ軸力対象の全部材及びせん断力照査対象の全部材のうち、それ ぞれ最も厳しい照査値となった地震動を選定する。

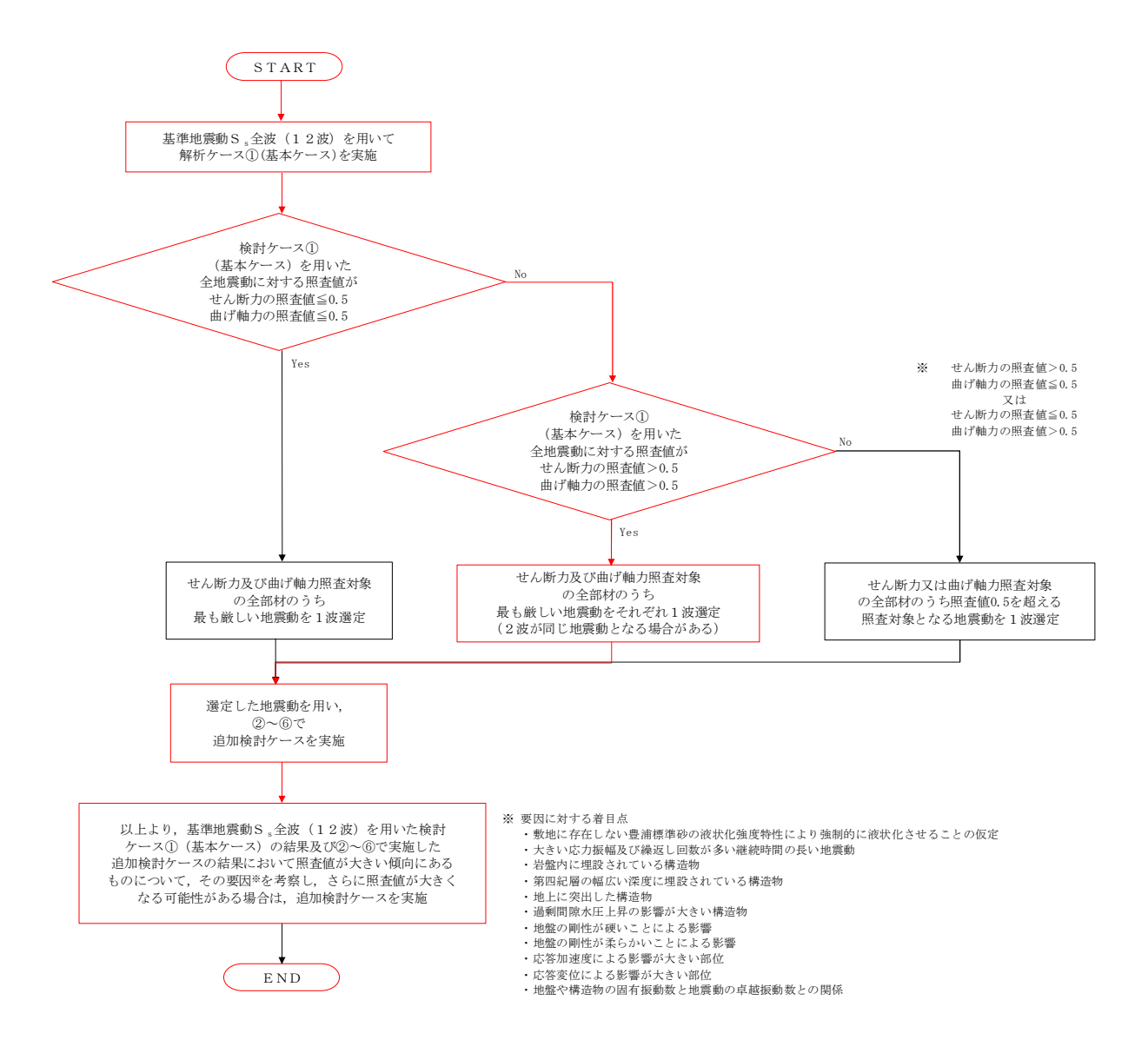


図 2.9-3 地震動選定フロー (東西方向断面)

(曲げ軸力照査(コンクリート曲げ圧縮), 東西方向断面)

(底版) (頂版)

検討	ナケース		曲げ軸ナ	7照査(コン	クリート曲に	げ圧縮)	
地震動		1	2	3	4	5	6
	++	0.36					
S.−D1	+-	0.35					
	-+	0.35					
		0.35					
S s - 1 1		0. 22					
S _s -12		0.30					
S _s - 1 3		0. 29					
S _s - 14		0.27					
S s - 2 1		0.23					
S _s - 2 2		0.30					
S _s - 3 1	++	0.44	0.44	0.43	0.42	0.48	0.47
3,-31	-+	0.44					

検診	ナケース		曲げ軸力照査 (コンクリート曲げ圧縮)						
地震動	地震動		2	3	4	5	6		
	++	0. 27							
c D1	+-	0.26							
S _s - D 1	-+	0.27							
		0.26							
$S_{s} - 11$	$S_s - 11$								
$S_{s} - 12$		0.23							
$S_{s} - 13$		0.23							
$S_{s} - 14$		0.21							
$S_{s} - 21$	S _s - 2 1								
$S_{s} - 22$	$S_s - 22$								
S _s - 3 1	++	0.33	0.34	0.33	0.32	0.38	0.37		
3 _s -31	-+	0.33							

(側壁)

検診	ナケース		曲げ軸力照査(コンクリート曲げ圧縮)							
地震動	地震動		2	3	4	5	6			
	++	0. 25								
C D1	+-	0.26								
S _s - D 1	-+	0.25								
		0.25								
S s - 1 1		0.20								
$S_{s} - 12$		0.23								
$S_{s} - 13$		0.23								
S _s - 14		0. 22								
S s - 2 1		0.18								
S _s - 2 2		0.21								
S _s - 3 1	++	0.32	0.32	0.32	0.30	0.36	0.36			
S _s -31	-+	0.32								

※ 検討ケース

- ①: 原地盤に基づく液状化強度特性を用いた解析ケース(基本ケース) ②: 地盤物性のばらつきを考慮 (+1 σ) した解析ケース
- ③: 地盤物性のばらつきを考慮 (-1 o) した解析ケース
- ④: 地盤を強制的に液状化させることを仮定した解析ケース
- ⑤: 原地盤において非液状化の条件を仮定した解析ケース
- ⑥: 地盤物性のばらつきを考慮(+ 1σ)して非液状化の条件を仮定した解析ケース

(曲げ軸力照査(鉄筋曲げ引張), 東西方向断面)

(底版)

	ナース		曲に	げ軸力照査(鉄筋曲げ引	長)	
地震動		1	2	3	4	(5)	6
	++	0.52					
S _s - D 1	+-	0.53					
	-+	0.52					
		0.53					
S _s - 1 1		0. 28					
S _s - 1 2		0.40					
S _s - 13		0.39					
S _s - 14		0.36					
S s - 2 1		0. 28					
S _s - 2 2		0.39					
6 21	++	0.67	0.68	0.67	0.65	0.75	0.75
S _s - 3 1	-+	0.67					

検討	ナケース		曲に	曲げ軸力照査(鉄筋曲げ引張)								
地震動		1	2	3	4	5	6					
	++	0.45										
	+-	0.45										
$S_s - D1$	-+	0.45										
		0.45										
S _s - 1 1		0.23										
$S_{s} - 12$		0.35										
$S_{s} - 13$		0.35										
S _s -14		0.32										
S _s - 2 1		0.24										
S s - 2 2		0.35										
S _s - 3 1	++	0.61	0.62	0.61	0.57	0.71	0.71					
5,-31	-+	0.61										

(頂版)

(側壁)

~											
検討	付ケース		曲げ軸力照査(鉄筋曲げ引張)								
地震動		1	2	3	4	5	6				
	++	0.51									
S _s -D1	+-	0.52									
	-+	0.51									
		0.52									
S s - 1 1		0.29									
S _s -12		0.40									
S _s -13		0.39									
S s - 1 4		0.36									
S s - 2 1		0.28									
$S_s - 22$		0.38									
6 21	++	0.67	0.67	0.66	0.62	0.76	0.75				
S s - 3 1	-+	0.67									

※ 検討ケース

- ①: 原地盤に基づく液状化強度特性を用いた解析ケース(基本ケース)
- ②: 地盤物性のばらつきを考慮(+ 1 σ)した解析ケース
- ③: 地盤物性のばらつきを考慮 (-1 σ) した解析ケース
- ④: 地盤を強制的に液状化させることを仮定した解析ケース
- ⑤: 原地盤において非液状化の条件を仮定した解析ケース
- ⑥: 地盤物性のばらつきを考慮(+ 1 σ)して非液状化の条件を仮定した解析ケース

曲げ軸力照査(鉄筋曲げ引張)結果は、検討ケース①(基本ケース)の最大照査値は、底版及び 側壁, $S_s - 31$ (++) 及び $S_s - 31$ (-+) で 0.67 である。

(せん断力照査, 東西方向断面)

(底版)

(頂版)

検診	寸ケース		せん断力照査							
地震動		1	2	3	4	5	6			
	++	0.46								
S _s - D 1	+-	0.47								
S _s -D1	-+	0.50								
		0.50								
S _s - 1 1		0.34								
S _s -12		0.37								
S _s -13		0.36								
S _s - 14		0.36								
$S_s - 21$		0.36								
$S_s - 22$		0.38								
6 - 21	++	0.62	0.62	0.62	0.61	0.67	0.66			
S s - 3 1	-+	0.44								

検討ケース		せん断力照査								
地震動		1	2	3	4	5	6			
	++	0.43								
S _s - D 1	+-	0.44								
	-+	0.44								
		0.44								
$S_s - 11$		0. 29								
$S_{s} - 12$		0.34								
$S_{s} - 13$		0.34								
$S_{s} - 14$		0.32								
S _s - 2 1		0.33								
$S_s - 22$		0.34								
S _s - 3 1	++	0.51	0.51	0.51	0.49	0.56	0.55			
S = 31	-+	0.40								

(側壁)

検診	ナケース		せん断力照査								
地震動	地震動		2	3	4	5	6				
	++	0.53									
S , - D 1	+-	0.53									
3 s - D 1	-+	0.52									
		0.53									
S _s - 1 1	S _s - 1 1										
S _s - 12		0.51									
$S_{s} - 13$		0.51									
S _s - 14		0.48									
S s - 2 1	S _s - 2 1										
S s - 2 2		0.48									
6 21	++	0.49	0.49	0.49	0.47	0.54	0.53				
S _s - 3 1	-+	0.62									

※ 検討ケース

- ①: 原地盤に基づく液状化強度特性を用いた解析ケース(基本ケース)
- ②: 地盤物性のばらつきを考慮($+1\sigma$)した解析ケース
- ③: 地盤物性のばらつきを考慮(-1σ)した解析ケース
- ④: 地盤を強制的に液状化させることを仮定した解析ケース
- ⑤: 原地盤において非液状化の条件を仮定した解析ケース
- ⑥: 地盤物性のばらつきを考慮(+ 1σ)して非液状化の条件を仮定した解析ケース

せん断力照査結果は、検討ケース①(基本ケース)の最大照査値は、底版、 S_s-31 (++)及び側壁、 S_s-31 (-+)で 0.62 である。

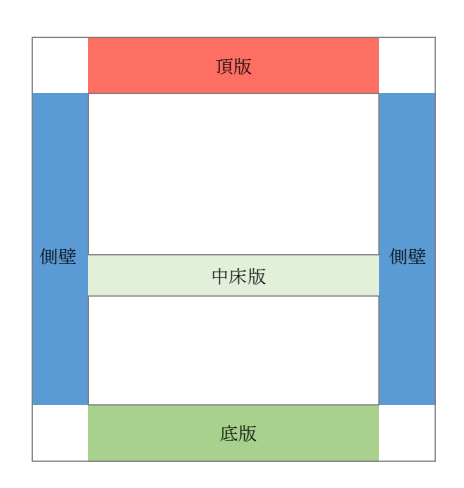
以上より、検討ケース①(基本ケース)において、曲げ軸力照査に対する最大照査値が 0.67、せん断力照査に対する最大照査値が 0.62 であり、かつ、曲げ軸力対象の全部材及びせん断力照査対象の全部材のうち、それぞれ最も厳しい照査値となった地震動は $\underline{S_s-31}$ (++) 及び $\underline{S_s-31}$ である。

A-A断面の構造物は、埋戻土の幅広い深度に埋設されている構造物であることから、敷地に存在しない豊浦標準砂の液状化強度特性により強制的に液状化させることを仮定した場合の追加検討ケース④で照査値が比較的大きくなる傾向にある。また、地盤の剛性が硬い方が部材にとって厳しくなる傾向があることから、継続時間が短く第四紀層の剛性低下の影響が少ないS_s-31で照査値が大きくなると考えられる。

よって, 底版及び側壁にて追加検討ケース①による照査値が最も厳しい $S_s - 31(-+)$ に対し, 追加検討ケース⑤~⑥についても検討を実施する。

2.10 格納容器圧力逃がし装置用配管カルバート

2.10.1 照査位置及び仕様



(A-A断面)

図 2.10-1 格納容器圧力逃がし装置用配管カルバートの照査位置図

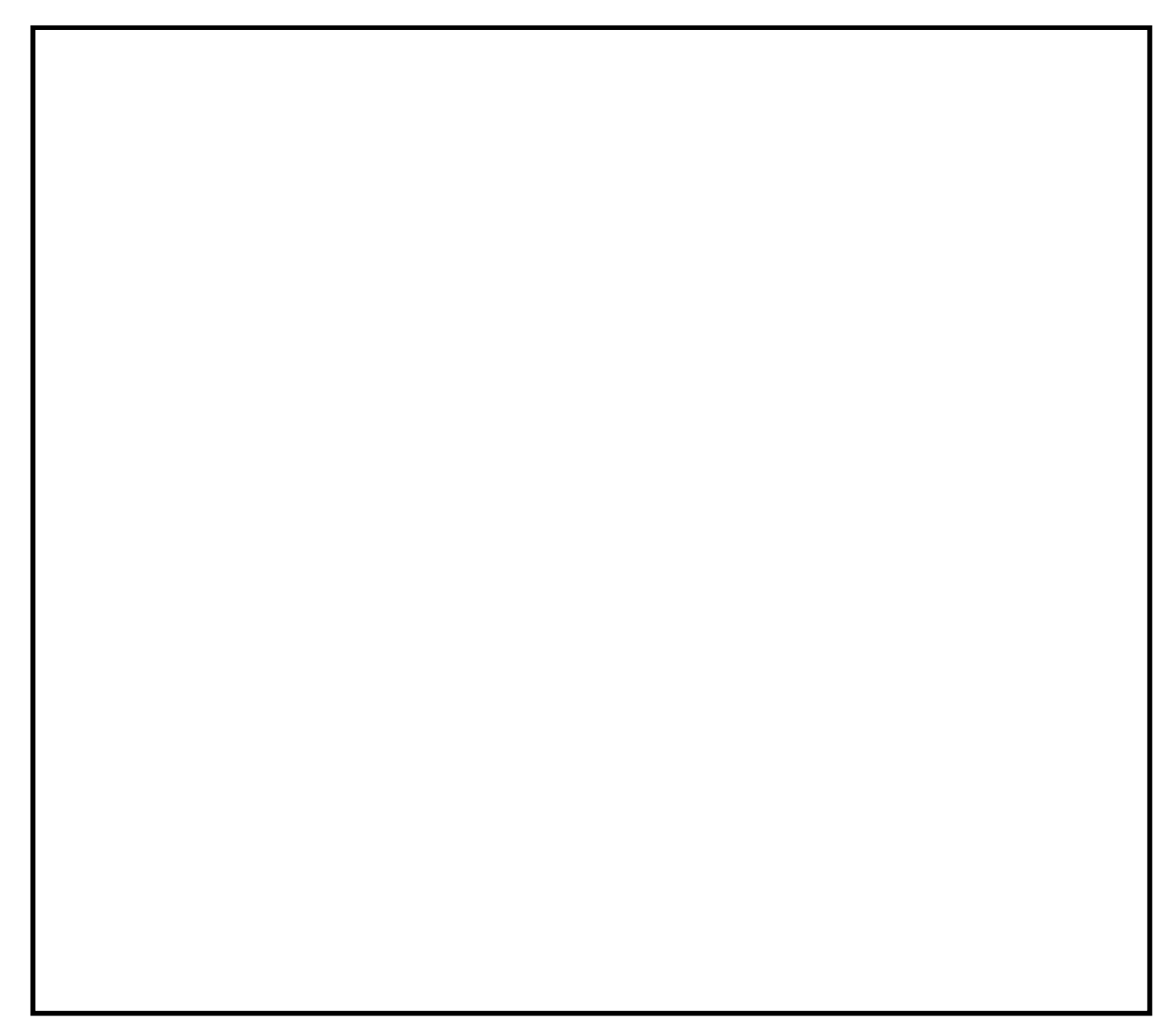


図 2.10-2 概略配筋図 (主筋)

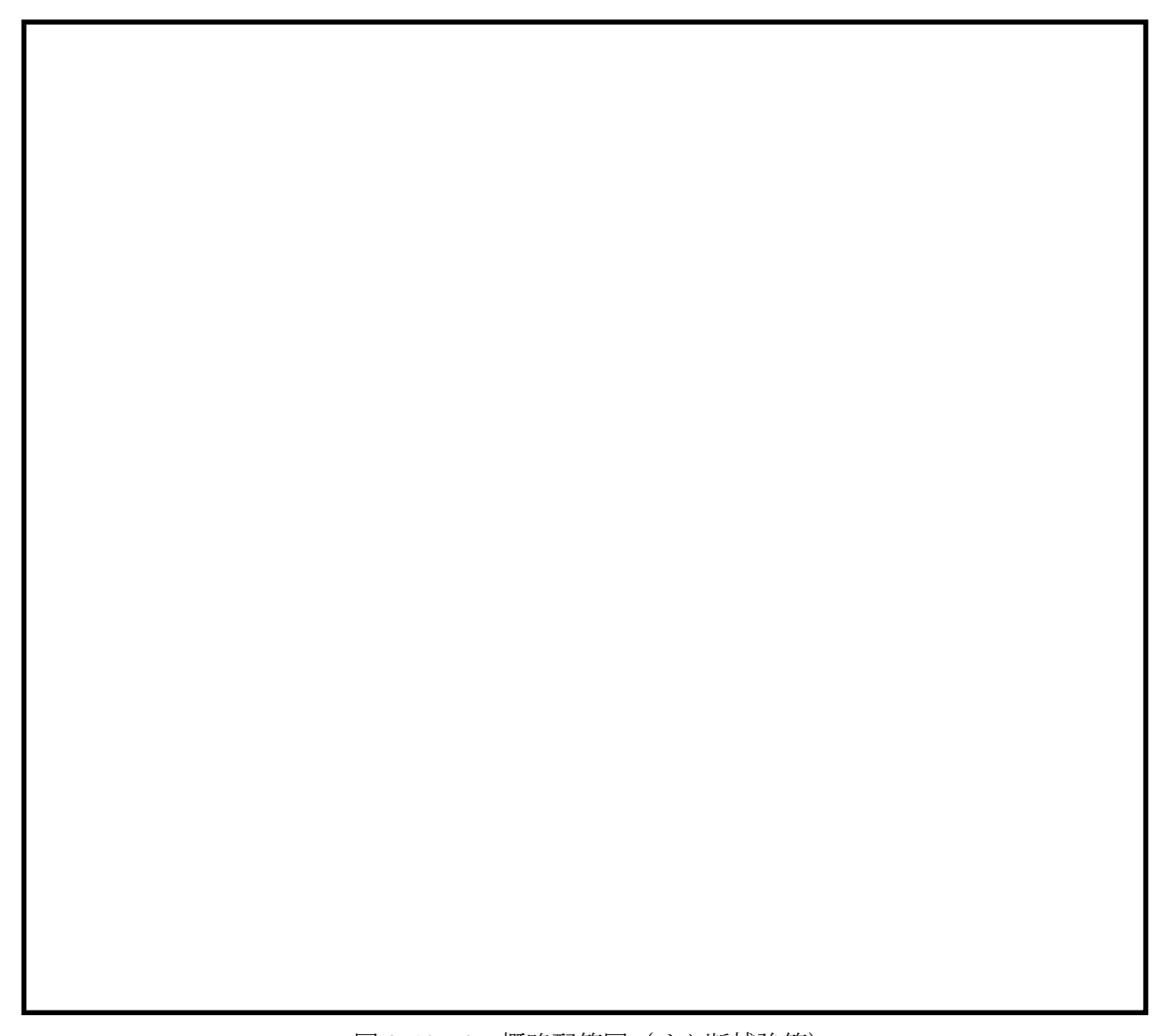


図 2.10-3 概略配筋図(せん断補強筋)

表 2.10-1 構造仕様 (A-A断面(鉄筋コンクリート))

	仕	様	材料			
部位	部材幅 (m)	部材高 (m)	コンクリート f 'ck (N/mm²)	鉄筋		
底版	1.000	1.500	40	SD490		
中床版	1.000	1. 100	40	SD490		
側壁	1.000	1.500	40	SD490		
頂版	1.000	1.500	40	SD490		

2.10.2 評価結果

(1) A-A断面

A-A断面の地震動選定フローを図 2.10-4 に示す。

検討ケース①(基本ケース)において、曲げ軸力照査値が 0.50 より大きく、せん断照査値が 0.50 より大きいことから、曲げ軸力対象の全部材及びせん断力照査対象の全部材のうち、それ ぞれ最も厳しい照査値となった地震動を選定する。

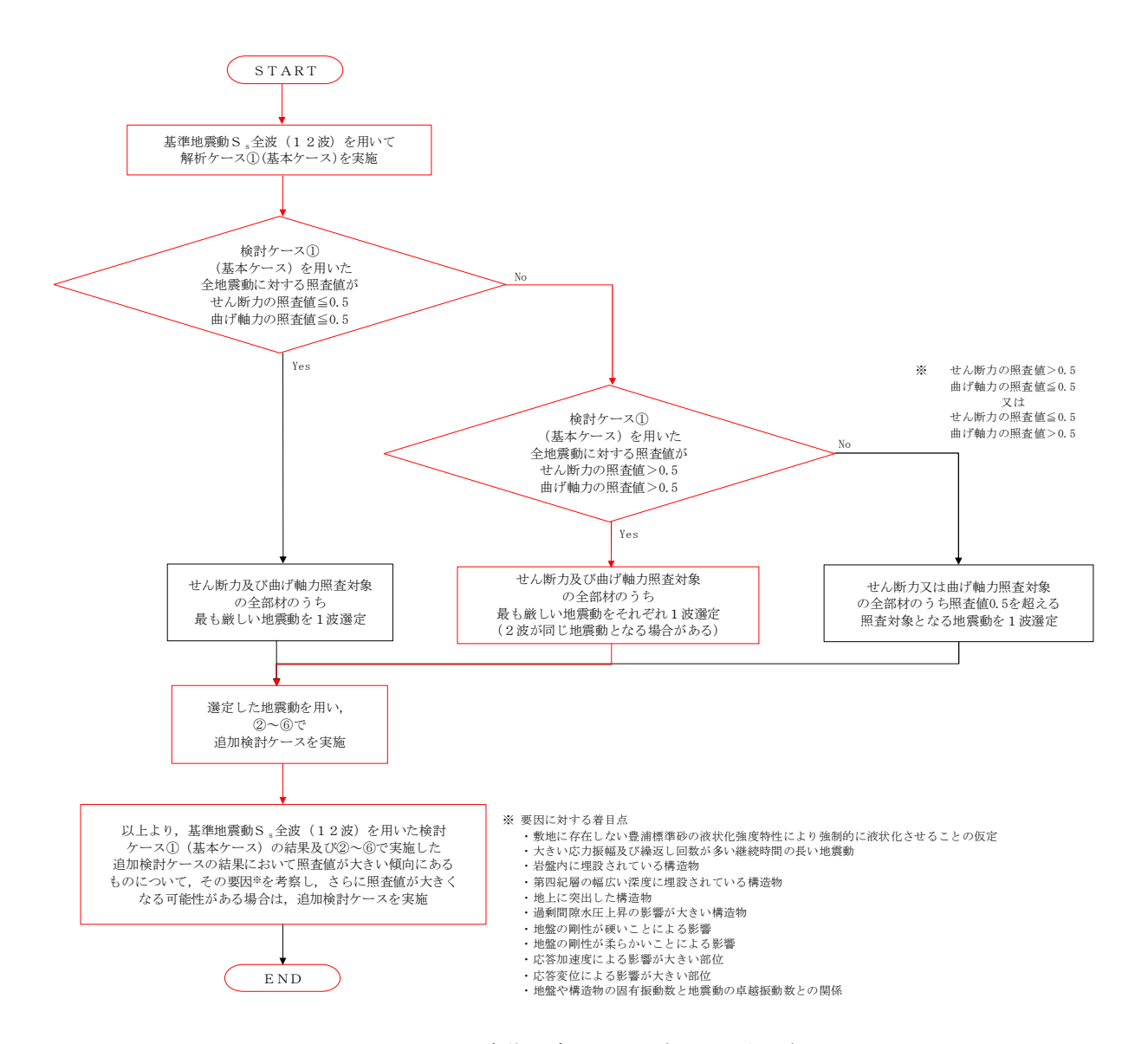


図 2.3-4 地震動選定フロー (A-A断面)

(曲げ軸力照査(コンクリート曲げ圧縮), A-A断面)

(底版) (側壁)

検討ケース地震動			曲げ軸力照査(鉄筋曲げ引張)								
		1	2	3	4	5	6				
	++	0.49									
C D1	+-	0.50									
S _s - D 1	-+	0.50									
		0.52									
S _s - 1 1	-	0.22									
$S_{s} - 12$		0.31									
$S_{s} - 13$		0.32									
$S_{s} - 14$		0.24									
$S_{s} - 21$	S s - 2 1										
S s - 2 2		0.39									
S _s - 3 1	++	0.54	0.54	0.54	0.56	0.49	0.49				
	-+	0, 50									

検討	ナケース		曲に	げ軸力照査(鉄筋曲げ引き	脹)	
地震動		1	2	3	4	5	6
	++	0.37					
6 D1	+-	0.38					
S _s - D 1	-+	0.38					
		0.39					
$S_{s} - 11$	S _s - 1 1						
$S_{s} - 12$		0. 26					
$S_{s} - 13$		0.26					
S _s - 14		0. 22					
$S_{s} - 21$		0.23					
$S_s - 22$		0. 29					
6 21	++	0.40	0.40	0.40	0.41	0.38	0.38
S _s - 3 1	-+	0.39					

(中床版)

検診	検討ケース		曲げ軸力照査(鉄筋曲げ引張)							
地震動		1	2	3	4	5	6			
	++	0.57								
e -D1	+-	0.58								
S _s - D 1	-+	0.58								
		0.59								
S _s - 1 1		0.21								
S s - 1 2		0.31								
$S_{s} - 13$		0.33								
S s - 1 4		0.25								
S s - 2 1		0. 28								
S s - 2 2		0.42								
S _s - 3 1	++	0.62	0.62	0.62	0.65	0.56	0.56			
S _s -31	-+	0.60								

検討ケース			曲に	げ軸力照査(鉄筋曲げ引き	脹)	
		1	2	3	4	5	6
	++	0.35					
S _s -D 1	+-	0.36					
3 _s - D 1	-+	0.36					
		0.37					
S _s - 1 1		0.18					
$S_{s} - 12$		0.24					
$S_{s} - 13$		0.24					
$S_{s} - 14$		0.20					
S _s - 2 1		0.20					
S s - 2 2		0.27					
C - 2.1	++	0.38	0.38	0.38	0.39	0.36	0.36
S _s - 3 1	-+	0.37					

※ 検討ケース

- ①: 原地盤に基づく液状化強度特性を用いた解析ケース(基本ケース)
- ②: 地盤物性のばらつきを考慮 (+1 σ) した解析ケース ③: 地盤物性のばらつきを考慮 (-1 σ) した解析ケース
- ④: 地盤を強制的に液状化させることを仮定した解析ケース
- ⑤: 原地盤において非液状化の条件を仮定した解析ケース
- ⑥: 地盤物性のばらつきを考慮(+1σ)して非液状化の条件を仮定した解析ケース

(曲げ軸力照査(鉄筋曲げ引張), A-A断面)

(底版) (側壁)

検討ケース地震動			曲げ軸力照査(鉄筋曲げ引張)								
		1	2	3	4	5	6				
+	++	0.72									
6 D1	+-	0.71									
S _s - D 1	-+	0.71									
		0.69									
S _s - 1 1		0.18									
S _s -12		0.28									
$S_{s} - 13$		0.29									
S _s - 14		0.21									
S s - 2 1		0.26									
S _s - 2 2		0.45									
6 21	++	0.76	0.76	0.76	0.84	0.63	0.63				
S _s - 3 1	-+	0.73									

検診	ナケース		曲に	げ軸力照査(鉄筋曲げ引き	脹)	
地震動		1	2	3	4	5	6
	++	0.53					
S _s -D 1	+-	0.54					
3 s - D 1	-+	0.55					
		0.56					
S s - 1 1	S _s - 1 1						
$S_{s} - 12$		0.31					
$S_{s} - 13$		0.32					
S _s - 14		0.24					
S s - 2 1							
S s - 2 2		0.40					
6 21	++	0.59	0.59	0.59	0.60	0.54	0.54
S _s - 3 1	-+	0.55					

(中床版)

(頂版)

検討ケース地震動			曲げ軸力照査(鉄筋曲げ引張)								
		1	2	3	4	5	6				
	++	0.63									
S s - D 1	+-	0.63									
S 5 - D 1	-+	0.65									
		0.65									
S s - 1 1		0.19									
S _s -12		0.30									
S _s - 13		0.31									
S _s - 14		0.23									
S _s - 2 1		0. 28									
S s - 2 2		0.44									
S _s - 3 1	++	0.70	0.70	0.70	0.73	0.64	0.64				
5,-31	-+	0.66									

- 検書	ナケース		曲は	が軸力照査 (鉄筋曲げ引き	長)	
地震動		①	2	3	4	5	6
	++	0.46					
S , -D1	+-	0.46					
S _s - D 1	-+	0.47					
		0.48					
S _s - 1 1		0.19					
$S_{s} - 12$		0.26					
$S_{s} - 13$		0.27					
$S_s - 14$		0. 21					
S _s - 2 1		0.23					
S _s - 2 2		0.34					
$S_{s} - 31$	++	0.49	0.49	0.50	0.51	0.46	0.46
	-+	0.47					

※ 検討ケース

- ①: 原地盤に基づく液状化強度特性を用いた解析ケース(基本ケース) ④: 地盤を強制的に液状化させることを仮定した解析ケース
- ②: 地盤物性のばらつきを考慮 $(+1\sigma)$ した解析ケース ③: 地盤物性のばらつきを考慮 (-1σ) した解析ケース

- ⑤: 原地盤において非液状化の条件を仮定した解析ケース⑥: 地盤物性のばらつきを考慮(+1σ)して非液状化の条件を仮定した解析ケース

曲げ軸力照査(鉄筋曲げ引張)結果は、検討ケース①(基本ケース)の最大照査値は、底版、S $_{s} - 31 (++) \circ 0.76 \circ 5_{o}$

(せん断力照査, A-A断面)

(底版)

(側壁)

検討	ナケース			せん断	力照査		
地震動		1	2	3	4	5	6
	++	0.36					
S D 1	+-	0.36					
S _s -D1	-+	0.37					
		0.39					
S s - 1 1		0.30					
S s - 1 2		0.33					
$S_{s} - 13$		0.32					
S s - 1 4		0.32					
S s - 2 1	S s - 2 1						
S _s - 2 2		0.36					
S _s - 3 1	++	0.38	0.38	0.38	0.43	0.39	0.39
	-+	0.38					

検討ケース		せん断力照査								
地震動		1	2	3	4	5	6			
	++	0.56								
e -D1	+-	0.58								
S _s -D 1	-+	0.59								
		0.61								
S _s - 1 1		0.32								
$S_{s} - 12$		0.43								
$S_{s} - 13$		0.43								
$S_{s} - 14$		0.35								
$S_{s} - 21$		0.38								
S _s - 2 2		0.47								
S _s - 3 1	++	0.64	0.64	0.63	0.66	0.58	0.58			
3 _s -31	-+	0.60								

(中床版)

(頂版)

検診	ナケース			せん断	力照査		
地震動	地震動		2	3	4	5	6
	++	0.37					
e -D1	+-	0.37					
S _s - D 1	-+	0.37					
		0.38					
$S_{s} - 11$	S _s - 1 1						
$S_{s} - 12$		0.23					
$S_{s} - 1.3$		0.23					
S s - 1 4		0.18					
$S_{s} - 21$	S _s - 2 1						
S s - 2 2	S s - 2 2						
6 21	++	0.40	0.40	0.40	0.42	0.37	0.37
S _s - 3 1	-+	0.38					

検討ケース		せん断力照査								
地震動		1	2	3	4	5	6			
	++	0.37								
S _s -D 1	+-	0.38								
S _s -D1	-+	0.38								
		0.39								
S _s - 1 1		0.25								
$S_{s} - 12$		0.32								
$S_{s} - 13$		0.32								
$S_{s} - 14$		0.27								
S _s - 2 1		0.26								
S s - 2 2		0.32								
S _s - 3 1	++	0.40	0.40	0.40	0.40	0.38	0.38			
	-+	0.38								

※ 検討ケース

- ①: 原地盤に基づく液状化強度特性を用いた解析ケース(基本ケース)
- ②: 地盤物性のばらつきを考慮(+ 1σ)した解析ケース
- ③: 地盤物性のばらつきを考慮 (-1 σ) した解析ケース
- ④: 地盤を強制的に液状化させることを仮定した解析ケース
- ⑤: 原地盤において非液状化の条件を仮定した解析ケース
- ⑥: 地盤物性のばらつきを考慮(+1σ)して非液状化の条件を仮定した解析ケース

せん断力照査結果は、検討ケース①(基本ケース)の最大照査値は、側壁、 S_s-31 (++) で 0.64 である。

以上より、検討ケース① (基本ケース) において、曲げ軸力照査に対する最大照査値が 0.76、せん断力照査に対する最大照査値が 0.64 であり、かつ、曲げ軸力対象の全部材及びせん断力照査対象の全部材のうち、それぞれ最も厳しい照査値となった地震動は S_8-31 (++) である。

A-A断面の構造物は、埋戻土の幅広い深度に埋設されている構造物であることから、敷地に存在しない豊浦標準砂の液状化強度特性により強制的に液状化させることを仮定した場合の追加検討ケース④で照査値が比較的大きくなる傾向にある。また、地盤の剛性が硬い方が部材にとって厳しくなる傾向があることから、継続時間が短く第四紀層の剛性低下の影響が少ないS_s-31で照査値が大きくなると考えられる。

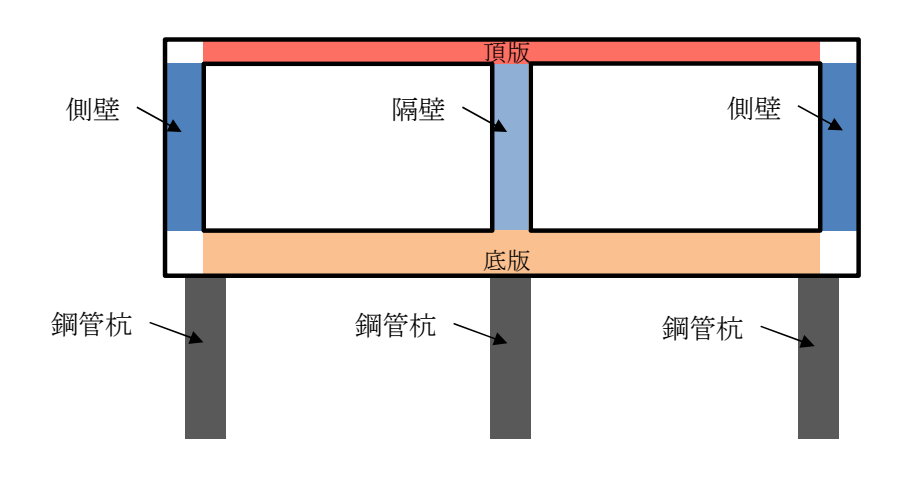
よって、さらなる追加検討ケースは必要ない。

- 2.11 緊急用海水ポンプピット(追而)
- 2.12 緊急用海水取水管(追而)
- 2.13 SA用海水ピット(追而)

- 2.14 海水引込み管(追而)
- 2.15 SA用海水ピット取水塔(追而)
- 2.16 緊急時対策所用発電機燃料油貯蔵タンク基礎(追而)

2.17 可搬型設備用軽油タンク基礎

2.17.1 照査位置及び仕様



(①-①断面)

図 2.17-1 可搬型設備軽油タンク基礎の照査位置図



図 2.17-2 概略配筋図(主筋)

図 2.17-3 概略配筋図(せん断補強筋)

表 2.17-1 構造仕様 (①-①断面(鉄筋コンクリート))

	仕	様	材料		
部位	部材幅 (m)	部材高 (m)	コンクリート f 'ck (N/mm²)	鉄筋	
底版	1.000	1.000	40	SD490	
側壁	1.000	1.000	40	SD490	
隔壁	1.000	0.800	40	SD490	
頂版	1.000	0.700	40	SD490	

表 2.17-2 構造仕様 (①-①断面(鋼管杭))

部位	仕	様	材料
	杭径 (m)	板厚 (m)	1711 171
鋼管杭	1.000	0.040	SKK490

2.17.2 評価結果

- (1) ①-①断面(鉄筋コンクリート)
 - ①-①断面(鉄筋コンクリート)の地震動選定フローを図2.17-4に示す。

検討ケース①(基本ケース)において、曲げ軸力照査値が 0.50 より大きく、せん断照査値が 0.50 より大きいことから、曲げ軸力対象の全部材及びせん断力照査対象の全部材のうち、それ ぞれ最も厳しい照査値となった地震動を選定する。

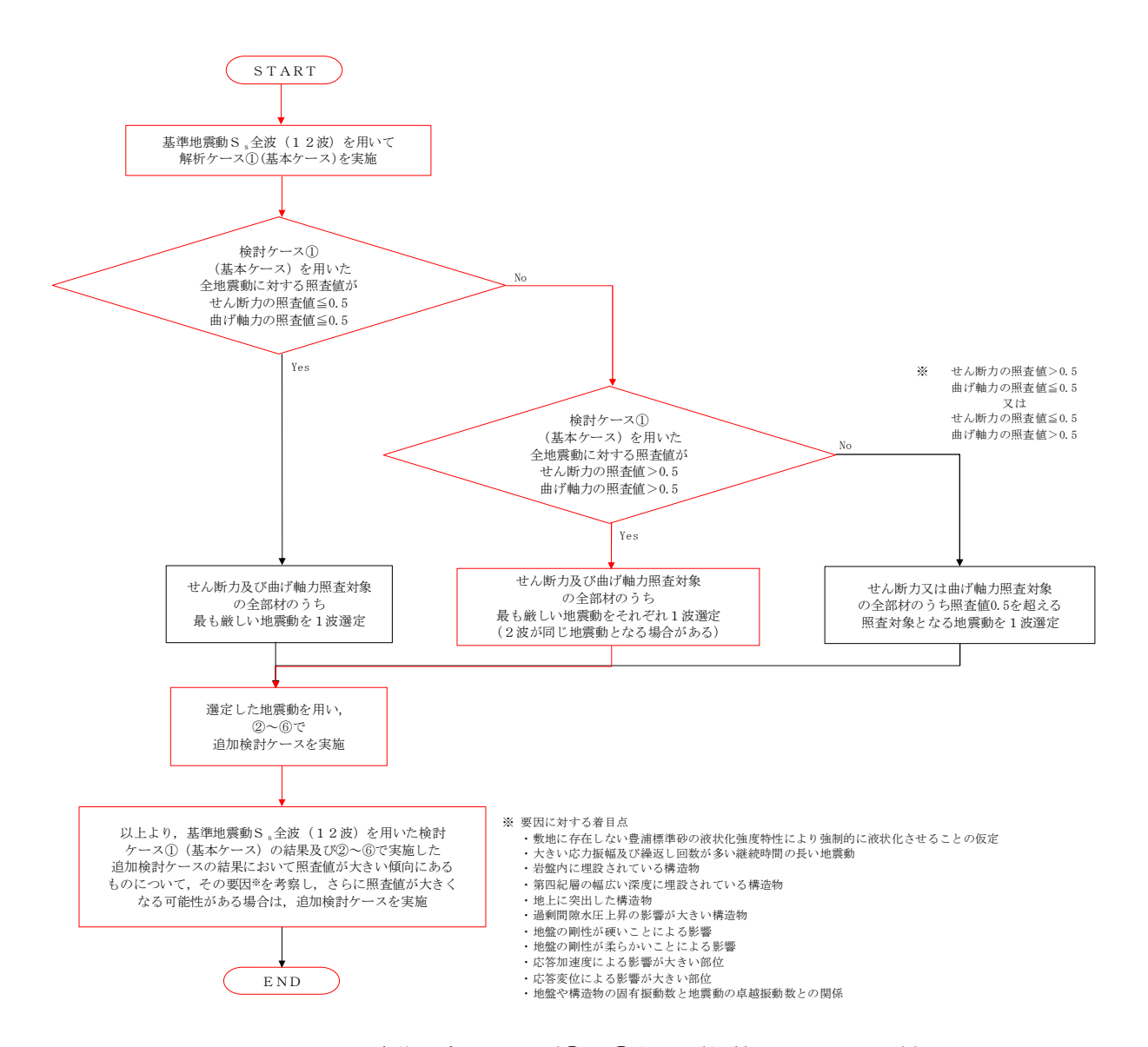


図 2.17-4 地震動選定フロー (①-①断面 (鉄筋コンクリート))

(曲げ軸力照査(コンクリート曲げ圧縮), ①—①断面)

(底版) (側壁)

檢書	検討ケース		曲げ軸力照査 (コンクリート曲げ圧縮)								
地震動		1	2	3	4	5	6				
	++	0.39									
c Di	+-	0.39	0.38	0.40	0.40	0.30	0. 29				
S _s - D 1	-+	0.34									
		0.35									
S _s - 1 1		0.20									
$S_{s} - 12$		0.20									
$S_{s} - 13$		0.20									
S _s - 14		0.15									
S s - 2 1		0.20									
S _s - 2 2		0.26									
6 - 21	++	0.30									
3,-31	S s - 3 1										

検診	検討ケース		曲げ軸力照査(コンクリート曲げ圧縮)							
地震動		1	2	3	4	5	6			
	++	0.33								
e -D1	+-	0.33	0.32	0.33	0.30	0.28	0.27			
S _s -D 1	-+	0.29								
		0.30								
S _s - 1 1		0.20								
$S_{s} - 12$		0. 22								
$S_{s} - 13$		0.23								
$S_{s} - 14$		0.18								
$S_{s} - 21$	S _s - 2 1									
$S_{s} - 22$	$S_s - 22$									
S 3 1	++	0.27								
S _s - 3 1	-+	0.31								

(隔壁)

/-		11-/
- (18	
\ _		/ I/X

検診	検討ケース		曲げ軸力照査(コンクリート曲げ圧縮)							
地震動		1	2	3	4	5	6			
	++	0.45								
e -D1	+-	0.45	0.44	0.46	0.47	0.38	0.37			
S _s - D 1	-+	0.42								
		0.42								
S s - 1 1	S _s - 1 1									
S _s - 12		0.27								
$S_{s} - 13$		0.28								
S s - 1 4		0.21								
S s - 2 1	S _s - 2 1									
S s - 2 2		0.31								
6 - 21	++	0.39								
3,-31	S s - 3 1 -+									

検診	ナケース		曲げ軸力照査(コンクリート曲げ圧縮)								
地震動		1	2	3	4	5	6				
	++	0.36									
S _s -D 1	+-	0.36	0.35	0.36	0.42	0.31	0.30				
3 s - D I	-+	0.35									
		0.35									
S _s - 1 1		0. 22									
$S_{s} - 12$		0.24									
$S_{s} - 13$		0. 25									
$S_{s} - 14$		0.21									
S _s - 2 1		0.23									
S s - 2 2		0.28									
0 01	++	0.31									
S s - 3 1		0.33									

※ 検討ケース

- ①: 原地盤に基づく液状化強度特性を用いた解析ケース(基本ケース) ④: 地盤を強制的に液状化させることを仮定した解析ケース
- ②: 地盤物性のばらつきを考慮 (+1 σ) した解析ケース ③: 地盤物性のばらつきを考慮 (-1 σ) した解析ケース
- ⑤: 原地盤において非液状化の条件を仮定した解析ケース
- ⑤: 原地盤において非液状化の染件を仮足した解析リンーへ⑥: 地盤物性のばらつきを考慮(+1σ)して非液状化の条件を仮定した解析ケース

(曲げ軸力照査(鉄筋曲げ引張), ①--①断面)

(底版) (側壁)

検診	検討ケース		曲げ軸力照査(鉄筋曲げ引張)								
地震動		1	2	3	4	5	6				
	++	0.55									
C D1	+-	0.54	0.54	0.52	0.63	0.38	0.38				
S _s - D 1	-+	0.62									
		0.62									
S _s - 1 1		0.37									
S _s -12		0.32									
$S_{s} - 13$		0.30									
S _s - 14		0. 29									
S s - 2 1		0.34									
S s - 2 2		0.39									
6 21	++	0.54									
S _s - 3 1	-+	0 44									

検診	ナケース		曲に	げ軸力照査(鉄筋曲げ引き	脹)	
地震動	地震動		2	3	4	5	6
	++	0.49					
S _s -D 1	+-	0.49	0.47	0.49	0.49	0.37	0.36
3 s - D 1	-+	0.43					
		0.43					
S s - 1 1	S _s - 1 1						
$S_{s} - 12$		0.24					
$S_{s} - 13$		0. 25					
S _s - 14		0.23					
$S_{s} - 21$	$S_s - 21$						
S s - 2 2	$S_s - 22$						
6 21	++	0.45					
S s - 3 1	S s - 3 1						

(隔壁)

					-
]	検討	ナケース		曲に	げ軸力照る
1	地震動		1	2	3
		++	0.35		
1			0.25	0.25	0.26

検診	ナケース		曲に	げ軸力照査(鉄筋曲げ引き	曲げ軸力照査(鉄筋曲げ引張)							
地震動		1	2	3	4	5	6						
	++	0.66											
c Di	+-	0.67	0.65	0.67	0.68	0.55	0.54						
S _s - D 1	-+	0.61											
		0.61											
S s - 1 1		0.35											
$S_{s} - 12$		0.37											
$S_{s} - 13$		0.38											
S s - 1 4		0. 28											
S s - 2 1		0.36											
S s - 2 2		0.45											
S _s - 3 1	++	0.57											
3 _s -31	-+	0.61											

	ナケース		曲に	げ軸力照査(鉄筋曲げ引き	脹)	
地震動		1	2	3	4	5	6
	++	0.35					
S _s -D 1	+-	0.35	0.35	0.36	0.45	0. 29	0.29
	-+	0.38					
		0.38					
$S_{s} - 11$		0.25					
$S_{s} - 12$		0.23					
$S_{s} - 13$		0.23					
$S_{s} - 14$		0.20					
$S_{s} - 21$		0.24					
$S_s - 22$		0.26					
S _s - 3 1	++	0.35					
3 _s -31	-+	0.32					

(頂版)

※ 検討ケース

- ①: 原地盤に基づく液状化強度特性を用いた解析ケース(基本ケース) ④: 地盤を強制的に液状化させることを仮定した解析ケース
- ②: 地盤物性のばらつきを考慮 $(+1\sigma)$ した解析ケース ③: 地盤物性のばらつきを考慮 (-1σ) した解析ケース

- ⑤: 原地盤において非液状化の条件を仮定した解析ケース
- ⑥: 地盤物性のばらつきを考慮(+ 1σ)して非液状化の条件を仮定した解析ケース

曲げ軸力照査(鉄筋曲げ引張)結果は、検討ケース①(基本ケース)の最大照査値は、隔壁、S

(せん断力照査, ①--①断面)

(底版)

(側壁)

検討	ナケース			せん断	力照査		
地震動		1	2	3	4	5	6
	++	0.38					
C D1	S s - D 1 ++		0.39	0.39	0.43	0.30	0.30
3,-01							
S s - 1 1		0.20					
$S_{s} - 12$		0.19					
$S_{s} - 13$		0.19					
S _s - 14		0.16					
S _s - 21		0.21					
S s - 2 2		0.25					
C 2.1	++	0.34					
S _s - 3 1	-+	0. 29					

_							
	ナケース			せん断	力照査		
地震動		1	2	3	4	5	6
	++	0.59					
e -D1	S _s -D1 +-		0.58	0.60	0.59	0.51	0.50
S _s -D1							
$S_{s} - 11$		0.35					
$S_{s} - 12$		0.39					
$S_{s} - 13$		0.40					
$S_{s} - 14$		0.33					
$S_{s} - 21$		0.37					
S _s - 2 2		0.41					
S _s - 3 1	++	0.46					
S _s -31	-+	0.53					

(隔壁)

(頂版)

検診	ナース			せん断	i力照査		
地震動		1	2	3	4	5	6
	++	0.42					
S , -D1	+-	0.43	0.42	0.43	0.44	0.39	0.39
3,-01	-+	0.40					
		0.40					
S _s - 1 1		0.25					
S _s -12		0.26					
$S_{s} - 13$		0.27					
S _s - 14		0.22					
S s - 2 1		0.25					
S s - 2 2		0.30					
6 - 21	++	0.40					
S _s - 3 1	-+	0.42					

検診	ナケース			せん断	力照査		
地震動		1	2	3	4	5	6
	++	0. 22					
S _s -D 1	- +-		0. 22	0. 22	0. 25	0.19	0.19
S _s - D 1	-+	0.21					
		0. 22					
$S_{s} - 11$		0.17					
$S_{s} - 12$		0.17					
$S_{s} - 13$		0.18					
$S_{s} - 14$		0.16					
$S_{s} - 21$		0.16					
S _s - 2 2		0.18					
S _s - 3 1	++	0.19					
S _s -31	-+	0.20					

※ 検討ケース

- ①: 原地盤に基づく液状化強度特性を用いた解析ケース(基本ケース)
- ②: 地盤物性のばらつきを考慮 (+1 σ) した解析ケース
- ③: 地盤物性のばらつきを考慮 (-1 σ) した解析ケース
- ④: 地盤を強制的に液状化させることを仮定した解析ケース
- ⑤: 原地盤において非液状化の条件を仮定した解析ケース
- ⑥: 地盤物性のばらつきを考慮(+1σ)して非液状化の条件を仮定した解析ケース

せん断力照査結果は、検討ケース①(基本ケース)の最大照査値は、側壁、 S_s-D1 (++)及び S_s-D1 (+-)で 0.59 である。

以上より、検討ケース①(基本ケース)において、曲げ軸力照査に対する最大照査値が 0.67、せん断力照査に対する最大照査値が 0.59 であり、かつ、曲げ軸力対象の全部材及びせん断力照査対象の全部材のうち、それぞれ最も厳しい照査値となった地震動は S_s-D1 (++) 及び S_s-D1 _(+-) である。

①一①断面の上部構造は、第四紀層の幅広い深度に埋設されている構造物であることから、敷地に存在しない豊浦標準砂の液状化強度特性により強制的に液状化させることを仮定した場合の追加検討ケース④で照査値が大きくなる結果となる傾向にある。また、大きい応答振幅で繰返し回数が多く、継続時間の長いS。一D1で照査値が大きくなる傾向がある。

よって、さらなる追加検討ケースは必要ない。

(2) ①一①断面(鋼管杭)

①-①断面(鋼管杭)の地震動選定フローを図 2.17-5 に示す。

検討ケース① (基本ケース) において、曲げ軸力、せん断力照査に対する全ての照査値が 0.50 以下であることから、曲げ軸力及びせん断力照査対象の全部材のうち最も厳しい照査値となっ た地震動を選定する。

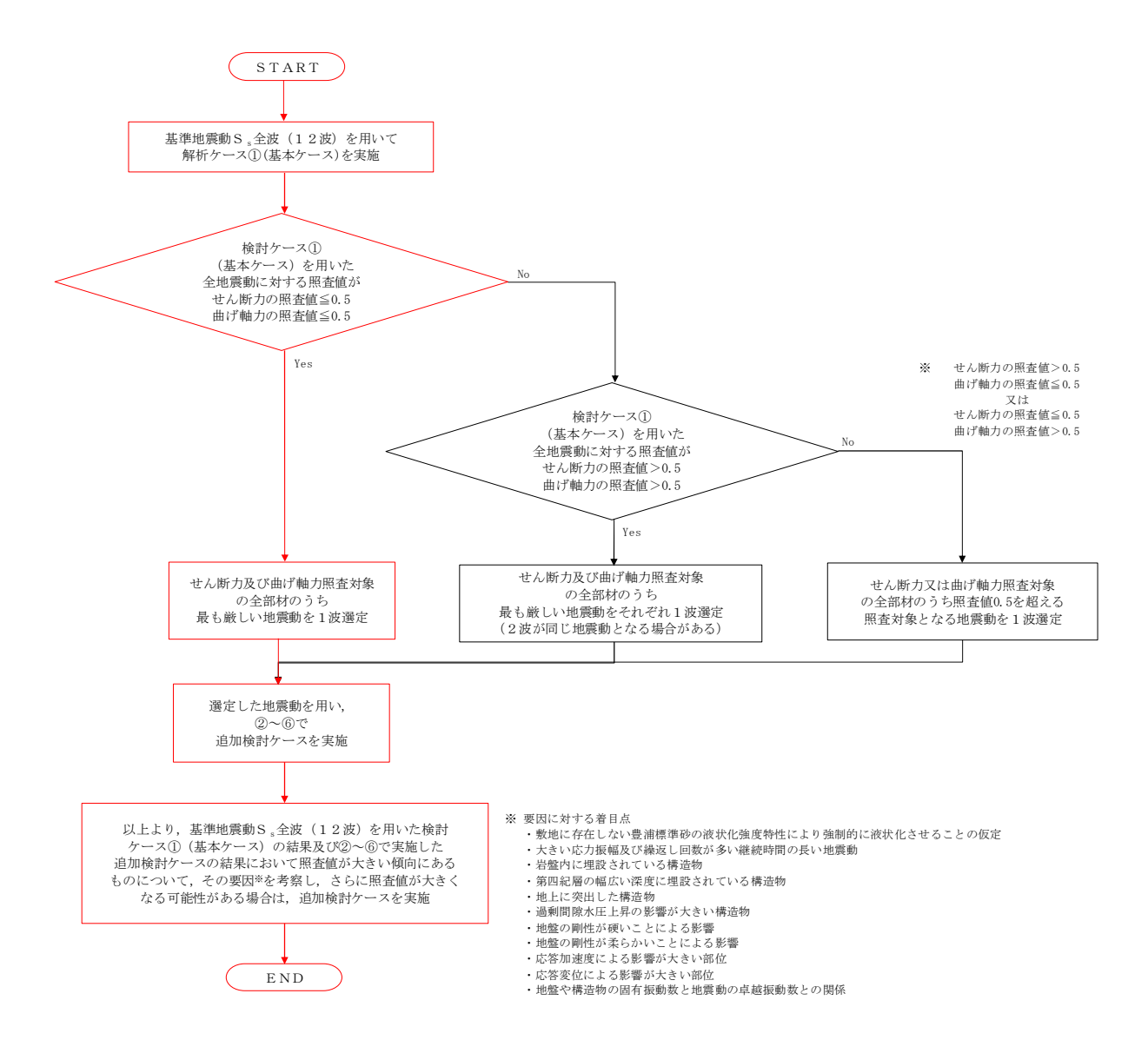


図 2.17-5 地震動選定フロー (①-①断面(鋼管杭))

(曲げ軸力照査, ①-①断面)

(鋼管杭(左))

(鋼管杭(中)

	ナケース			曲げ軸	力照査		
地震動		1	2	3	4	5	6
	++	0.46					
e -D1	+-		0.46	0.48	0.56	0.36	0.33
S _s - D 1	-+	0.42					
		0.43					
S _s - 1 1		0. 22					
S _s -12		0.27					
$S_{s} - 13$		0.23					
$S_{s} - 14$		0.17					
S _s - 2 1		0.18					
S s - 2 2		0.31					
S , - 3 1	++						
3,-31	-+	0.39					

検診	ナケース	曲げ軸力照査								
地震動		1	2	3	4	5	6			
++		0.41								
e -D1	+-	0.42	0.41	0.43	0.53	0.34	0.31			
S _s -D 1	-+	0.37								
		0.37								
S _s - 1 1		0.15								
S _s -12		0.18								
$S_{s} - 13$		0.15								
S _s - 1 4		0.11								
S _s - 2 1		0.15								
S _s - 2 2		0.23								
6 21	++	0.31								
S _s - 3 1	-+	0.33								

(鋼管杭(右))

検討	ナケース			曲げ軸	力照査		
地震動		1	2	3	4	5	6
	++	0.41					
S D 1			0.42	0.43	0.74	0.33	0.30
S _s -DI	-+	0.42					
		0.46					
S s - 1 1		0.18					
S _s - 12		0. 28					
$S_{s} - 13$		0.27					
S s - 1 4		0.21					
$S_{s} - 21$		0. 22					
S s - 2 2		0.23					
S _s - 3 1	++	0.37					
S _s -31	-+	0.38					

※ 検討ケース

- ①: 原地盤に基づく液状化強度特性を用いた解析ケース(基本ケース) ④: 地盤を強制的に液状化させることを仮定した解析ケース
- ②: 地盤物性のばらつきを考慮 (+1 σ) した解析ケース
- ③: 地盤物性のばらつきを考慮(-1σ)した解析ケース
- ⑤: 原地盤において非液状化の条件を仮定した解析ケース
- ⑤: 原地盤において非液状化の余件を仮定した肝切ソーへ⑥: 地盤物性のばらつきを考慮(+1σ)して非液状化の条件を仮定した解析ケース

曲げ軸力照査(鉄筋曲げ引張)結果は、検討ケース①(基本ケース)の全ての照査値が0.50以下 である(最大照査値は,鋼管杭(左), S_s-D1 (+-)で0.47)。

(せん断力照査, ①--①断面)

(鋼管杭(左))

(鋼管杭(中))

検討	ナケース			せん断	力照査		
地震動		1	2	3	4	5	6
	++	0.11					
6 D1	S _s -D1 +-		0.10	0.12	0. 25	0.09	0.08
S _s -D1							
S _s - 1 1		0.04					
S _s -12		0.05					
S _s -13		0.05					
S _s -14		0.04					
S _s - 2 1		0.04					
S s - 2 2		0.06					
6 21	++	0.09					
S s - 3 1	-+	0.09					

検討	ナケース	せん断力照査								
地震動		1	2	3	4	5	6			
	++									
e -D1	+-	0.12	0.12	0.13	0.22	0.10	0.09			
S _s -D 1	-+	0.11								
$S_{s} - 11$		0.05								
$S_{s} - 12$		0.05								
$S_{s} - 13$		0.05								
$S_{s} - 14$		0.03								
$S_{s} - 21$		0.05								
S _s - 2 2		0.07								
S _s - 3 1	++	0.10								
S _s -31	-+	0.09								

(鋼管杭(右))

検討ケース		せん断力照査							
地震動		1	2	3	4	5	6		
	++	0.12							
s -D1	+-	0.11	0.11	0.12	0. 25	0.10	0.09		
S _s - D 1	-+	0.10							
		0.10							
S s - 1 1		0.05							
$S_{s} - 12$	S _s -12								
$S_{s} - 13$		0.06							
S _s - 14		0.05							
S s - 2 1		0.05							
S _s - 2 2		0.06							
S _s - 3 1	++	0.09							
	-+	0.09							

※ 検討ケース

- ①: 原地盤に基づく液状化強度特性を用いた解析ケース(基本ケース)
- ②: 地盤物性のばらつきを考慮 (+1 σ) した解析ケース
- ③: 地盤物性のばらつきを考慮 (-1 σ) した解析ケース
- ④: 地盤を強制的に液状化させることを仮定した解析ケース
- ⑤: 原地盤において非液状化の条件を仮定した解析ケース
- ⑥: 地盤物性のばらつきを考慮($+1\sigma$)して非液状化の条件を仮定した解析ケース

せん断力照査結果は、検討ケース①(基本ケース)の全ての照査値が 0.50 以下である(最大照査値は、鋼管杭(中)、 S_s-D1 (++)及び S_s-D1 (+-)及び鋼管杭(右)、 S_s-D1 (++)で 0.12)。

以上より、検討ケース①(基本ケース)において、曲げ軸力、せん断力照査に対する全ての照査値が 0.50 以下であり、かつ、曲げ軸力及びせん断力照査対象の全部材のうち最も厳しい照査値となった地震動は S_s-D1 (+-) である。

①一①断面の鋼管杭は第四紀層の幅広い深度に埋設されていることから,敷地に存在しない豊浦標準砂の液状化強度特性により強制的に液状化させることを仮定した場合の追加検討ケース④における上部構造の変形に伴い,応答変位による曲げの影響を大きく受ける結果となる。また,大きい応力振幅で繰返し回数が多く,継続時間の長い S_s-D1 に加え,応答加速度が大きい S_s-22 で照査値が大きくなる傾向にある。

よって, さらなる追加検討ケースは必要ない。

2.18 土留鋼管矢板

2.18.1 照査位置及び仕様

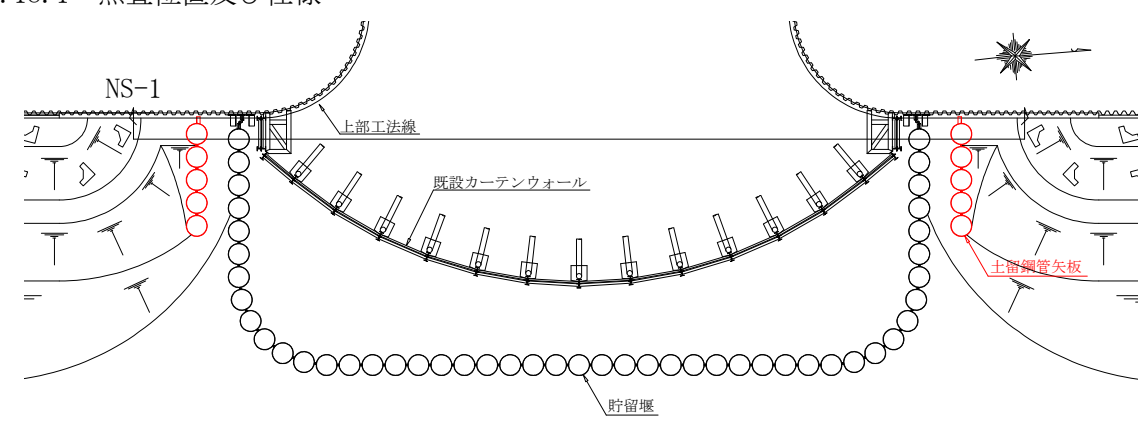


図 2.18-1 土留鋼管矢板の照査位置図

表 2.1-1 構造仕様

	土留鋼管兒	尺板(北側)	土留鋼管矢板(南側)		
断面	径	板厚	径	板厚	
	(mm)	(mm)	(mm)	(mm)	
N.C. 1	2000	25	2000	40	
NS-1	2000	(SKY490)	2000	(SM570)	

2.18.2 評価結果

(1) NS-1(南側)断面

NS-1 (南側) 断面の地震動選定フローを図 2.1-2 に示す。

検討ケース① (基本ケース) において, 曲げ軸力照査値が 0.50 より大きく, せん断力照査値が 0.50 以下であることから, 曲げ軸力照査対象の全部材のうち最も厳しい照査値となった地震動を選定する。

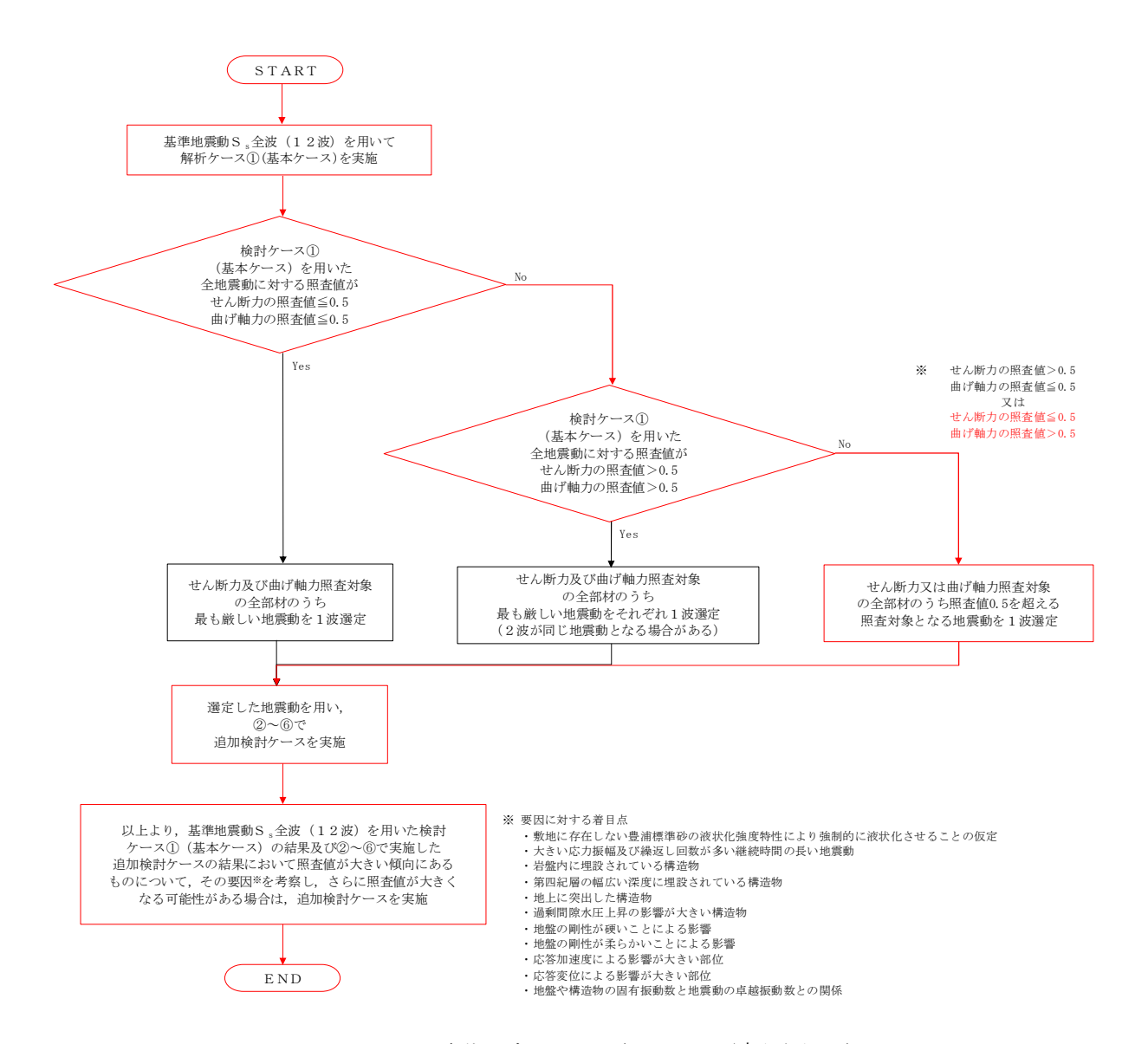


図 2.18-2 地震動選定フロー (NS-1 (南側) 断面)

(曲げ軸力照査, NS-1(南側)断面, 土留鋼管矢板)

検討ケース		曲げ軸力照査							
地震動		1	2	3	4	5	6		
S _s - D 1	++	0.50							
	+-	0.50							
	-+	0.55	0.55	0.55	0.68	0.62	0.60		
		0.55							
S _s - 1 1		0.45							
S s - 1 2		0.47							
$S_{s} - 13$		0.43							
$S_{s} - 14$		0.36							
S s - 2 1		0.48							
S _s - 2 2		0.43							
S _s - 3 1	++	0.47							
	-+	0.45							

※ 検討ケース

- ①: 原地盤に基づく液状化強度特性を用いた解析ケース(基本ケース)
- ②: 地盤物性のばらつきを考慮(+1 σ)した解析ケース
- ③: 地盤物性のばらつきを考慮(-1σ)した解析ケース
- ④: 地盤を強制的に液状化させることを仮定した解析ケース
- ⑤: 原地盤において非液状化の条件を仮定した解析ケース
- ⑥: 地盤物性のばらつきを考慮($+1\sigma$)して非液状化の条件を仮定した解析ケース

曲げ軸力照査結果は、検討ケース①(基本ケース)の最大照査値は、土留鋼管矢板、S_s-D1 (-+) 及び $S_s - D1$ (--) で 0.55 である。

(せん断力照査, NS-1(南側)断面, 土留鋼管矢板)

検討ケース		せん断力照査							
		1	2	3	4	5	6		
S _s - D 1	++	0.15							
	+-	0.16							
	-+	0.16	0.15	0.17	0.20	0.15	0.15		
		0.17							
S _s - 1 1		0.13							
S s - 1 2		0.14							
$S_{s} - 13$		0.12							
$S_{s} - 14$		0.10							
S s - 2 1		0.14							
S s - 2 2		0.12							
S _s - 3 1	++	0.14							
	-+	0.14							

※ 検討ケース

- ①: 原地盤に基づく液状化強度特性を用いた解析ケース(基本ケース) ④: 地盤を強制的に液状化させることを仮定した解析ケース
- ②: 地盤物性のばらつきを考慮($+1\sigma$)した解析ケース
- ③: 地盤物性のばらつきを考慮(-1σ)した解析ケース
- ⑤: 原地盤において非液状化の条件を仮定した解析ケース
- ⑥: 地盤物性のばらつきを考慮($+1\sigma$)して非液状化の条件を仮定した解析ケース

せん断力照査結果は、検討ケース①(基本ケース)の全ての照査値が 0.50以下である(最大照査 値は、土留鋼管矢板、S_s-D1 (--) で 0.17)。

以上より、検討ケース①(基本ケース)において、曲げ軸力照査に対する最大照査値が0.55、せ ん断力照査に対する全ての照査値が 0.50 以下であり、かつ、曲げ軸力照査対象の全部材のうち最も 厳しい照査値となった地震動は $\underline{S}_s - \underline{D1}(-+)$ 及び $\underline{S}_s - \underline{D1}(-+)$ である。

土留鋼管矢板は,第四紀層の幅広い深度に埋設されている構造物であることに加え,海底面から突出した部分において,背後の捨石マウンド及び第四紀層による土圧を受ける構造物である。土留鋼管矢板(南側)においては,特に第四紀層については,敷地に存在しない豊浦標準砂の液状化強度特性により強制的に液状化させることを仮定した場合の追加検討ケース④で厳しい結果となる傾向にある。また,大きい応力振幅で繰返し回数が多く,継続時間の長い S_s-D1 で照査値が大きくなる傾向にある。

よって、基本検討ケース①による照査値が同率で最も厳しい S_s-D1 (--) に対し、追加検討ケース④についても検討を実施する必要があると考えられる。

(1) NS-1(北側)断面

NS-1 (北側) 断面の地震動選定フローを図 2.1-3 に示す。

検討ケース①(基本ケース)において、曲げ軸力照査値が 0.50 より大きく、せん断力照査値が 0.50 以下であることから、曲げ軸力照査対象の全部材のうち最も厳しい照査値となった地震動を 選定する。

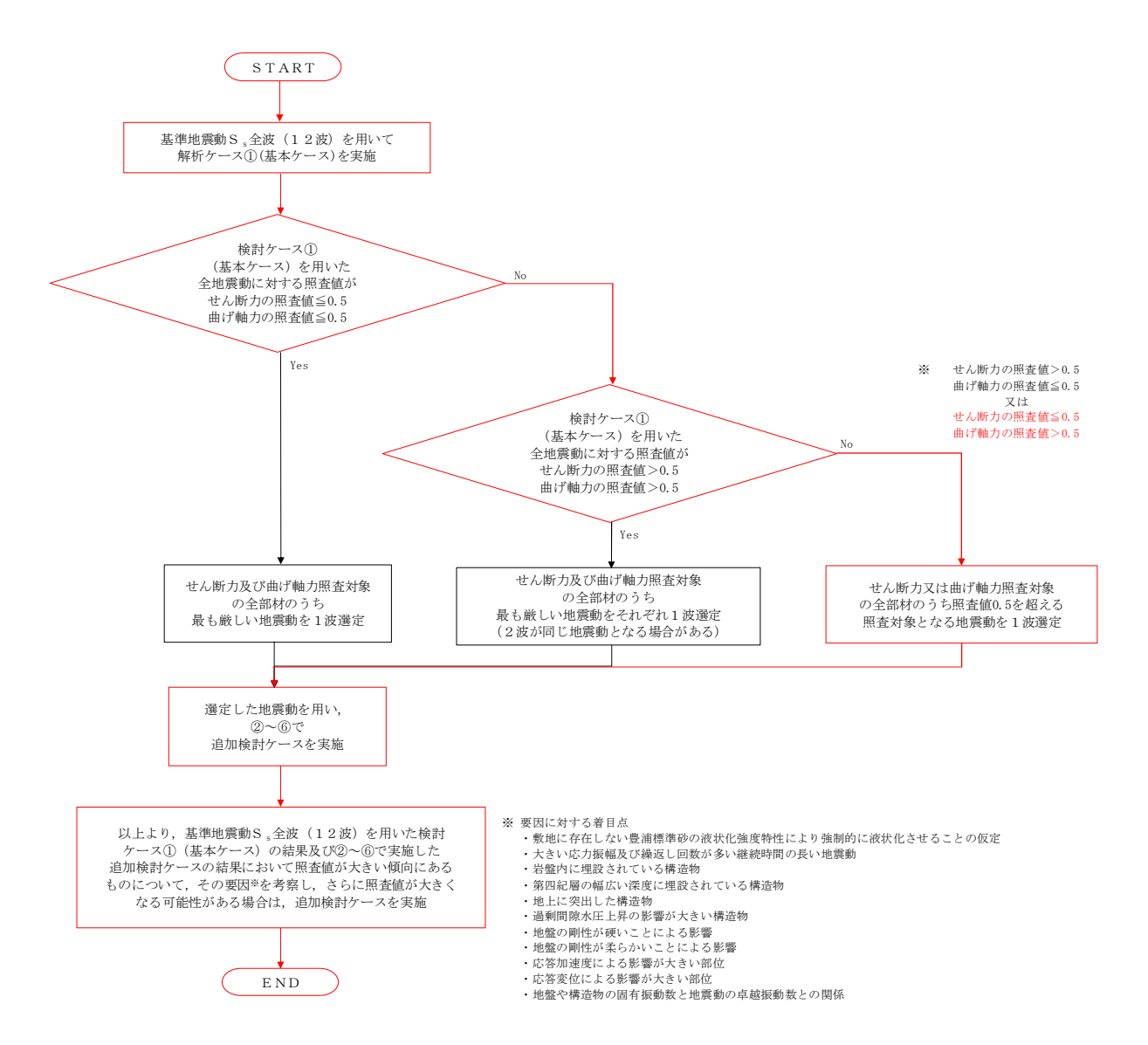


図 2.18-3 地震動選定フロー (NS-1(北側)断面)

(曲げ軸力照査, NS-1(北側)断面, 土留鋼管矢板)

検討ケース		曲げ軸力照査							
地震動		1	2	3	4	5	6		
	++	0.60							
e _D1	+-	0.61							
S _s - D 1	-+	0.65	0.61	0.69	0.57	0.50	0.48		
		0.64							
S _s - 1 1		0.57							
S s - 1 2	S _s -12								
$S_{s} - 13$		0.51							
S _s - 1 4		0.45							
S _s - 2 1		0.62							
$S_{s} - 22$		0.65							
S _s - 3 1	++	0.44							
	-+	0.40							

※ 検討ケース

- ①: 原地盤に基づく液状化強度特性を用いた解析ケース(基本ケース)
- ②: 地盤物性のばらつきを考慮($+1\sigma$)した解析ケース
- ③: 地盤物性のばらつきを考慮(-1σ)した解析ケース
- ④: 地盤を強制的に液状化させることを仮定した解析ケース
- ⑤: 原地盤において非液状化の条件を仮定した解析ケース
- ⑥: 地盤物性のばらつきを考慮($+1\sigma$)して非液状化の条件を仮定した解析ケース

曲げ軸力照査結果は、検討ケース①(基本ケース)の最大照査値は、土留鋼管矢板、 S_s-D_1 (-+) 及び S_s-2_2 で 0.65 である。

(せん断力照査、NS-1(北側)断面、土留鋼管矢板)

検討ケース		せん断力照査							
		1	2	3	4	5	6		
S _s - D 1	++	0.30							
	+-	0.30							
	-+	0.31	0.32	0. 29	0.32	0.18	0.16		
		0.32							
S _s - 1 1		0.12							
S _s -12		0.28							
$S_{s} - 13$		0.23							
$S_{s} - 14$		0.11							
$S_s - 21$		0.15							
S _s - 2 2		0.18							
S _s - 3 1	++	0.14							
	-+	0.17							

※ 検討ケース

- ①:原地盤に基づく液状化強度特性を用いた解析ケース(基本ケース)
- ②: 地盤物性のばらつきを考慮(+ 1σ)した解析ケース
- ③: 地盤物性のばらつきを考慮 (-1σ) した解析ケース
- ④: 地盤を強制的に液状化させることを仮定した解析ケース
- ⑤: 原地盤において非液状化の条件を仮定した解析ケース
- ⑥: 地盤物性のばらつきを考慮(+1σ)して非液状化の条件を仮定した解析ケース

せん断力照査結果は、検討ケース① (基本ケース) の全ての照査値が 0.50 以下である(最大照査値は、土留鋼管矢板、 S_s-D1 (--) で 0.32)。

以上より、検討ケース① (基本ケース) において、曲げ軸力照査に対する最大照査値が 0.65、せん断力照査に対する全ての照査値が 0.50 以下であり、かつ、曲げ軸力照査対象の全部材のうち最も厳しい照査値となった地震動は S_s-D1 (-+) 及び S_s-22 である。

土留鋼管矢板は,第四紀層の幅広い深度に埋設されている構造物であることに加え,海底面から 突出した部分において,背後の捨石マウンド及び第四紀層による土圧を受ける構造物である。土留 鋼管矢板(北側)においては,特に背後の捨石マウンド及び第四紀層による土圧の増大の影響を大 きく受けるため,地盤の剛性が柔らかい追加ケース③で厳しい結果となる傾向にある。また,地盤 の剛性が柔らかく,ひずみや変形が生じる傾向にある S_s-D 1 に加え,応答加速度が大きい S_s-2 2 で照査値が大きくなる傾向にある。

よって、基本検討ケース①による照査値が最も厳しい S_s-22 に対し、追加検討ケース③についても検討を実施する。